ESTUDIO TEORICO EXPERIMENTAL DE INESTABILIDAD DE VIGAS ASOCIADAS

AGUSTIN ALBERTO CAPRARI

TESE SUBMETIDA AO CORPO DOCENTE DA COORDENAÇÃO DOS PROGRAMAS
DE PÓS-GRADUAÇÃO DEZENGENHARIA DA UNIVERSIDADE FEDERAL DO -RIO DE JANEIRO COMO PARTE DOS REQUISITOS NECESSÁRIOS PARA AOBTENÇÃO DO GRAU DE MESTRE EN CIÊNCIA (M. Sc.)

Aprovada por:

Jun Bankeger

Presidente

Temand l'lamen

RIO DE JANEIRO

ESTADO DA GUANABARA + BRASIL
MAIO DE 1974

a mi esposa

a mis hijos

A.G.R.A.D.E.C.I.MILE NIT O.S

A la Facultad de Ciencies Exactas, Fisicas y Naturales de la Universidad Nacional de Córdoba que por intermedio de los profesores Alfredo Schegg, Alberto J. Scardiglia y Carlos Prato, hicie ron posible mi permanencia en COPPE en 1973.

A COPPE y en especial al profesor Fernando Luiz Lobo-B. Carneiro, en haber becho posible la continuación de mis estudios con el apoyo brindado y la confianza dispensada.

A los profesores Fernando Luiz Lobo 8. Carneiro, Sydney M. G. dos Santos, Luiz Bevilaqua por las enseñanzas impartidas v amistad brindada.

Al profesor Luiz Bevilaqua, por la orientación dada al presente trabajo.

Al colega y amigo, profesor Raúl A. Feijoó por el constante apoyo moral brindado durante el desarrollo de mis estudios de postgraduación.

Al personal del Núcleo de Computación Electrónica, la-Oficina Mecánica y Laboratorio de Ensayos dependientes del COPPE.

A mi esposa, por la comprensión que mantuvo durante el desarrollo de mis estudios he hizo posible que los mismos llegaran-al fin en una etapa de la vida.-

RESUMEN

Se estudia en el presente trabajo el problema de la estabilidad elástica de vigas empotradas en un extremo y vinculadas
entre sí en el otro, cuando se encuentran sometidas a una carga
vertical concentrada en el extremo de una de ellas.-

Es presentado un resúmen del tratamiento general de problemas de la estabilidad elástica, utilizando los conceptos del análisis postcrítico según la línea de Thompson.

Se desarrolla la teoría y aplicación del método dinámico, que con el auxilio de los métodos directos de Rayleigh-Ritz y de Elementos Finitos, hace posible su aplicación a problemas más com plicados, tales como los de estructuras sometidas a cargamentos no conservativos, esquemas más complejos o una combinación de ambos.

Se llevaron a cabo experiencias que verifican las teorías expuestas, resaltando la influencia de las imperfecciones y del comportamiento postcrítico.

RESUMO

Estuda-se no presente trabalho (o problema de estabilidade elástica de hastes engastadas numa extremidade, e vinculadas entre elas no outro, quando se encontrama submetidas a un carregamento vertical concentrado no extremo de uma delas.-

apresentado um resumo do tratamento geral de probl<u>e</u>
mas da estabilidade elástica, utilizando os conceitos da análiseposcrítico seguindo a linha de Thompson.

Desenvolve-se a teoría e aplicação do método dinâmico que com o auxilio dos métodos diretos de Rayleigh Ritz e de Ele-mentos Finitos, torna possivel sua aplicação a problemas mais complexos, tais como os de estructuras submetidas a carregamentos -- não conservativos, esquemas máis complexos o uma combinação de ambos.

Fizeram-se experiencias que comprovam as teorias ex-postas, salientando a influencia das imperfeições e o comportamento poscrítico.-

A B S T R A C T

In the present Thesis it is studied the problem of the elastic stability of cantilever beams, associated at the free
end for the case of a concentrated force acting at the free end of
one of thems.-

It is presented a summary of the general treatment of elastic stability problems according to the concepts of the post-critical analysis following Thompson's theory.-

It is developed the theory of the dynamic method. This theory is applied using the Rayleigh Ritz and Finite Element methods, that can be used for more complex problems, such as structures subject to non-conservative loads, more complex schemes or a combination of them.-

The theoretical results were compared with experimental data. It was clear in the experiments the relevance of initial imperfections and the post-critical behavior.-

INDICE

apítulo		Página
T. -	INTRODUCCION	
•	1.1 -Generalidades	1
	1.2 -El problema en estudio	3
II	METODO DINAMICO	
	2.1 -Institución del funcional	6
	Energía Cinética	9
	Energía de Deformación	10
	Trabajo de las Cargas	11
:	2.2 -Minimización del funcional.Institución	
	de las ecuaciones diferenciales y con-	
	diciones de contorno	15
	2.3 -Criterio dinámico de Estabilidad	22
III	COMPORTAMIENTO POSTCRITICO	
	3.1 -Generalidades	3 0
	Sistemas perfectos	3 2
	Sistemas imperfectos	37 /
1	3.2 -Estabilidad de equilibrio.	
	Sistemas perfectos	40
;	3.3 -Aplicación al caso en estudio	4:6
IV (DETERMINACION DE LA CARGA CRITICA TEORICA	
4	4.1 -Generalidades	52
•	4.2 -Planteo común	5 7
•	4.3 -Método de Ritz	6 0

4.4 -Método de Elementos Finitos	62
V ESTUDIO EXPERIMENTAL	
5.1 -Reseña	65
5.2 -Métodos utilizados	66
Camino Complementario	66
Gráfico de Southwell	67
5.3 -Ensayos	7.0
Casos ensayados	71
Descripción de los aparatos	7.3
Descripción del ensayo	7.4
VI ANALISIS DE RESULTADOS	
6.1 -Comparación de resultados	79
6.2 -Conclusiones	83
Apéndice	
1 PROPIEDADES DEL PROBLEMA DE AUTOVALORES	93
2 CONDENSACION DEL PROBLEMA DE AUTOVALORES	98
3 PROGRAMA PARA EL CALCULO DE LA CARGA CRITICA	101
Diagrama de flujo	102
Diagrama de blocos	103
Manual de entrada al programa	104
Listado	107
4 EXTENSION A PROBLEMAS MAS GENERALES	126
BIBLIOGRAFIA	130.

<u>NOMENCLATURA</u>

```
ejes coordenados sistema indeformado
x,y,z
50 9. I
                                               deformado
0..
                 origen de coordenadas
                 carga aplicada
p
                 desplazamientos según ejes
u,v,w
                 rotación de torsión
                 derivada respecto de z
k_1, k_2, k_3, k_4
                 rigidez de resortes 34 54
K_{1}, K_{2}, K_{3}, K_{4}
                                         adimensional
                 coordenadas de posición de resortes
z_1, z_2, z_3, z_4
Z1, Z2, Z3, Z4
                                                             adimensional
                                             para cargas dimen. y adimen.
z <sub>p</sub>, Z. p
                 energía cinética.
T
7
                 trabajo de las fuerzas exteriores
Ж
                 energia potencial total
                 energía de deformación
W
WC.
                 trabajo de las fuerzas conservativas
III nc
                                            no conservativas
                 Lagrangiano
                 variación
t
                 tiempo
۹, ۳
                 densidad, masa del material
                 area de la sección transversal
Д.
I_{\alpha}, I_{x}, I_{y}
                 momentos de inercia
                 coordenadas del centro de cizellamiento
x<sub>a</sub>,y<sub>a</sub>
```

```
altura respecto del c. de cizall. del punto de apli-
h<sub>1</sub>
                cación de P.
I.J
                funcionales
                rigidez a flexión
n
                         torsional
C ·
C<sub>1</sub>
                         nedele eh
                derivadas respecto de z.t
u,,u,,u,,
                frecuencia de vibración
ဃ
Ū*, φ*
                soluciones conjugados de
\varepsilon_{\iota}, \varepsilon_{z}
                números arbitrarios
(主), 中(王)
                funciones que representan las variaciones admisibles
                función denérica
f(z)
                exponente característico
                carga crítica
\Lambda,\Lambda^{c}
                parámetro de carga
                coordenada generalizada e incremento en ella
Q, q
                energía para el sistema principal
D,
                coeficiente a determinar
a,,b,
φ; (z)
                funciones coordenadas
K.M.W.C
                matrices
                vectores
c,a
                número de términos en las expansiones (M. de Ritz)
n,m
λ
                autovalor
```

operadores diferenciales

A,B

CAPITULO I

INTRODUCCION

1.1 - GENERALIDADES

La teoría de la estabilidad elástica, básica para el desarrollo del presente trabajo, cuenta con un volúmen muy extenso de
literatura que se inicia con Euler viendo ampliado el campo de
aplicación y acelerado su desarrollo com la tendencia moderna de
construír estructuras con materiales de elevada resistencia, es-beltas. livianas.-

Los problemas abordados son en general no lineales (elásticos o plásticos) aunque para el cálculo de la carga crítica se admite hipótesis de linealidad y de pequeñas deformaciones.

En su primer planteo, Euler redujo el problema de estabilidad de una forma de equilibrio al de hallar el mínimo valor característico de problemas de valor de contorno, suponiendo lashipótesis de pequeñas deformaciones y materiales elásticos lineales. El método es aplicable a problemas no elásticos a través del concepto del módulo reducido, pero no es universal, no es aplicable a cualquier tipo de problemas y merecen señalarse cuatro campos fundamentales en los cuales deben tomarse reservas:

- 1.- En el de estructuras esbeltas tipo cáscaras donde pequeñas imperfecciones cambian por completo el valor de la carga crítica.-
- 2.- Ciertas estructuras tales como placas pueden compor-tarse en servicio más allá de la cargacrítica prevista.-

- 3.- En el campo de la estabilidad elastoplástica, donde estudios realizados han demostrado la importancia que tiene la carga en el proceso de pérdida de estabili-dad, como así también el factor tiempo.-
- 4.- Para estructuras sometidas a cargamentos no conservativos, definidos como aquellos que no derivan de un potencial, no es aplicable el método de Euler.-

Podemos intentar una clasificación de los métodos más conocidos para tratamiento de problemas de estabilidad elástica

- 1.- Método de Euler (1),(3) :
- 2.- Método de Energía (3)
- 3.- Método dinámico (1),(2),(3)
- 4.- Métodos de análisis no lineal elástico
 - a). Con posibilidad de analizar caminos de equilibrio en modelos perfectos (2),(8) 11
 - b). Análisis de modelos con deformaciones iniciales(2),(8),(16)

Mientras 1 y 2 permiten la determinación de la carga critica para estructuras sometidas a cargamentos conservativos, 4-a y 4-b además de ello permiten determinar los caminos de equilibrio pre y postcrítico, como así también detectar fenómenos de carga lí

^(.) indice bibliografía al final de la tesis.

se aclara en capítulo III el concepto de caminos de equili-

mite .-

3 es más general, aplicable a problemas de cargamentos no conservativos, permitiendo determinar tanto la carga crítica como también el tipo de inestabilidad que ocurrirá: dinámica(flutter)o estática. , teniendo el inconveniente de restringirse al campo de deformaciones lineales, no poniendo de manifiesto para el caso estático el tipo de fenómeno que ocurrirá (bifurcación simétrica, asimétrica, etc).

Los fundamentos de los mencionados métodos (1 a 4) pue-den consultarse en la bibliografía, desarrollándose aquí los de
los métodos dinámicos y el 4-a, en la línea de Thompson.-

1.2 - EL PROBLEMA EN ESTUDIO

Se analiza el comportamiento de vigas en voladizo, aisladas ó vinculados entre ellas, cuando se encuentran sometidas a una carga vertical concentrada. (ver referencias $^{(3)}$, $^{(18)}$).

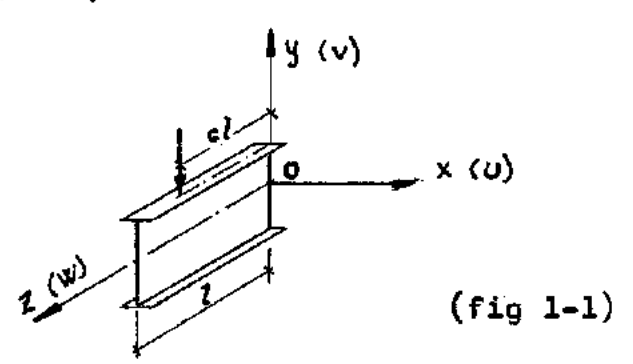
Las características fundamentales de las vigas son:

- Pequeña rigidez de la sección transversal respecto del eje y-y que con respecto al eje x-x, siendo ellos ejes principales de inercia, y estando y-y en la posición vertical.
- Se trata de vigas con sección transversal abierta y paredes finas.

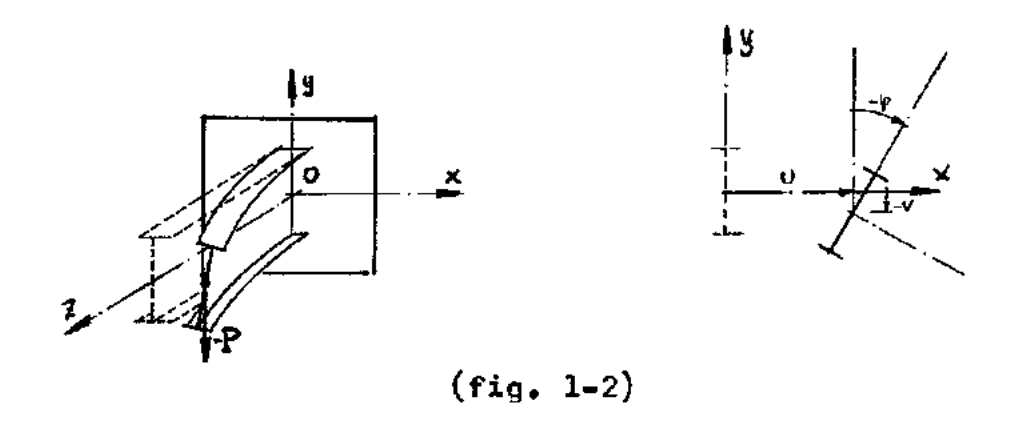
Se aclaren conceptos en capítulo III

TT O O O O O O

- La carga vertical se encuentra a la distancia c.l del extremo empotrado, y en un punto cualquiera so bre la vertical que pasa por el c. de cizallamiento (fig. 1-1)

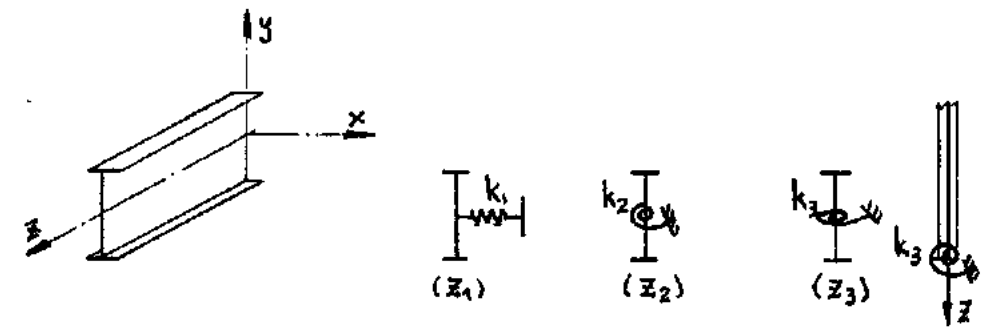


Siendo la estructura real imperfecta, al actuar la carga se producirán deformaciones (fig. 1-2), que para bajos valores de P seran lineales, pero que a valores elevados se volverán no lineales, llegando un momento en que crecerán en forma desproporcionada, poniendo a la estructura fuera de sar vicio. Para la estructura perfecta, ello ocurre para valores de P mayores que para la imperfecta.



El efecto de vinculación a otras vigas es equivalente al de considerar resortes que se oponen a los desplazamientos generalizados de traslación u y de rotación φ , y a sus derivadas primeras ($\frac{\partial U}{\partial Z}$ y $\frac{\partial \varphi}{\partial Z}$). (fig 1-3)

La posición de los resortes se determina por las coorde nadas z_i = c_i 1 i = 1,2,3,4 , y se desprende que se pueden considerar el número de tales restricciones como se desee a lo largo de la viga ; idem para otras cargas proporcionales a P.-



(k4 carece de significado en la figura)

(fig 1-3)

Para resolver el problema en forma sistemática, se comienza por plantear el funcional correspondiente a la viga aisla da, con resortes de rigidez k₁ ...k₄, procediendo luego a su minimización, llegando a la conclusión que las ecuaciones diferenciales derivadas resultan acopladas para el caso más general, razón por la cual se decide atacar el problema de minimización por métodos directos, aplicando Ritz y Elementes Finitos.

Se lleva a cabo un estudio del comportamiento postcrítico para conocer mejor el fenómeno que se está analizando, con
consideraciones de la influencia de las imperfecciones, concluyen
do que para éste caso puede utilizazse la carga crítica como elemento de dimensionado.

Finalmente, un estudio experimental confirma los resultados teóricos en lo que respecta a carga crítica, comportamiento
postcrítico e influencia de las imperfecciones.

CAPITULO II METODO DINAMICO

2.1- INSTITUCION DEL FUNCIONAL

Como ya se mencionó en la introducción, el método dinámico es el único que permite predecir la inestabilidad de siste-mas no conservativos, debido a la naturaleza misma de tales proble
mas, que se trata escencialmente de fenómenos dinámicos.-

El mencionado es equivalente a los métodos estáticos de Euler y Energía, para la determinación de la carga crítica en caso de cargamentos conservativos.-

Bolotín (1) pone de manifiesto las diferencias que surgen para el problema de Beck, al aplicar los métodos dinámicos y de Euler, y la posibilidad de formular uno más general nos conduce al planteo del método dinámico.-

Partiremos del principio variacional de Hamilton (4), (5) para establecer las ecuaciones de pequeñas oscilaciones alrededor de la posición de equilibrio de la estructura bajo carga P, planteando el funcional que posteriormente se minimizará por el procedimiento tradicional del Cálculo de Variaciones.

El mencionado puede aplicarse a sistemas holonómicos, no holonómicos y cargamentos de cualquier tipo (4), entendiéndose por sistemas holonómicos aquellos cuyas ecuac. de restricciones dependen sólo de las funciones coordenadas, o de éstas y el tiempo quedando excluídas aquellas ecuac. de restricciones en las derivadas.

El principio de Hamilton aplicado a una partícula expresa que la integral en el tiempo de la variación de la energía ci-

nética más el trabajo total de las fuerzas actuantes en el sistema es nula:

$$\int_{t_1}^{t_2} \delta (T+Z) dt = 0$$
 (2.1)

ሪድ trabajo de las fuerzas actuantes en el sistema

T = energía cinética del sistema.-

T = energia potencial total del sistema.-

$$\xi T = -\xi V + \xi W^c + \xi W^{nc}$$
 (2.2)

V = energía de deformación del sistema.-

U^c = trabajo total realizado por la parte conservativa de las fuerzas generalizadas actuantes en el sistema durante la deformación:

trabajo realizado por la parte no conservativa de las fuerzas generalizadas actuantes en el sistema, durante una variación de desplazamientos generalizados.-

Cuando se trata con sistemas conservativos, es decir aquellos en los cuales el trabajo puede derivarse de un potencial, es $\delta u^{\rm MC} = 0$ y (2.2) se transforma en:

$$ST = -SV + SW^c \tag{2.3}$$

Introduciendo (2.3) en (2.1), podemos expresar para sistemas holonómicos:

$$\int_{t}^{t_2} \delta(T - V + W^c) dt = 0$$
 (2.4)

$$\begin{cases} \int_{t_1}^{t_2} (T - V + W^c) dt = \int_{t_1}^{t_2} L dt = 0$$
 (2.5)

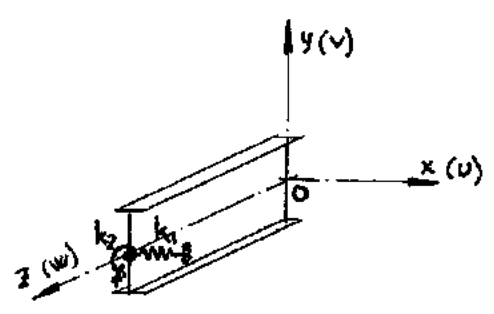
$$L = T - V + W^c \tag{2.6}$$

L es designado como el Lagrangiano y puede considerarse como integrante del funcional del problema tratado

$$I[f_i] = \int_{t_1}^{t_2} L dt \qquad i = 1, 2, \dots$$
 (2.7)

Lo anterior se extiende al caso de varias partículas por sumatoria y a elementos contínuos por medio del análisis mo-dal.-

Para instituir I, se recurre a la consideración del equilibrio a nivel de un elemento diferencial de viga, tomando al gúnas hipótesis (fig 2-1)

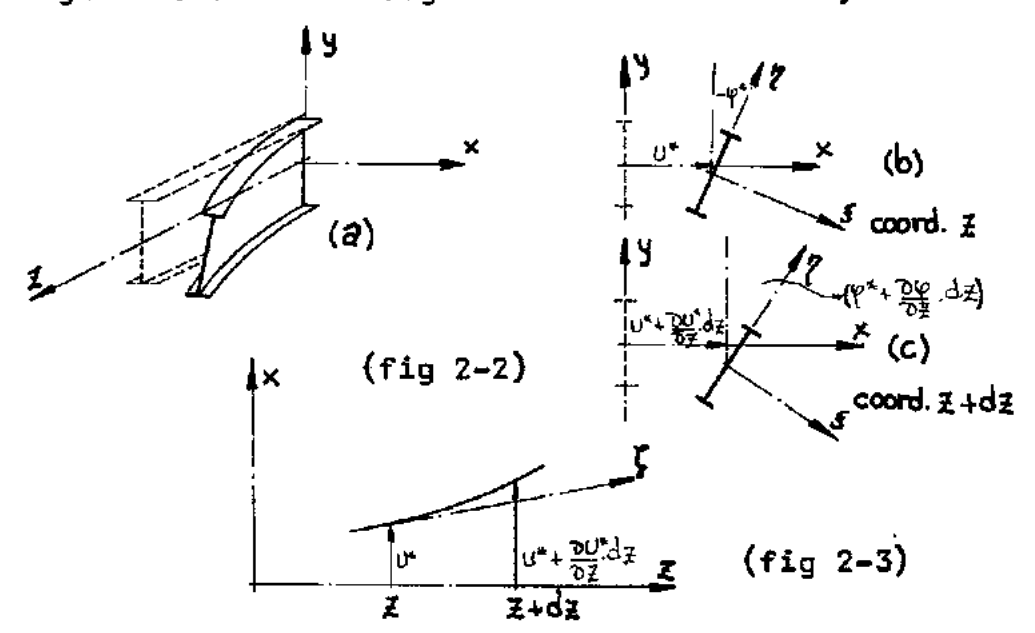


(fig 2-1)

- a- La viga no deflecta enel plano y-z, lo cual es válido cuando la rigidez respecto del eje O-x es mucho mayor que con respecto al O-y (3)
 El fenómeno de flexión en el plano de mayor rigidez resulta desacoplado del de estabilidad lateral, y por ello no se considera.-
- b- No hay deformaciones axiales según 0-1
- c- Se despreciará la deformación por cortante en el pla-

no X-Z

Tomando un elemento situado a una distancia z del origen coordenado, designando por u"= u(z,t) a la deflexión en el plano x-z y por $\varphi'=\varphi'(z,t)$ a la rotación según el eje 0 -z ,adoptando para signos de ellas la regla de la mano derecha. se tiene:



Energia cinética.

significado de términos:

β = densidad del material.

A = área de la sección transversal.

I = momento de inercia polar de la sección transver-sal, respecto del centro de cizallamiento.

$$I_0 = Ix + I_y + A (X_0^2 + Y_0^2)$$

Ix, I_y =momentos de inercia de las secciones transversa-les respecto de los ejes principales 0-x y 0-y .

* y₀ = distancias del centro de gravedad de la sección transversal repecto del centro de cizallamiento.

 $K^2 = I_c/A = cuadrado del radio de giro.$

m= f.A= masa por unidad de longitud.

$$T = \begin{cases} \frac{1}{2} m \left(\frac{\partial U^{*}}{\partial t}\right)^{2} + \frac{1}{2} m K^{2} \left(\frac{\partial \psi^{*}}{\partial t}\right)^{2} + m y_{o} \cdot \frac{\partial U^{*}}{\partial t} \cdot \frac{\partial \psi^{*}}{\partial t} \right\} dz$$
 (2.8)

Energia de deformación:

E= módulo de elasticidad del material.

transversal del material.

J= constante de torsión

Cw= constante de alabao

D= E Iy = rigidez a flexión (plano x-o-z)

C=GJ = " torsional.-

C₁=E.Cv = " de alabeo.-

" k₁ = " del resorte a traslación.- (u)

 k_2 = " " rotación.- (φ) k_3 = " " variación de traslación.-

k_A = " " " " " rotación .--

 $Z_i = (i=1,4)$ Coordenadas de las posiciones de los re-sortes Ki

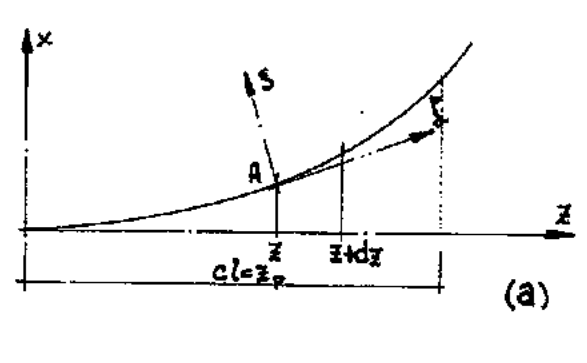
$$V = \int_{0}^{1} \left[\frac{1}{2} D \left(\frac{\partial^{2} U^{x}}{\partial z^{2}} \right)^{2} + \frac{1}{2} C \left(\frac{\partial \psi^{x}}{\partial z^{2}} \right)^{2} - \frac{1}{2} C_{1} \frac{\partial^{3} \psi^{x}}{\partial z^{3}} \frac{\partial \psi^{x}}{\partial z} \right] dz + \left[\frac{1}{2} k_{1} U^{x} \right]_{z_{1}}^{2}$$

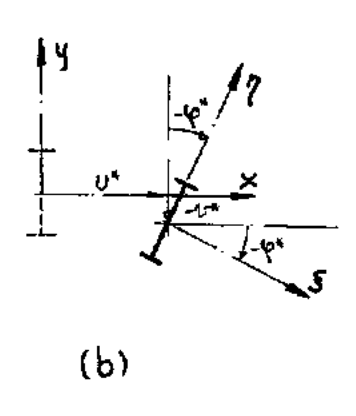
$$+ \frac{1}{2} k_{2} \left(\psi^{x^{2}}_{|z_{2}} + \frac{1}{2} k_{3} \left(\frac{\partial U^{x}}{\partial z} \right)^{2} \right]_{z_{3}}^{2} + \frac{1}{2} k_{4} \left(\frac{\partial \psi^{x}}{\partial z} \right) \Big|_{z_{4}}^{2}$$

$$(2.9)$$

La cantidad entre corchetes se aplica en las coordenadas Z_1 a Z_{Δ} y no en todos los elementos diferenciales,-







(fig. 2-4)

Considerando al punto A como fijo, el punto de aplicación de la carga describe un desplazamiento infinitésimo al considerar la variación de la pendiente $\frac{\partial U}{\partial Z}$

$$qe = \frac{\sqrt{2}}{3} \left(\frac{\sqrt{2}x}{\sqrt{2}\Omega_*} \right) \cdot (x^* - x) qx$$

La componente vertical de ds, (encontrándose ds en el plano 5-1) será:

Siendo h_i la distancia vertical entre el punto de aplicación de P y el c. de ciz. de la sección, se tiene:

$$W^{c} = \int_{0}^{\frac{2}{p}} \frac{\partial^{2} U^{4}}{\partial \mathcal{I}^{2}} \cdot \gamma^{*} \cdot (\mathcal{I}_{p} - \mathcal{I}) d\mathcal{I} + \left[P \cdot \frac{h_{1}}{2} \cdot \gamma^{*}_{|\mathcal{I}_{p}|}^{2} \right]$$
 (2.10)

La cantidad entre corchetes vale en el punto de aplicación de P.-

Integrando (2.8) y (2.9) entre 0 y 1 , y (2.10) entre 0 y z , habremos instituído L , y por lo tanto el funcional $\Gamma[U^*, \phi^*]$

designando
$$U_t = \frac{\partial U^k}{\partial t}$$
, $U_{zz} = \frac{\partial^2 U^k}{\partial z^2}$, etc.

$$\begin{split} I\left[U^{*}, \varphi^{*}\right] &= \int_{t_{A}}^{t_{Z}} \left[\frac{1}{2} \int_{0}^{t} \left\{ m U_{k}^{*2} + m K^{2} \varphi_{t}^{*2} + 2 m y_{o} U_{t}^{*} \varphi_{t}^{*} - \right. \right. \\ &\left. - D U_{ZZ}^{*2} - C \varphi_{x}^{*2} + C_{1} \varphi_{xzz}^{*} \varphi_{x}^{*} \right\} dz + \int_{0}^{z_{p}} P (z_{p} - \overline{z}) U_{xz}^{*} \varphi^{*} dz - \\ &\left. - \frac{1}{2} \left\{ k_{1} U_{|z_{1}|}^{*2} + k_{2} \varphi_{|z_{2}|}^{*2} + k_{3} U_{x||z_{3}}^{*2} + k_{4} \varphi_{|z_{4}|}^{*2} \right\} + \\ &\left. + \frac{1}{2} P h_{1} \varphi_{|z_{p}|}^{*2} \right\}. dt \end{split}$$

$$(2.11)$$

integrando por partes el 6^{to} término del 2^{do} miembro, para llevarlo a una forma más simétrica, se obtiene:

$$\frac{1}{2} \int_{0}^{1} C_{1} \varphi_{III}^{*} \varphi_{I}^{*} dI = \frac{1}{2} C_{1} \varphi_{II}^{*} \varphi_{I}^{*} \Big|_{0}^{1} - \frac{1}{2} \int_{0}^{1} C_{1} \varphi_{II}^{*2} dI$$

Si el extremo es empotrado, resulta $\varphi_{i}^{x}=0$ Si fuera libre en φ_{i}^{x} es $\varphi_{ij}^{x}=0$ (ver 2.2 en condiciones de contorno)

Reemplazando el resultado en (2.11)

$$I[U^{z}, \ddot{\phi}] = \int_{\xi_{1}}^{\xi_{2}} \left[\frac{1}{2} \int_{0}^{z} \left\{ m U_{t}^{z^{2}} + m K^{z} \psi_{t}^{z^{2}} + 2 m y_{0} U_{t}^{z} \psi_{t}^{z} - D U_{xx}^{z^{2}} - C \psi_{x}^{z^{2}} - C \psi_{x}^{z^{2}} - C \psi_{xx}^{z^{2}} \right] dz + \int_{0}^{z} P(Z_{P} - \bar{z}) U_{xx}^{z} \psi^{z} dz + \frac{1}{2} P h_{1} \psi_{|z_{P}}^{z^{2}} - \frac{1}{2} \left\{ k_{1} U_{|x_{1}}^{z^{2}} + k_{2} \psi_{|z_{2}}^{z^{2}} + k_{3} U_{x}^{z^{2}} + k_{4} \psi_{x}^{z} \right\} dt$$

$$(2.12)$$

En el estado de equilibrio bajo carga P, admitiendo sa car a a la estructura de esa posición, retirando luego la causa de la pertubación, la estructura entra en un estado de vibración con frecuencia 🖎

$$U^*, \tilde{U}^* = U(\mathcal{I}). e^{\pm i\omega t}$$
 (2.13)

$$\varphi^{*}, \ddot{\varphi}^{*} = \varphi(\mathbf{z}).e^{\pm i\omega t}$$
 (2.14)

Se ha indicado con barra la solución conjugada de la compleja (supuesta con signo +), correspondiendo vibración armónica para el caso en que ω sea real.

0=O(2) y $\varphi=\varphi(2)$ definen las deformaciones para un determinado tiempo t.

La frecuencia de vibración decidirá el tipo de movi--miento y de equilibrio : estable, inestable.

Se aclara en sección 2.3

Como una solución compleja le corresponde la conjugada correspondiente, en los productos v^{*2} , v^{*2} , v^{*2} , v^{*3} , v^{*4} , v^{*2} , etc. se deben tomar ambas soluciones:

$$U_{t}^{22} = U_{t}^{*}, \overline{U}_{t}^{*} = \omega^{2} U^{2} e^{i\omega t} e^{i\omega t} = \omega^{2}, U^{2}$$

$$V_{t}^{*2} = V_{t}^{*}, \overline{V}_{t}^{*} = \omega^{2} V^{2}, e^{i\omega t}, \overline{e}^{i\omega t} = \omega^{2} V^{2}$$

$$\vdots$$

$$U_{ZI}^{*2} = U_{ZI}^{*}, \overline{U}_{ZI}^{*} = U_{ZI}^{*}, e^{i\omega t}, \overline{e}^{i\omega t} = U_{ZI}^{*}$$

$$\vdots$$

Siendo J independiente de t, es

$$[[u^*, \varphi^*] = \int_{t_1}^{t_2} J dt = (t_2 - t_1). J$$
 (2.12)

J seria el funcional que no depende del intervalo de tiempo (t_2-t_4) , y se obtiene de sustituir en (2.12) las expresiones (2.13) y (2.14)

$$J[U, \varphi] = \frac{1}{2} \int_{0}^{1} \left\{ m \omega^{2} U^{2} + m \omega^{2} K^{2} \varphi^{2} + 2 m \gamma_{o} \omega^{2} U. \varphi - D U_{II}^{2} - C \varphi_{I}^{2} - C_{1} \varphi_{II}^{2} \right\} dI + \int_{0}^{I_{p}} P(I_{r} - I) U_{II} \varphi dI + \frac{1}{2} P.h_{1} \varphi_{I_{I}}^{2} - \frac{1}{2} \left\{ k_{1} U_{II_{1}}^{2} + k_{2} \varphi_{II_{2}}^{2} + k_{3} U_{II_{3}}^{2} + k_{4} \varphi_{II_{3}}^{2} \right\}$$

$$(2.15)$$

2.2 MINIMIZACION DEL FUNCIONAL

Institución de las ecuaciones diferenciales y condicio

El funcional (2.15) puede ser clasificado como de 2 campos: en U y ψ . Las funciones admisibles pertenecen a un espacio C^2 (que admiten derivadas segundas contínuas), en el que consideramos vecindad de 2^{do} orden a las funciones.

Suponemos que existen $U^*=U^*(X)$ y $\varphi^*=\varphi^*(X)$ que minimizan el funcional, o sea que son la solución del problema $J \to min$.

Cualquier otra función admisible dentro de las restricciones establecidas puede ser representada por:

$$U(\bar{z}) = U^{*}(\bar{z}) + \varepsilon_{1} \eta(\bar{z}) \tag{2.16}$$

$$\varphi(z) = \varphi'(z) + \varepsilon_z \, \varphi(z) \tag{2.17}$$

donde

ε₄, ε₂ son números arbitrarios.

 η , ρ son functiones pertenecientes a las C^2 y representant las variaciones admisibles.

η γ P deben satisfacer las siguientes condiciones:

$$|\eta^d| < 1$$
 , $|\rho^d| < 1$ $d = 0, 1$

donde d tiene el significado de derivada.
Derivando (2.16) y (2.17) en lo que sea necesario, y reemplazándolas en el funcional (2.15) se tiene:

$$J[v, \varphi] \Rightarrow I(\varepsilon_4, \varepsilon_2)$$

$$\begin{split} I(\epsilon_{1},\epsilon_{2}) &= \frac{1}{2} \int_{0}^{1} m \, \omega^{2} \left[(\upsilon^{*} + \epsilon_{1} \, \varrho)^{2} + k^{2} (\varphi^{*} + \epsilon_{2} \, \varrho)^{2} + 2 \, g_{0} (\upsilon^{*} + \epsilon_{1} \, \varrho) . (\varphi^{*} + \epsilon_{2} \, \varrho)^{2} + 2 \, g_{0} (\upsilon^{*} + \epsilon_{1} \, \varrho) . (\varphi^{*} + \epsilon_{2} \, \varrho)^{2} + 2 \, g_{0} (\upsilon^{*} + \epsilon_{2} \, \varrho)^{2} + 2 \, g_{0} (\upsilon^{*} + \epsilon_{2} \, \varrho)^{2} + 2 \, g_{0} (\upsilon^{*} + \epsilon_{2} \, \varrho)^{2} + 2 \, g_{0} (\upsilon^{*} + \epsilon_{2} \, \varrho)^{2} + 2 \, g_{0} (\upsilon^{*} + \epsilon_{2} \, \varrho)^{2} + 2 \, g_{0} (\upsilon^{*} + \epsilon_{2} \, \varrho)^{2} + 2 \, g_{0} (\upsilon^{*} + \epsilon_{2} \, \varrho)^{2} + 2 \, g_{0} (\upsilon^{*} + \epsilon_{2} \, \varrho)^{2} + 2 \, g_{0} (\upsilon^{*} + \epsilon_{2} \, \varrho)^{2} + 2 \, g_{0} (\upsilon^{*} + \epsilon_{2} \, \varrho)^{2} + 2 \, g_{0} (\upsilon^{*} + \epsilon_{2} \, \varrho)^{2} + 2 \, g_{0} (\upsilon^{*} + \epsilon_{2} \, \varrho)^{2} + 2 \, g_{0} (\upsilon^{*} + \epsilon_{2} \, \varrho)^{2} + 2 \, g_{0} (\upsilon^{*} + \epsilon_{2} \, \varrho)^{2} + 2 \, g_{0} (\upsilon^{*} + \epsilon_{2} \, \varrho)^{2} + 2 \, g_{0} (\upsilon^{*} + \epsilon_{2} \, \varrho)^{2} + 2 \, g_{0} (\upsilon^{*} + \epsilon_{2} \, \varrho)^{2} + 2 \, g_{0} (\upsilon^{*} + \epsilon_{2} \, \varrho)^{2} + 2 \, g_{0} (\upsilon^{*} + \epsilon_{2} \, \varrho)^{2} + 2 \, g_{0} (\upsilon^{*} + \epsilon_{2} \, \varrho)^{2} + 2 \, g_{0} (\upsilon^{*} + \epsilon_{2} \, \varrho)^{2} + 2 \, g_{0} (\upsilon^{*} + \epsilon_{2} \, \varrho)^{2} + 2 \, g_{0} (\upsilon^{*} + \epsilon_{2} \, \varrho)^{2} + 2 \, g_{0} (\upsilon^{*} + \epsilon_{2} \, \varrho)^{2} + 2 \, g_{0} (\upsilon^{*} + \epsilon_{2} \, \varrho)^{2} + 2 \, g_{0} (\upsilon^{*} + \epsilon_{2} \, \varrho)^{2} + 2 \, g_{0} (\upsilon^{*} + \epsilon_{2} \, \varrho)^{2} + 2 \, g_{0} (\upsilon^{*} + \epsilon_{2} \, \varrho)^{2} + 2 \, g_{0} (\upsilon^{*} + \epsilon_{2} \, \varrho)^{2} + 2 \, g_{0} (\upsilon^{*} + \epsilon_{2} \, \varrho)^{2} + 2 \, g_{0} (\upsilon^{*} + \epsilon_{2} \, \varrho)^{2} + 2 \, g_{0} (\upsilon^{*} + \epsilon_{2} \, \varrho)^{2} + 2 \, g_{0} (\upsilon^{*} + \epsilon_{2} \, \varrho)^{2} + 2 \, g_{0} (\upsilon^{*} + \epsilon_{2} \, \varrho)^{2} + 2 \, g_{0} (\upsilon^{*} + \epsilon_{2} \, \varrho)^{2} + 2 \, g_{0} (\upsilon^{*} + \epsilon_{2} \, \varrho)^{2} + 2 \, g_{0} (\upsilon^{*} + \epsilon_{2} \, \varrho)^{2} + 2 \, g_{0} (\upsilon^{*} + \epsilon_{2} \, \varrho)^{2} + 2 \, g_{0} (\upsilon^{*} + \epsilon_{2} \, \varrho)^{2} + 2 \, g_{0} (\upsilon^{*} + \epsilon_{2} \, \varrho)^{2} + 2 \, g_{0} (\upsilon^{*} + \epsilon_{2} \, \varrho)^{2} + 2 \, g_{0} (\upsilon^{*} + \epsilon_{2} \, \varrho)^{2} + 2 \, g_{0} (\upsilon^{*} + \epsilon_{2} \, \varrho)^{2} + 2 \, g_{0} (\upsilon^{*} + \epsilon_{2} \, \varrho)^{2} + 2 \, g_{0} (\upsilon^{*} + \epsilon_{2} \, \varrho)^{2} + 2 \, g_{0} (\upsilon^{*} + \epsilon_{2} \, \varrho)^{2} + 2 \, g_{0} (\upsilon^{*} + \epsilon_{2} \, \varrho)^{2} + 2 \, g_{0} (\upsilon^{*} + \epsilon_{2} \, \varrho)^{2} + 2 \, g_{0} (\upsilon^{*} + 2 \, g_{0} (\upsilon^{*} + \varepsilon_{2} \, \varrho)^{2} + 2 \, g_{0} (\upsilon^{*} + \varepsilon_{2} \, \varrho)^{2} +$$

Las condiciones de mínimo serán:

$$\frac{\partial \underline{I}(\mathcal{E}_{i}, \mathcal{E}_{z})}{\partial \mathcal{E}_{i}} = 0 \qquad i = 1,2$$

$$\frac{\partial I}{\partial \varepsilon_{1}} \Big|_{\varepsilon_{1}=0} = \int_{0}^{t} \{ m\omega^{2}U^{*}\eta + m\omega^{2}y_{3}\psi^{*}\eta \} dI - \int_{0}^{t} DU_{II}^{*}\eta_{II} dI + \int_{0}^{z_{1}} P(I_{2}-I).\psi^{*}\eta_{II} dI - k_{1}U^{*}\eta_{II} - k_{3}U_{II}^{*}\eta_{II} dI - k_{3$$

$$\frac{DI}{DE_{2}}\Big|_{E_{1}=0} = \int_{0}^{1} \left\{ m \, \omega^{2} \, y_{0} \, U^{*} \, \rho + m \, \omega^{2} \, K^{2} \, \phi^{*} \, \rho \right\} dI - \int_{0}^{1} \left\{ C \, \psi_{3}^{*} \, \beta_{2} + C_{1} \, \psi_{23}^{*} \, \beta_{33} \right\} dI + \int_{0}^{2} P(Z_{P} - I) \, U_{23}^{*} \, \rho \, dI + Ph_{1} \, \phi^{*} \, \rho \Big|_{Z_{P}} - K_{1} \, \psi_{3}^{*} \, \beta_{33} \, dI + Ph_{1} \, \psi^{*} \, \rho \Big|_{Z_{P}} - K_{1} \, \psi_{3}^{*} \, \rho \Big|_{Z_{P}} = 0$$

$$-K_{2} \, \psi^{*} \, \rho \Big|_{I_{2}} - K_{1} \, \psi_{4}^{*} \, \rho \Big|_{I_{2}} = 0 \qquad (2.20)$$

Integrando por partes (2.19) y 2.20) referente a (y), designando como:

$$v = v^*$$
 $\varphi = \varphi^*$

Como en cl y Z; (i=1,...4) pueden existir disconti-nuidades en alguna derivada de las funciones, se debe efectuar
la integración entre los límites: O y l subdividiendo el mismo
en subintervalos que no contengan resortes ni la carga P.-(fig25)

n-1 = número de subdominios entre 0 y 1

$$\int_{0}^{1} D U_{22} \int_{22}^{1} dz = \sum_{i=0}^{n} D U_{22} \int_{22}^{1} \int_{2i+1}^{2i+1} - \sum_{i=0}^{n} \int_{2i+1}^{2i+1} \frac{\partial}{\partial z} \left(D U_{22} \right) \int_{2i}^{2} dz = \sum_{i=0}^{n} D U_{22} \int_{2i+1}^{2i+1} - \sum_{i=0}^{n} \int_{2i+1}^{2i+1} \frac{\partial}{\partial z} \left(D U_{22} \right) \int_{2i+1}^{2i+1} \frac{\partial}{\partial z} \left(D U_{2$$

en forma similar: con $n_1-1=n\acute{u}m$. de int. hasta P

$$+ \sum_{i=0}^{n} \left[C \phi_{x} P_{x} + C_{i} \phi_{xx} P_{xx} \right] dx = \sum_{i=0}^{n} P(cl-x) \phi \int_{x_{i}}^{x_{i}} \frac{1}{2^{i}} e^{-\frac{i}{2}} \left[P(cl-x) \phi \right] dx \\
+ \sum_{i=0}^{n} \left[C \phi_{x} P_{x} + C_{i} \phi_{xx} P_{xx} \right] dx = \sum_{i=0}^{n} C_{i} \phi_{xx} P_{x} P_{x} \left[\frac{1}{2^{i}} e^{-\frac{i}{2^{i}}} e^{-\frac{i}{2^{i}}$$

Reemplazando en (2.19) y (2.20)

$$\sum_{i=0}^{n} \int_{\mathbb{Z}_{i}^{+}}^{\mathbb{Z}_{i}} \left\{ m \omega^{2} u + m \omega^{2} y_{o} \varphi - \frac{\partial^{2}}{\partial \mathbb{Z}^{2}} \left[D u_{xx} - P(cl-x) \varphi \right] \right\} \eta dx + \\
+ \sum_{i=0}^{n} \int_{\mathbb{Z}_{i}^{+}}^{\mathbb{Z}_{i}} \left\{ m \omega^{2} u + m \omega^{2} y_{o} \varphi - \frac{\partial^{2}}{\partial \mathbb{Z}^{2}} (D u_{xx}) \right\} \eta dx - k_{1} u \eta_{x} - \\
- k_{2} u_{x} \eta_{x} \Big|_{\mathbb{Z}_{i}^{+}} + \sum_{i=0}^{n} \frac{\partial}{\partial \mathbb{Z}} \left[D u_{xx} - P(cl-x) \varphi \right] \eta \Big|_{\mathbb{Z}_{i}^{+}}^{\mathbb{Z}_{i}} + \\
+ \sum_{i=0}^{n} \frac{\partial}{\partial \mathbb{Z}} (D u_{xx}) \cdot \eta \Big|_{\mathbb{Z}_{i}^{+}}^{\mathbb{Z}_{i}} - \sum_{i=0}^{n} \left[D u_{xx} - P(cl-x) \varphi \right] \eta_{x} \Big|_{\mathbb{Z}_{i}^{+}}^{\mathbb{Z}_{i}} - \\
- \sum_{i=0}^{n} D u_{xx} \eta_{x} \Big|_{\mathbb{Z}_{i}^{+}}^{\mathbb{Z}_{i}} = 0 \qquad (2.21)$$

$$\sum_{i=0}^{n} \int_{\mathbb{Z}_{i}^{+}}^{\mathbb{Z}_{i}} \left\{ m \omega^{2} y_{o} u + m \omega^{2} k^{2} \varphi - \frac{\partial^{2}}{\partial \mathbb{Z}^{2}} (C_{i} \varphi_{xx}) + \frac{\partial}{\partial \mathbb{Z}} (C_{i} \varphi_{x}) + \\
+ P(cl-x) u_{xx} \Big\} \rho_{i} dx + \sum_{i=0}^{n} \int_{\mathbb{Z}_{i}^{+}}^{\mathbb{Z}_{i}} \left\{ m \omega^{2} y_{o} u + m \omega^{2} k^{2} \varphi - \\
- \frac{\partial^{2}}{\partial \mathbb{Z}^{2}} (C_{i} \varphi_{xx}) + \frac{\partial}{\partial \mathbb{Z}} (C_{y}) \Big\} \rho_{i} dx + Ph_{i} \varphi_{i} \Big|_{Ci} - k_{2} \varphi_{i} \Big|_{\mathbb{Z}_{i}} - \\
- k_{1} \varphi_{x} \Big|_{\mathbb{Z}_{i}}^{\mathbb{Z}_{i}} - \sum_{i=0}^{n} C_{1} \varphi_{xx} \Big|_{\mathbb{Z}_{i}}^{\mathbb{Z}_{i}} - \sum_{i=0}^{n} \left[C \varphi_{x} - \\
- \frac{\partial}{\partial \mathbb{Z}^{2}} (C_{i} \varphi_{xx}) \right] \rho_{x} \Big|_{\mathbb{Z}_{i}}^{\mathbb{Z}_{i}} = 0 \qquad (2.22)$$

Del lema fundamental del cálculo de variaciones se deduce que para η , f arbitrarios dentro del dominio $\left[\vec{x}_i^{\, t} \,,\, \vec{x}_{in}^{\, t} \right]$, se

obtienen las ecueciones de Euler Lagrange y las condiciones de contorno del problema.

Existen dos ecuaciones de Euler-Lagrange en el interva lo [0,cl] y otras para el [cl,l]; para visualizar mejor las ecuaciones, supondremos el caso en que cl=l, con lo que las ecuaciones de Euler Lagrange que resultan son:

$$\omega^{2} m \left(\upsilon + \varsigma_{0} \varphi \right) - \frac{\partial^{2}}{\partial z^{2}} \left[D \upsilon_{zz} - P(l-z) \varphi \right] = 0 \qquad (2.23)$$

$$\omega^{2}m(y_{0}U+K^{2}\psi)-\frac{\partial^{2}}{\partial z^{2}}(C_{1}\psi_{zz})+\frac{\partial}{\partial z}(C_{1}\psi_{z})+P(I-z)U_{zz}=0 \qquad (2.24)$$

En las condiciones de contorno distinguimos dos tipos:

- a) condiciones naturales de contorno.
- b) " impuestas " "

Las a) deben satisfacerse en forma natural y tal como están planteadas en (2.21) conducen a las condiciones de Erdmann Weierstrass en las coordenadas \mathcal{I}_i (caso general, en que $cl \neq l$).

Por ejemplo, para ₹4≠1, se llega a:

$$-k_{1}U + \frac{1}{2} \left[DU_{xx} - P(cl-x) \varphi \right]_{x_{1}^{+}}^{x_{2}^{+}} = 0$$

$$-K_{\overline{a}}n_{\overline{a}} - \left[Dn_{\overline{a}\overline{a}} - b(cl - \overline{a})h\right]_{\underline{x}_{i}}^{\underline{x}_{i}} = 0$$

Las (a) deben satisfacerse en forma natural al aplicar ciertos métodos directos (Ritz, Elementos Finitos) ó deberán tenerse en cuenta (Galerkin)

Las (b) dependen de los vínculos impuestos y restrin-gen la libertad de las funciones en los contornos.

Para simplificar e interpretar las condiciones de contorno, supongamos que todos los resortes estén en el extremo libre de la viga, idem la carga.

Las condiciones de contorno serán entonces:

$$-k_{1} \cup \eta_{1} - k_{3} \cup_{\mathbf{I}} \eta_{1} + \frac{\partial}{\partial \mathbf{I}} \left[D \cup_{\mathbf{I}\mathbf{I}} - P(1-\mathbf{I}) \varphi \right] \eta_{1}^{T} - \left[D \cup_{\mathbf{I}\mathbf{I}} - P(1-\mathbf{I}) \varphi \right] \eta_{2}^{T} = 0$$

$$- \left[D \cup_{\mathbf{I}\mathbf{I}} - P(1-\mathbf{I}) \varphi \right] \eta_{2}^{T} = 0$$

$$- \left[C \varphi_{1} - \frac{\partial}{\partial \mathbf{I}} \left(C_{1} \varphi_{2\mathbf{I}} \right) \right] \rho_{1}^{T} = 0$$

$$- \left[C \varphi_{2} - \frac{\partial}{\partial \mathbf{I}} \left(C_{1} \varphi_{2\mathbf{I}} \right) \right] \rho_{1}^{T} = 0$$

$$(2.26)$$

Para éste caso:

en coordenada Z = 0

Condiciones naturales

impuestas

$$-Dv_{xx} + Pl\phi = 0$$

$$\frac{\partial}{\partial x} \left[Dv_{xx} - Pl\phi \right] = 0$$

$$-C_1 \phi_{xx} = 0$$

$$-\left[C\phi_x - \frac{\partial}{\partial x} (C_1 \phi_{xx}) \right] = 0$$

$$P = 0$$

Coordenada #=[

Condiciones naturales

impuestas

$$-k_{3} u_{1} - D u_{12} = 0$$

$$-k_{4} u_{1} - C_{4} v_{22} = 0$$

$$-k_{4} v_{1} - C_{4} v_{22} = 0$$

$$-k_{5} v_{1} - C_{4} v_{22} = 0$$

$$-k_{5} v_{1} - C_{5} v_{22} + D_{5} v_{1} v_{23} + Ph_{1} v_{2} = 0$$

$$P = 0$$

La combinación de condiciones naturales con impuestas nos conducen a diferentes problemas.

Viga en voladizo: valen las condiciones impuestas para Z = 0 y las naturales para Z = 1

Viga doblemente empotrada: valen las condiciones impuestas para z=0 y z=l .--

2.3.- CRITERIO DINAMICO DE ESTABILIDAD

El problema variacional que deriva en las ecuaciones de Euler Lagrange (2.23) y (2.24) es un problema generalizado de autovalores ⁽⁵⁾ que proviene de las funciones (2.13) (2.14), en las cuales ω representa la frecuencia de vibración de la estructura alrededor de su posición de equilibrio (estado bajo carga), resultando función del cargamento aplicado:

$$\omega = \omega(P) \tag{2.27}$$

El criterio de estabilidad de Liapunov ⁽¹⁴⁾ para el caso dinámico expresa:

'El estado de equilibrio de un sistema mecánico discreto se dice ser estable si durante el movimiento desarrolla do por una pequeña perturbación inicial, las velocida-des y los desplazamientos permanecen lo suficientemente pequeños para todo tiempo positivo.

Si además el movimiento que desarrolla la perturbación es tal que las velocidades y los desplazamientos se aproximan a cero cuando el tiempo se aproxima a infinito, el estado de equilibrio se dice ser asintóticamenta estable.

Transcribinos la (2.13) y (2.14) en forma genérica, con U(I) ó $\psi(I)$ iguales a f(I) $f(I,t) = f(I) e^{\pm i\omega t} \qquad (2.26)$

Observamos que para frecuencias ob reales y positivas, el movimiento será armónico y estable de acuerdo al criterio anterior._

Adoptamos una de las (2.28):

$$f(z,t) = f(z) e^{i\omega t}$$
 (2.29)

llamando a ίω=5 como exponente característico tendr<u>e</u>

$$f(z,t) = f(z).e^{st}$$
 (2.30)

Admitiendo para S una forma compleja más general se tendrá:

$$S = ReS + i ImS$$
 (2.31)

Res = parte real de s.

Ims = " imaginaria de S.

$$f(z,t) = \left[f(z) e^{\text{Res.t.}} \right] e^{i \text{Ims.t.}}$$
 (2.32)

Laperte real de 5 decide la estabilidad del movimiento

- a) Res ≤ O es movimiento estable.
- b) Res > 0 " " inestable.

Cuando P = 0 en (2.23) y (2.24), se está en el caso de vibraciones naturales , y se conoce que en ése caso la frecuencia de vibración ω es real \therefore S= $i\omega$ =Ims.i; con Res=O; se está en el caso a, que es estable.

Incrementando P desde cero a valores positivos, las fre cuencias de vibración cambian y existen dos alternativas de que se obtengan valores de Res>O:

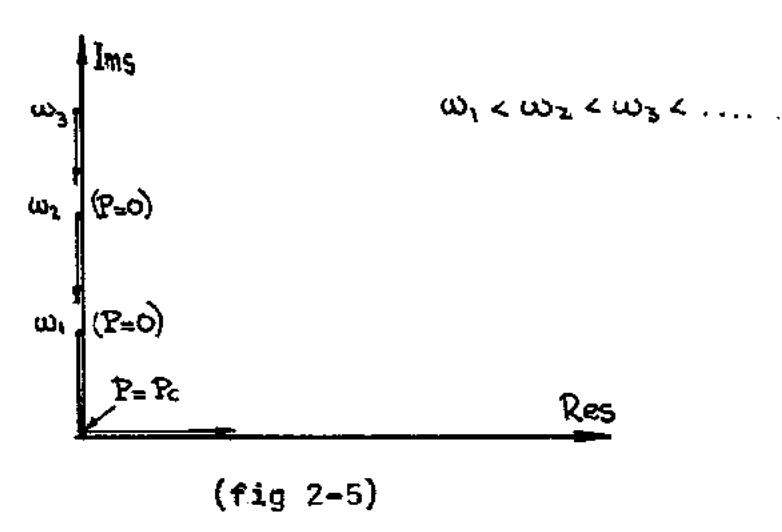
Caso I: cuando Ima decrece y pasa por el valor nulo.
Caso II: cuando se tienen valores de Res > O sin que Ima

pase por cero.

Trazaremos gráficos en el plano complejo de variación de s cuando varía P.-

Caso I

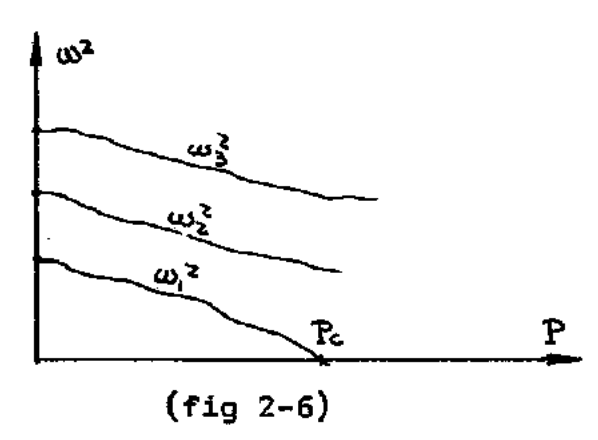
Supongamos que Res =0 para ciertos valores de P>0 y que la forma de ingresar a la parte derecha del medio plano complejo es pasando por el valor Ims = 0



Podemos graficar tambien cómo varían los valores de $\omega^2 P$, pues se tiene para:

$$0 \le P < P_{c,i}$$
 es s=i ω ... es ω real ... $\omega^2 > 0$

$$P_{c} < P_{i} = S = Res = i(i\omega)$$
... es ω imag. puro ... $\omega^2 < 0$



Este caso que se encontrará al resolver el problema , corresponde ser designado como 'inestabilidad estática', y el resultado de P_c coincidirá con el calculado por los métodos de

Euler o de Energía, pues de (2.24) con $\omega = 0$ corresponderán a tal formulación:

$$-\frac{\partial I}{\partial z}(C_1 \phi_{II}) + \frac{\partial I}{\partial z}(C_1 \phi_{I}) + P(I-z) \phi_{II} = 0$$

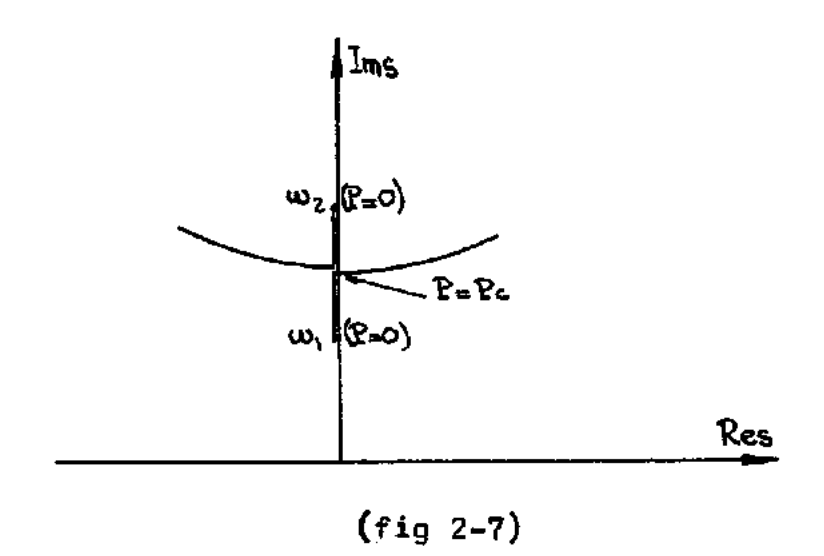
$$-\frac{\partial I}{\partial z}(C_1 \phi_{II}) + \frac{\partial I}{\partial z}(C_1 \phi_{I}) + P(I-z) \phi_{II} = 0$$

$$-\frac{\partial I}{\partial z}(C_1 \phi_{II}) + \frac{\partial I}{\partial z}(C_1 \phi_{II}) + P(I-z) \phi_{II} = 0$$

que es la ecuación (6.17) de Timoshenko, para la solución de la viga en voladizo.

Caso II

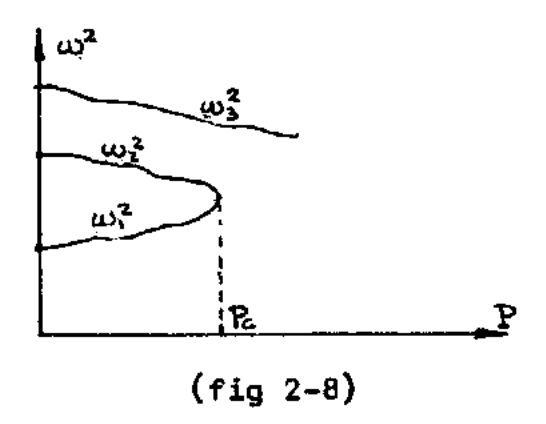
Supondremos que la forma de ingresar a la parte derecha del medio complejo es pasando por valores de $Ims \neq 0$, sea Ims > 0



Idem caso 1, estudiaremos cómo varían las w2-P

$$0 \le P \le P_c$$
; es ω real ... $\omega^2 > 0$

$$P_c < P$$
; es ω imaginario no puro, con $\omega_1 = \omega_2$
 $\omega_1^2 = \omega_2^2 = (R_e \omega)^2 - (Im\omega)^2 > 0$ (real).



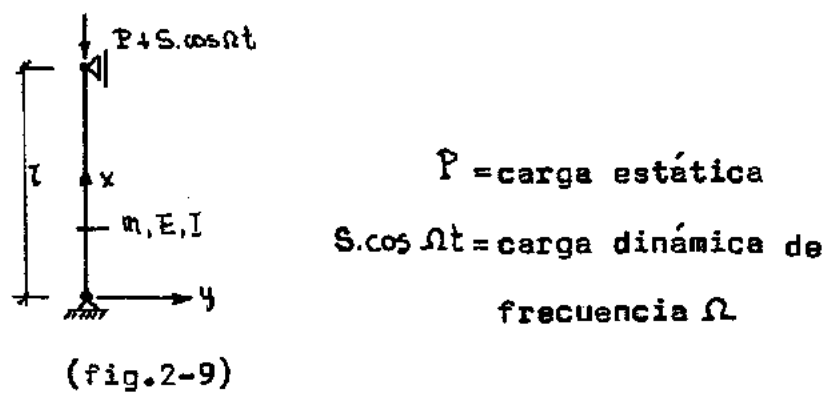
Vemos que para $\omega_{\rm v}=\omega_{\rm z}$, corresponden iguales valores de $\omega^{\rm z}$ que dan la condición de inestabilidad (Carga crítica).

Este caso se designa como inestabilidad oscilatoria o 'flutter', en la cual el incremento en la perturbación es del tipo oscilatorio y creciente.-

Como ejemplos de casos de inestabilidad de ambos tipos podemos c<u>i</u> tar los siguientes:

a) inestabilidad estática:

En $^{(3)}$,pag.158 y 159 trata el caso de la columna biart \underline{i} culada (fig 2-9) sometida a una carga P + 5 $\cos \Omega t$ (estática mas - dinámica)



suponiendo S = O se llega (pag 159) a la ecuación del cuadrado de la frecuencia de vibración de la columna (analizada por el método dinámico) en función de P:

$$\omega^{2} = \frac{\pi^{2}}{m l^{2}} \left(\pi^{2} \frac{EI}{l^{2}} - P \right)$$

$$\omega^{2} = \frac{\pi^{2}}{m l^{2}} \left(P_{c} - P \right)$$
(2.33)

Se observa que para
$$P < P_c$$
 es $\omega^2 > 0$

$$P = P_c \quad \omega^2 = 0$$

$$P > P_c \quad \omega^2 < 0$$

Como (2.33) se deduce suponiendo que la función de des plazamiento γ es:

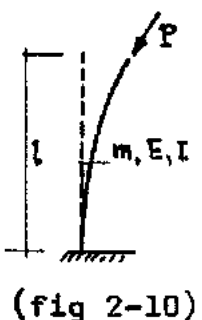
$$y = A (t) e^{i\omega t}$$
 (2-34)

Para (2.33) se obtienen las curvas para ω_{Λ^*} correspondientes a las figuras (2-6)y (2-7).-

El caso aquí estudiado (Tesis) es otro ejemplo

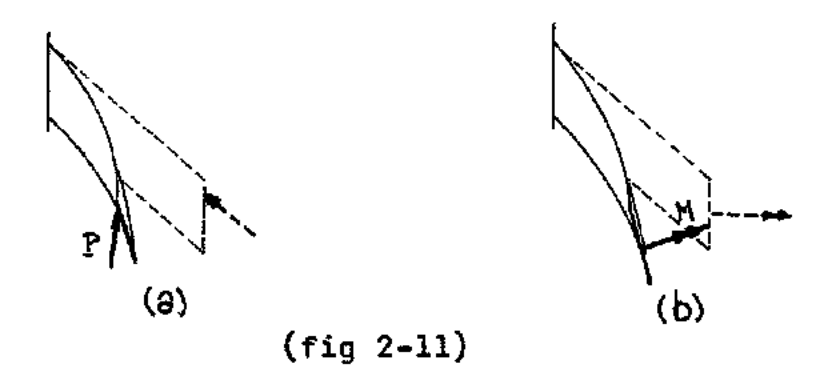
b) inestabilidad dinámica

Barsoum ⁽⁹⁾ da los gráficos correspondientes a las fig<u>u</u> ras (2-7) y (2-8) para el problema de Beck (fig 2-10), que corres ponde a la columna empotrada con carga seguidora, estudio reali-



zado utilizando el método de Elementos Finitos; como vemos es el caso de cargamento no con servativo clásico.

Pueden citarse los casos de carga seguidora exéntrica y momento no conservativo en vigas (fig 2-11)



Soluciones conjugadas

Cuando se tiene una solución compleja, la conjugada también satisface: $\overline{S} = ReS - i \overline{I}mS$

$$\bar{f}(z,t) = [l(z)e^{Res.t}]e^{iIms.t}$$

CASO I

 $0 \in P < P_c$; as $s = -i\omega$... es ω real ... $\omega^2 > 0$ $P_c < P$; " $s = Res = i(-i\omega)$... ω es imag. puro ... $\omega^2 < 0$ Resulta igual al caso ya visto.

CASO II

 $P_c < P$; es ω imag, no paro, con $\widetilde{\omega}_1 = \widetilde{\omega}_2 : \widetilde{\omega}_1^2 = \widetilde{\omega}_2^2 > 0$

A los fines de computación se está en un caso igual al anterior, correspondiente a la solución compleja de 5 .-

Podemos concluir afirmando que para sistemas sometidos a cargamentos conservativos, los métodos de Euler y dinámico dan la misma solución para el valor de carga crítica, no siendo nece sario entonces aplicar el segundo , estando en el caso de inestabilidad estática.

Para sistemas sometidos a cargamentos no conservativos, para los cuales la pérdida de la estabilidad de equilibrio requiere un estudio especial , ambas formas de inestabilidad : la dinámica y la estática son posibles y el planteo dinámico es fundamental.

Una ampliación de conceptos para casos de cargamentos no conservativos se da en el apéndice 4.-

CAPITULO III

COMPORTAMIENTO POSTCRITICO

3.1 - GENERALIDADES

En el presente capítulo se hará la presentación de un método de análisis general no lineal de la teoría de la estabilidad elástica, siguiendo la línea de Thompson (8), Chilver (19), Roorda (16), (17), Croll y Walker, etc.

El planteamiento vale para sistemas sometidos a cargamentos conservativos y se basa en que es posible formular la expresión de la emergía potencial total (Υ) en términos de deformaciones, del tipo:

$$\Pi = \Pi(Q_{i}, \Lambda) \tag{3.1}$$

Q; conjunto de coordenadas generalizadas

∧ parámetro de cargas.

Aunque la expresión (3.1) es válida para sistemas mecánicos discretos, es posible su aplicación a sistemas continues
haciendo uso del análisis modal aproximado o del método de elementos finitos, en éste último caso aproximando un contínuo a
un número determinado de parámetros nodales; idem para sistemas
discretos generados en análisis de sistemas contínuos por aná-lisis modal con un conjunto completo de funciones.

Recordando los dos axiomas básicos para un sistema en lo que concierne a su equilibrio estático y su estabilidad, en el sentido de Liapunov (8)

Axioma I

'Un valor estacionario de la energía potencial total com respecto a las coordenadas generalizadas es necesario y suficiente para el equilibrio del sistema.-

Axioma II

'Un mínimo completo relativo de la energía potencial total con respecto a las coordenadas generalizadas es necesario y suficiente para la estabilidad de un estado de equilibrio de un sitema.'

O sea, debemos buscar de establecer las posiciones de las mínimos de la energía potencial total que debido al axioma I nos conducen al equilibrio del sistema y por el II, la condición de estabilidad.-

Procedemos a derivar (3.1) respecto a cada coordenada generalizada, denotando con un subíndice (i) que se trata de de-rivada.

$$\pi_i(Q_i^*, \Lambda^E) = \frac{\partial \pi}{\partial Q_i}(Q_i^E, \Lambda^E) = 0 \qquad i=1,2,... \eta \qquad (3.2)$$

E indica estado de equilibrio

Se obtienen así n 'caminos de equilibrio, al variar Λ en forma contínua uno por cada coordenada generalizada que se disponga en el espacio bidimensional Λ -Q; componiendo todos ellos en el espacio Euclidiano (n + 1) dimensional, obtendremos una línea en tal espacio. (fig 3-1)

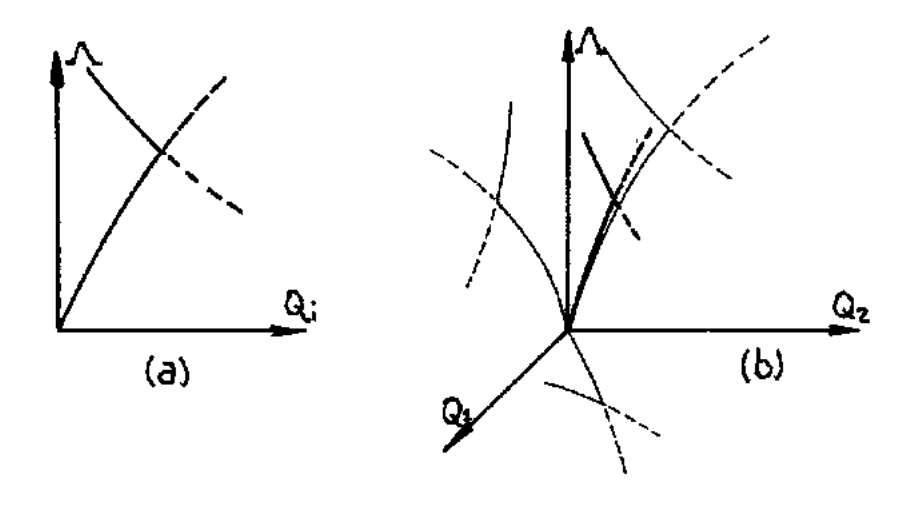


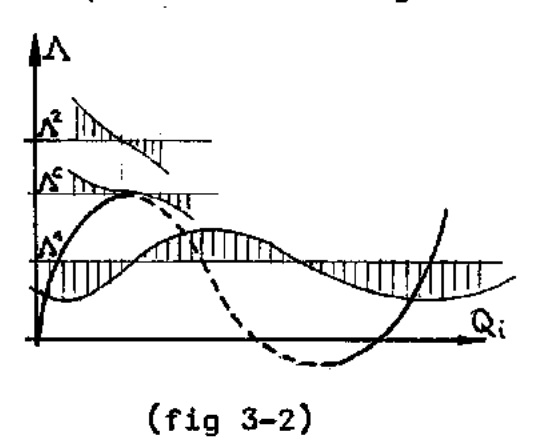
fig (3-1)

Existen cuatro formas principales en que se manifiesta el fenómeno de inestabilidad elástica, pudiendo encuadrar cada - una de ellas en dos casos: sistemas perfectos e imperfectos.

(En los gráficos siguientes las líneas llenas representan caminos de equilibrio estables y las líneas quebradas los inestables)

Sistemas perfectos

e) Punto límite o 'snap through:el camino primario ini cialmente estable en el orígen va perdiendo estabilidad a medida que aumenta Λ hasta un valor defini do como parámetro de carga critica (Λ^c) (fig 3-2)



Es uno de los fenómenos más comunes y aparece en do

mos y arcos rebajados .

varse como una cúspide.

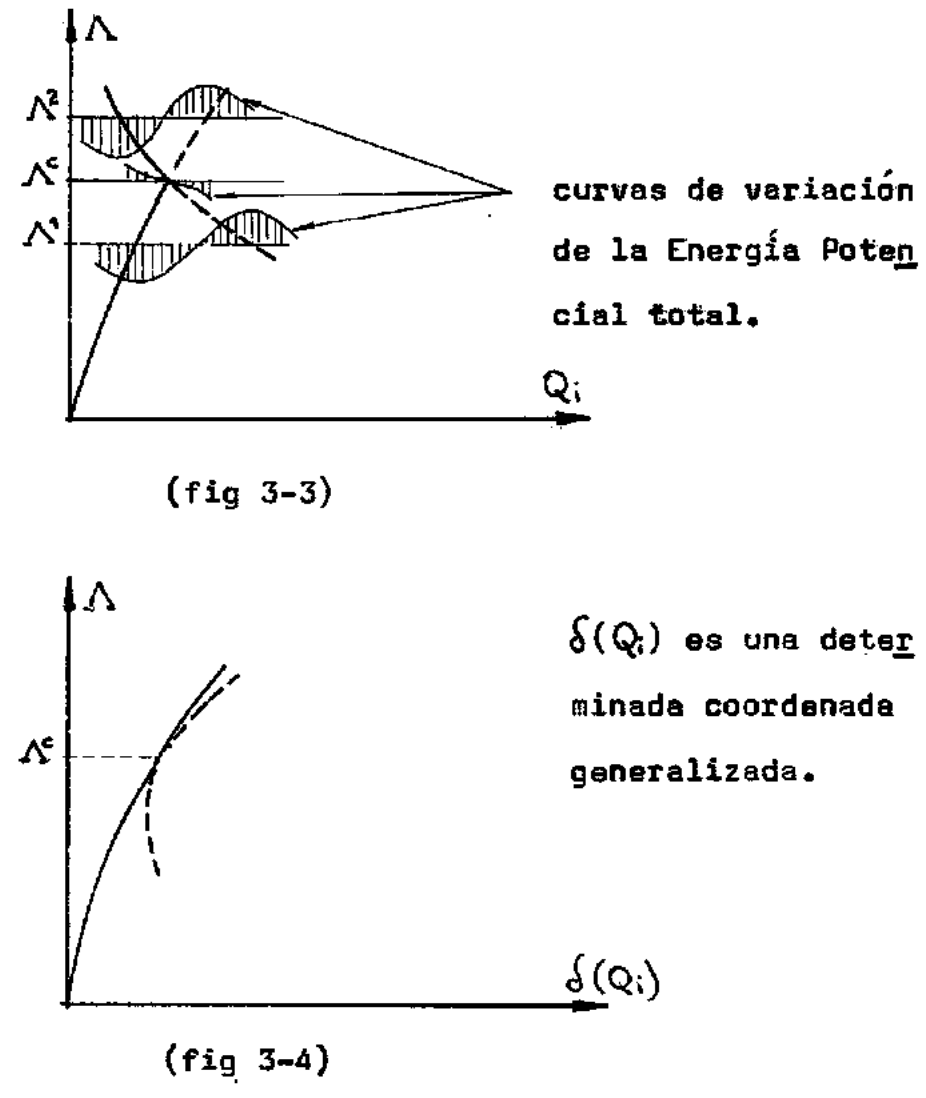
Se muestra en figura 3-2 como varía (relativamente) la energía potencial total $\mathcal{H}\left[Q_{i,\Lambda}\right]$ con respecto a la coordenada Q_{i} , mostrando los valores de mínimo en las ramas estables del camino de equilibrio y de máximo en las inestables, correspondiendo un punto-de inflexión para el valor correspondiente a Λ^{c} . Debe tenerse la precaución de no perder de vista el resto de las coordenadas pues es posible obtener un Λ^{c} menor utilizando otra coordenada (Q_{i}). En elespacio tridimensional, el punto límite puede obser

b) Punto de bifurcación asimétrica: en éste fenómenoexiste intersección de dos caminos de equilibrio:el
que comienza desde el origen de coordenadas (camino
primario) y el que lo intersecta (camino secundario
ó de post buckling) El punto de intersección define
el parámetro de carga crítica A y en él, las pendien
tes de ambos caminos de equilibric son diferentes de
cero.-

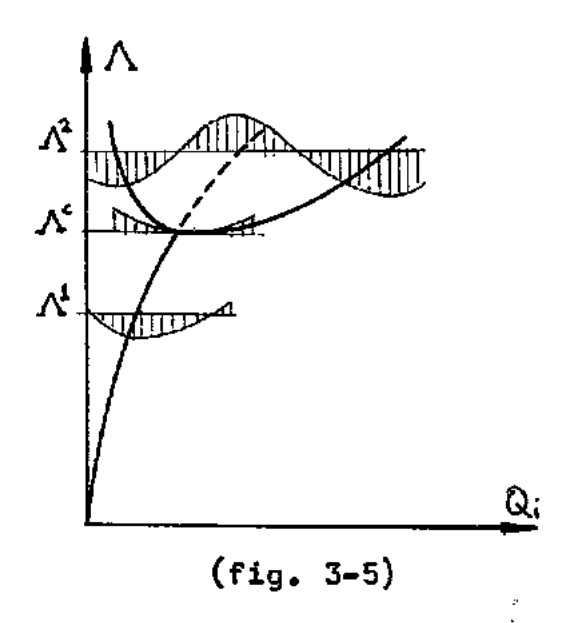
Se muestra en la fig. 3-3 la variación de la energía potencial total respecto de la coordenada Q:--

Idem al caso a cuando se consideran varias coordena das generalizadas, la fig. 3-3 puede observarse en otra forma, (fig 3-4), en que las dos caminos se -- cruzan con una tangencia común.

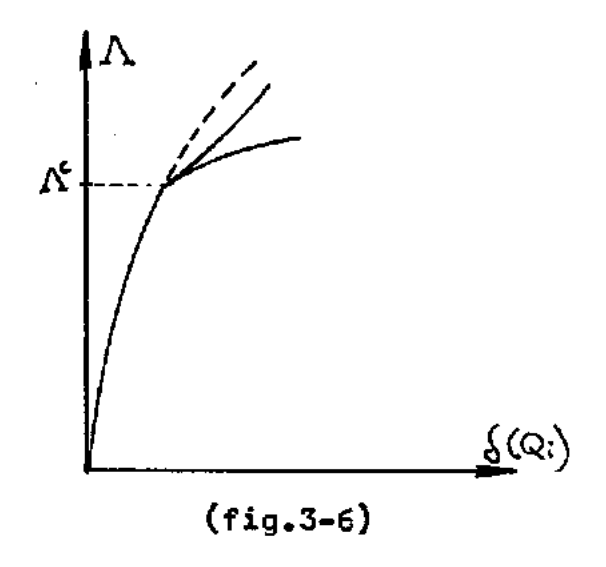
 $S=S(Q_i)$ depende de donde se sitúa el observador. Este caso es poco frecuente, se da en estructuras que presenten simetría rotacional



c) Punto de bifurcación simétrica estable: difiere del caso (b) en que la pendiente del camino secundario es nula en el punto de intersección , mientras que la del camino primario es diferente de cero: Además ambas ramas del camino secundario son estables como se nota en fig 3-5



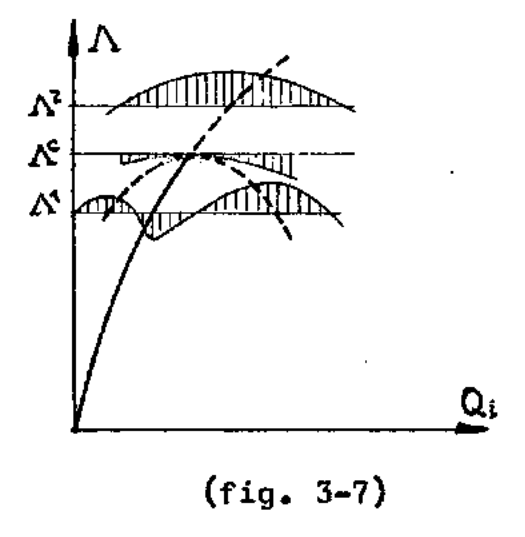
Puede observarse en fig 3-6 cómo vería el presente caso un observador situado en una posición especial



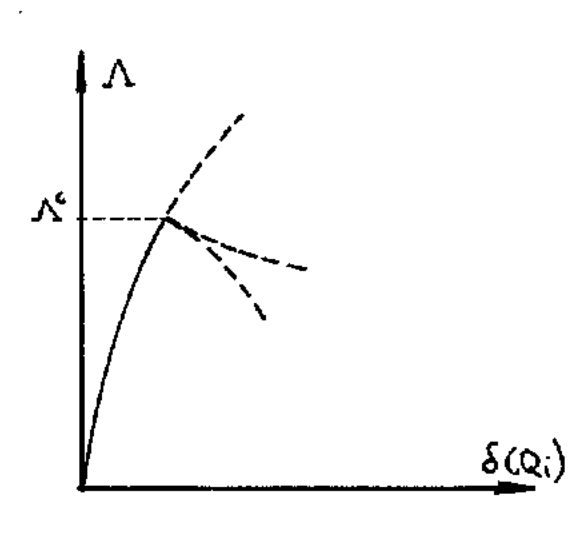
Este fenómeno es más común, (estructuras perfectas) poniéndose de manifiesto en columnas bajo cargas -- centradas, el caso en estudio (inestabilidad la-teral de vigas), estructuras de pórticos simétricos, placas con cargas en su plano, pandeo torsional, etc

d) Punto de bifurcación simétrica inestable: es un fe-

nómeno que difiere de (c) en que las ramas del ca-mino secundario son inestables (fig 3-7)



En fig 3-8 se observa la curva en forma de cúspidedesde una posición especial del observador.



(fig. 3-8)

Se produce éste fenómeno principalmente en cáscaras cilíndricas bajo carga axial, bajo torsión, presión externa, domos rebajados bajo presión externa, etc.

El caso a se produce en estructuras de los tipos (b) y (d) cuando presentan imperfecciones.

Sistemas imperfectos

Los gráficos mostrados en las figuras 2 a 8 no se obtigionen para sistemas reales debido a la influencia de imperfecciones que siempre están presentes (defectos de geometría, imperfección en centrado de cargas, defectos del material etc).

Designando como & a un parámetro de imperfección, (3.

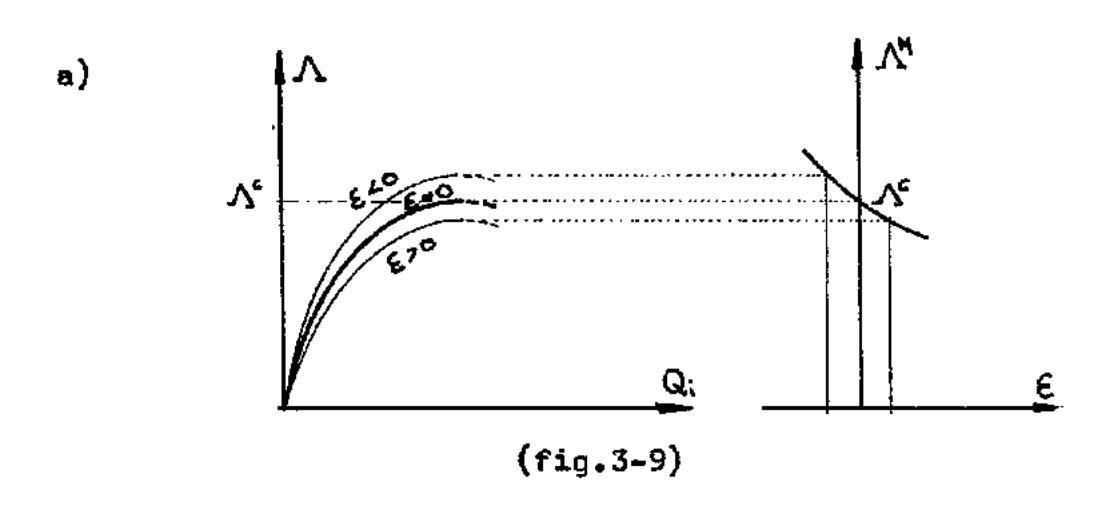
1) se transforma en:

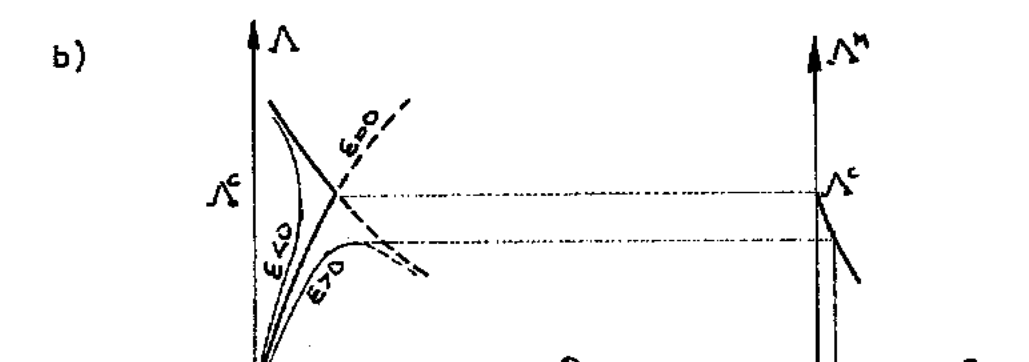
$$\mathfrak{N} = \mathfrak{N}(Q_{i}, \Lambda, \varepsilon)$$
(3.3)

que corresponde a (3.1) para $\xi = 0$

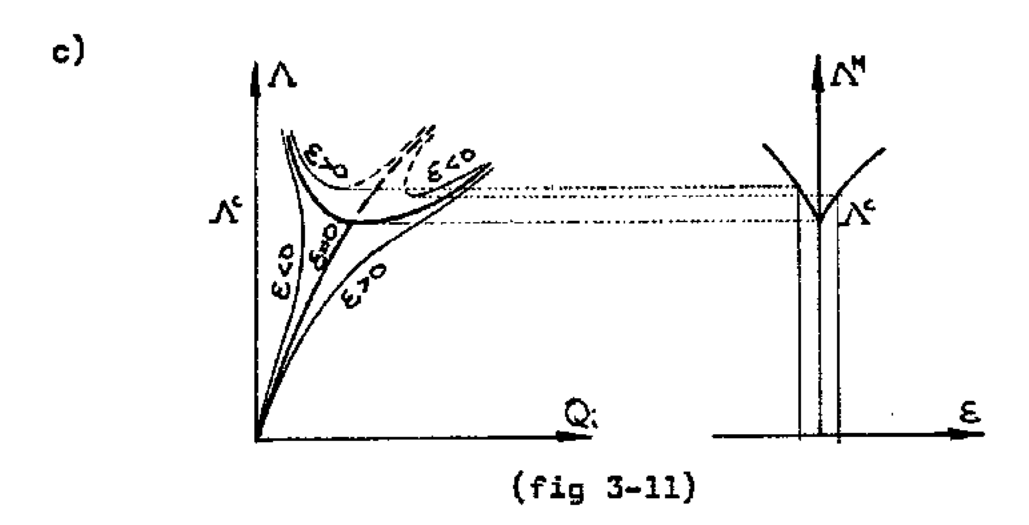
El parámetro ϵ da origen a una familia de curvas que corresponden una a cada valor de la imperfección.

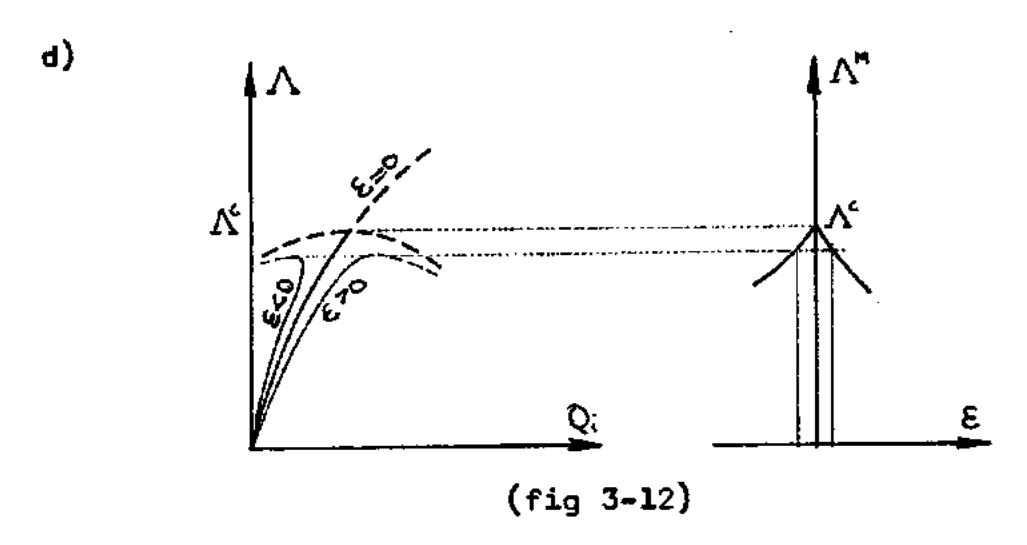
A continuación se trazan los gráficos correspondientesa (a) a (d) junto con las curvas de $\mathcal{E} \neq \mathcal{O}$





(fig 3-10)





Se ve que el efecto de las imperfecciones es relativamente poco importante en el caso (a), tiene un efecto mayor para(c) pero para grandes deformaciones de éste caso se alcanza lacurva teórica; es de efecto negativo para los casos (b) y (d)

El trazado de los gráficos A - E de las figuras (3-9) a (3-12) se efectúa a partir de valores conocidos de la imperfección, en contra la carga de salto que para los casos a,b,d,serán máximas y para el caso c será mínima, utilizandose la carga de salto del camino complementario, concepto que se aclara en capítulo V

3.2- ESTABILIDAD DE EQUILIBRIO

Sistemas perfectos

A partir de (3-1), considerando un incremento desde elestado de equilibrio: $Q_i=Q_i^E+q_i$; $\Pi=\Pi^E+\Psi$

$$\Pi^{E} = \Pi \left[Q_{i}^{E}, \Lambda^{E} \right] \tag{3.4}$$

Desarrollando (3-4) en série de Taylor respecto de las coordenadas generalizadas

con
$$\Pi_i^E q_i = 0$$
 de (3.2)
 $\Pi = \frac{1}{2!} \Pi_{ij}^E q_i q_j + \frac{1}{3!} \Pi_{ijk}^E q_i q_j q_k + \dots$ (3.5)

Se utiliza la convención de sumatoria cuando se encuentran Índices seguidos.

La estabilidad de un estado de equilibrio dependerá de la forma cuadrática siguiente:

$$\mathfrak{N}^{(2)} = \frac{1}{2!} \Pi_{ij}^{E} \mathbf{q}_{i} \mathbf{q}_{j}$$
(3.6)

Es posible analizar la estabilidad del equilibrio en - éste sistema, o en otro que sería el sistema principal, en el que $N^{(2)}$ aparece como una forma diagonal que se lleva a cabo mediante-alguna transformación de ortogonalización no singular $^{(5)}$. Veremos el 2^{do} caso

$$q_i = \alpha_{ij} w_j$$
 con $|\alpha_{ij}| \neq 0$ (3.7)
 $w_i = \beta_{ij} q_i$ $|\beta_{ij}| \neq 0$

la inversa

Introduciendo (3.7) en (3.6) se tendrá

$$\Pi^{(2)} = \frac{1}{2!} \operatorname{Ci} w_i^2$$
Ci son constantes.
(3. §)

Podemos definir una nueva función de energía:

$$D(w_i, \Lambda) = T(Q_i^{\epsilon} + \alpha_{ij} w_j, \Lambda)$$
 (3.9)

$$D(w_i, \Lambda) = D^E + d \tag{3.10}$$

$$\mathcal{D}^{E} \equiv \mathcal{D}(0, \Lambda^{E}) = \mathcal{H}(Q_{i}^{E}, \Lambda^{E}) \tag{3.11}$$

$$d = \frac{1}{2!} D_{ii}^{E} w_{i}^{2} + \frac{1}{3!} D_{ijk}^{E} w_{i} w_{j} w_{k} + \dots$$
 (3.12)

De (3.6) y (3.12)

$$C_i = D_{ii}^E = D_{ii} (o, \Lambda^E)$$

$$|\alpha_{ij}|^2 |\Pi_{ij}^E| = |D_{ij}^E| = C_1 \cdot C_2 \cdot ... \cdot C_n$$
 (3.13)

Las coordenadas w_i y los coeficientes C; juegan un importante rol en la teoría de la estabilidad y se designan como
'coordenadas principales' y ' coeficientes de estabilidad', estando ligados éstos a la estabilidad del sistema:

Si el menor coeficiente de estabilidad es positivo, to dos los demás lo serán y el sistema es estable con respecto a -- las coordenadas principales, y $\hat{\chi}^{(2)}$ es positivo definido.

Si el menor coeficiente de estabilidad es negativo, el estado de equilibrio es inestable con respecto a las coordenadas principales, y $N^{(2)}$ admite valores negativos.

El número de coeficientes de estabilidad negativos define el 'grado de inestabilidad' del sistema.-

Si el menor coeficiente de estabilidad es nulo, el estado de equilibrio es crítico y la forma cuadrática $\Pi^{(2)}$ es positiva- semidefinida ,se tiene que el determinante $\overline{\Pi}(j)$ \circ D_{ij} son

nulos en tal estado (3.13)

Entonces
$$C_{1=0}$$
 $C_{5>0}$ $S\neq 1$ (para todo $s\neq 1$)
$$W_{5}=\beta_{5}, \ q_{i}=0$$

Para sistemas de 2 grados de libertad es posible def<u>i</u>
nir la estabilidad del sistema basándose en los signos de los términos de la diagonal principal y de los menores principales (2)

Tales condiciones serán:

a) sistema estable

$$TI_{11} > 0$$
 ; $TI_{22} > 0$
 $TI_{11} \cdot TI_{22} - TI_{12}^{2} > 0$ (3.12)

b) sistema inestable

cuando alguna de las (a) son violadas

c) sistema con equilibrio crítico

$$T_{11} > 0$$
 ; $T_{22} > 0$
 $T_{11} \cdot T_{22} - T_{12}^2 = 0$ (3.13)

Podemos comenzar el análisis empleando las coordenadas básicas Q_i , determinándose \bigwedge^c con la condición de determinante - nulo, y partiendo de ésta punto analizar la variación de $\overline{\mathbb{N}}$ en los diversos caminos coordenados (casos de bifurcación de caminos de equilibrio)

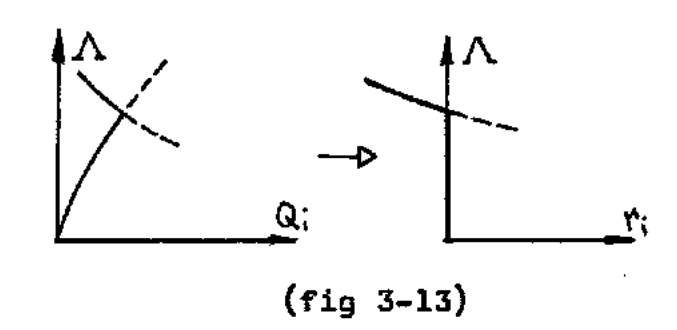
Desarrollaremos Q_i y Λ en función de un parámetro conveniente, que representa el progreso a la largo del camino, haciendo así conveniente el empleo del método de perturbación (2), (10)

$$Q_i = Q_i(\epsilon) \tag{3.14}$$

$$\Lambda = \Lambda (\xi) \tag{3.15}$$

E = parámetro

Si el camino primario es no trivial, es posible efecte tuar una transformación de mapeamiento para llevarlo al camino-trivial.



$$Q_i = Q_i(\varepsilon) + r_i(\varepsilon)$$
 (3.16)

$$T(Q_{i,\Lambda}) = T(Q_{i+r_{i,\Lambda}}) = V(r_{i,\Lambda})$$
(3.17)

Luego será posible desarrollar $\bigvee(r_{i_1} \bigwedge)$ en la misma forma que (3.5) para analizar el camino secundario

Podemos expandir (3.14) y (3.15) en série de Taylor;

$$Q_i(E) = Q_{i,0} + Q_{i,1} \cdot E + \frac{1}{2!} Q_{i,2} E^2 + \dots$$
 (3.18)

$$\Lambda(\mathcal{E}) = \Lambda_{,0} + \Lambda_{,1} \cdot \mathcal{E} + \frac{1}{2!} \Lambda_{,2} \mathcal{E}^{2} + \dots$$
 (3.19)

el significado de los términos es el siguiente:

$$Q_{i_1 s} = \frac{D^s Q_i}{D E^s} \Big|_{E=0}$$
 (3.20)

$$\Delta_{1S} = \frac{\overline{O}^{S} \Lambda}{\overline{O} E^{S}} \Big|_{S=0}$$
 (3.21)

^{*} Caso trivial es aquel que se satisface con la solución $Q_i = 0$ i = 1,2,... n

De (3.1), introduciendo (3.18) y (3.19) y aplicando la condición (3.2) se tiene:

$$\Pi = \Pi \left[Q_i(\epsilon), \Lambda(\epsilon) \right]$$
(3.22)

$$\mathsf{E}'_{i}(\mathsf{Q}_{i},\Lambda) = \underbrace{\mathfrak{II}}_{\mathsf{DQ}_{i}}[\mathsf{Q}_{i}(\xi),\Lambda(\xi)] = 0 \tag{3.23}$$

La (3.23) define los caminos de equilibrio, uno para cada coordenada generalizada, y válida para todo ϵ .-

Debemos cumplir además les siguientes condiciones

$$\frac{dE'_i}{dE}|_{E=0} = 0 \tag{3.24}$$

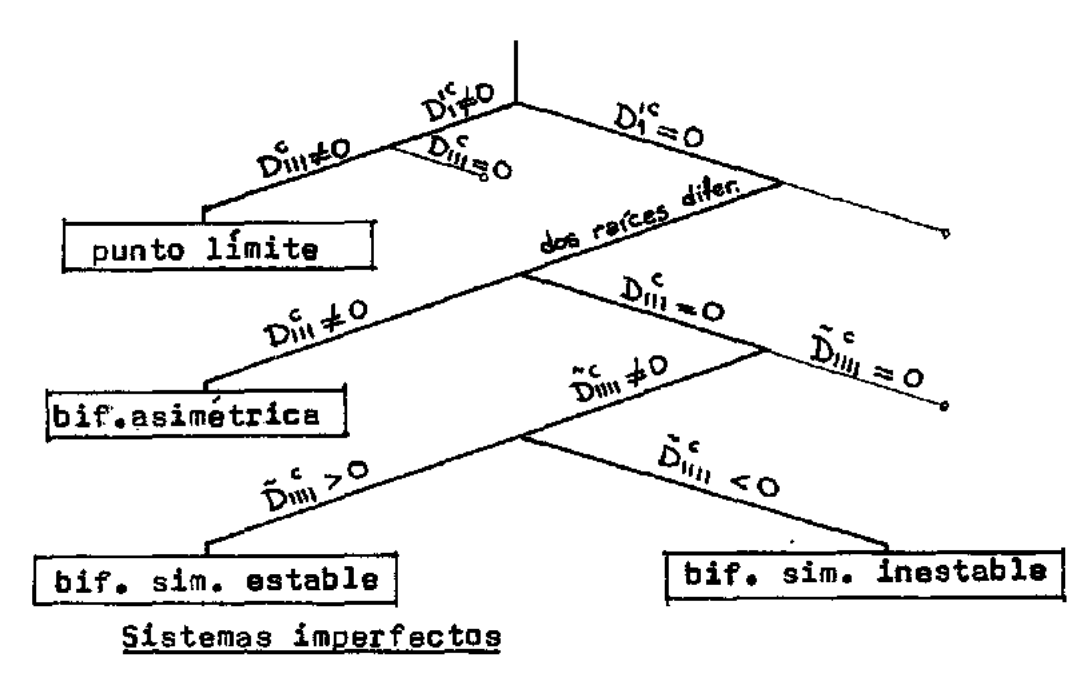
$$\frac{d^{2}E'_{1}}{dE^{2}}|_{E=0} = 0$$
 (3.24')

Se llega así a un sistema de n ecuaciones con (n+1) incógnitas, siendo necesario un valor a & , reduciendose las ine cógnitas a n . Cada sistema (3.24),(3.24'),... es lineal y puede llegarse a la solución por pasos sucesivos de resolución de tales ecuaciones.-

Para camino de equilibrio primerio no trivial se lleva a cabo la transformación de mapeamiento (3.17) y se trata a V en igual forma que a \mathcal{T} . (2)

Es posible continuar învestigando en la línea trazada, para el sistema perfecto los casos de punto límite y birfucación cuando se adopte para & el parámetro de cargas (designado como - sistema especial) o un parámetro cualquiera de deformación (designado como sistema general)

Pueden clasificarse los puntos críticos discretos, a partir del sistema con coordenadas principales; (8) cuando se efectúa el análisis utilizando coordenadas principales:



Es posible llevar a cabo un análisis sobre sistemas imperfectos, derivando como una perturbación del sistema perfecto, planteando:

$$\pi = \pi (Q_i, \Lambda, \epsilon)$$

E = parámetro de imperfección.

Con un análisis similar que para sistemas perfectos , puede desarrollarse ésta teoría y llegar a la determinación de - los gráficos de las fig 3-9 a 3-12, poniendo de manifiesto el comportamiento postcrítico y la influencia de las imperfecciones.-

3.3.- APLICACION AL CASO EN ESTUDIO

Se analiza el sistema perfecto, con coordenados no principales.

Se plantea la energía potencial total (2.15) con $\omega=0$ y considerando los términos no lineales

Las expresiones comunes no lineales para 🔭 y sen y eon

$$V_{\pm} \simeq U_{\pm} \left[1 + \frac{1}{2} U_{\pm}^{2} \right]$$
 (3.26)

$$sen \varphi \cong \varphi - \varphi^3/6 \tag{3.27}$$

Pudiendo adoptarse sen $\varphi = \varphi$ puesto que para un valor de $\varphi = 8^0$, $\varphi^3/6 < 0.4\%$ φ

A efectos de simplificar algo la presentación supon-dremos que $k_3=k_4=0$ y $z_1=z_2=1$

Trabajaremos en coordemadas adimensionales, designados con mayúsculas:

$$U=0/1 \qquad Z=z/1 \qquad \bar{C}=C/E I_y$$

$$\bar{C}_1=C_1/E I_y l^2 \qquad \qquad K_1=k_1 l^3/E I_y$$

$$K_2=k_2 l/E I \qquad \bar{P}_2 P l^2/E I \qquad T=T l/E I_y$$

$$\begin{aligned}
\overline{\Pi} &= \frac{1}{2} \int_{0}^{1} \left\{ U_{xx}^{2} \left[1 + \frac{1}{2} U_{x}^{2} \right]^{2} + \overline{C} \varphi_{x}^{2} + \overline{C}_{1} \varphi_{xx}^{2} - \overline{P} (1 - \overline{I}) U_{2x} \varphi \right\} d\overline{I} \\
&+ \frac{1}{2} K_{1} U_{L}^{2} + \frac{1}{2} K_{2} \varphi_{L}^{2}
\end{aligned} (3.29)$$

Se propone para U y φ las siguientes funciones (a-proximadas a la deformada real)

$$U = Q_1 Z^3 \tag{3.30}$$

$$\varphi = \mathbb{Q}_2 \mathcal{I}^2 \tag{3.31}$$

En este análisis utilizaremos la anterior aproximación con el objeto de obtener el comportamiento postcrítico incipiente pero para un estudio más profundo se deberán adoptar funciones de más grados de libertad.

$$\frac{dU}{dI} = 3Q_{\chi}I^{2} \qquad ; \quad \frac{d^{2}U}{dI^{2}} = 6Q_{\chi}I \qquad (3.32)$$

$$\frac{d\psi}{dI} = 2Q_2I \qquad ; \quad \frac{d^2\psi}{dI^2} = 2Q_2 \qquad (3.33)$$

Reemplazando (3.30) y (3.31),... en (2.29) y no tenien do en cuenta los términos superiores al $4^{\frac{t_0}{2}}$ orden en 0; (i=1,2) se tendra la siguiente expansión:

$$T = \frac{1}{2} \int_{0}^{1} \left\{ 36Q_{1}^{2} I^{2} (1 + 9Q_{1}^{2} I^{4}) + 4\overline{C}Q_{2}^{2} I^{2} + 4\overline{C}_{1}Q_{2}^{2} - 6\overline{P}(1-I)Q_{1}Q_{2}I^{2} \right\} dI + \frac{1}{2} K_{1}Q_{1}^{2} + \frac{1}{2} K_{2}Q_{2}^{2}$$
(3.34)

integrando

$$\Pi = \frac{1}{2} (12 + K_1) Q_1^2 + \frac{1}{2} (\frac{1}{3} \bar{C} + 4 \bar{C}_1 + K_2) Q_2^2 - \frac{3}{10} \bar{P} Q_1 Q_2 + \frac{162}{3} Q_1^4 \qquad (3.35)$$

de (3.5) se puede establecer la correlación de coeficientes, notando que $\Pi_1=0$ y $\Pi_{ijk}=0$

$$TT_{11} = 12 + K_1 ; TT_{12} = -\frac{3}{10} \tilde{P} ; TT_{22} = \frac{4}{3} \tilde{C} + 4 \tilde{C}_1 + K_2$$

$$TT_{11} = \frac{162}{7} \cdot \frac{24}{4!} = \frac{3888}{7}$$
(3.36)

de acuerdo a las características de los términos (8) (3.36) se observa que estamos en un caso de bifurcación ($\Pi i=0$) simétrica ($\Pi ijk=0$) estable ($\Pi ijk=0$).-

Observando (3.35) vemos que se admite la solución trivial ($Q_1=Q_2=0$), no siendo necesario mapear.

Las condiciones (3.12) serán:

a)
$$T_{14} = (12 + K_1) > 0$$

c)
$$T_{11}T_{22} - T_{12}^2 = (12 + K_1)(\frac{1}{4}\overline{C} + 4\overline{C}_1 + K_2) - \frac{9}{400}\overline{P}^2$$

de c , para $\overline{P} > \overline{P}_c$ será inestable
" " $\overline{P} < \overline{P}_c$ " estable

Carga crítica

$$\bar{P}_{c} = \frac{10}{3} \sqrt{(12 + K_1) \cdot (\frac{1}{3}\bar{C} + 4\bar{C}_1 + K_2)}$$
 (3.37)

El análisis de los términos de P_c nos indica que ella crece cuando se tiene resorte de flexión, de torsión, cuando hay rigidez de alabeo

de $\vec{P}_{=}P\vec{l}^{2}/E\vec{l}_{3}$ se observa que a menor longitud y ma yor rigidez \vec{P}_{c} aumenta

Formularemos ahora las ecuaciones (3.22) a (3.24)

$$T = \frac{1}{2} T_{ij} Q_i Q_j + \frac{1}{4!} T_{ijkl} Q_i Q_j Q_k Q_l$$
 (3.38)

$$E'_{i} = \pi_{i} = \pi_{ij} Q_{j} + \sum_{i} \pi_{ijkl} Q_{i}Q_{kl}Q_{l} \qquad (3.39)$$

$$E'_{1} = T I_{1} Q_{1} + T I_{1} Q_{2} + \frac{1}{3} T I_{1} Q_{1}^{3} = 0$$
 (3.40)

$$E'_{2} = \pi_{12}Q_{1} + \pi_{22}Q_{2} = 0$$
 (3.40')

primer secuencia.

$$\frac{dE_{1}^{\prime}}{dE} = \pi_{1} Q_{1,1} + \pi_{12} Q_{2,1} = 0$$
 (3.41)

$$\frac{dE'_{2}}{d\varepsilon} = \pi_{72} Q_{1,1} + \pi_{22} Q_{2,1} = 0$$
 (3.41')

segunda secuencia.

$$\frac{d^{2}E_{1}^{1}}{d\epsilon^{2}} = \pi_{1} Q_{1,2} + \pi_{1} Q_{2,2} + \pi_{1}^{1} P_{1} Q_{2,1} = 0$$
 (3.42)

$$\frac{d\varepsilon^{z}}{d\varepsilon^{z}} = \pi_{12} Q_{1,2} + \pi_{22} Q_{2,2} + \pi_{12} P_{11} Q_{1,1} = 0$$

$$\frac{d\varepsilon^{z}}{d\varepsilon^{z}} = 0$$
(3.42')

tercera secuencia.

$$\frac{d^{3}E_{1}^{1}}{dE^{3}} = \pi_{1} Q_{13} + \pi_{12} Q_{2,3} + \pi_{12} P_{12} Q_{2,1} + \pi_{12} P_{13} Q_{2,2} + \pi_{13} Q_{1,1} = 0$$

$$(3.43)$$

 $\frac{d^3E'_2}{d\,\epsilon^3} = \pi_{AZ}Q_{A,3} + \pi_{ZZ}Q_{2,3} + \pi'_{iZ}P_{iZ}Q_{A,4} + P_{iA}Q_{A,Z} = 0 (3.43')$ Las tres secuencias anteriores nos servirán y son su--

ficientes para los fines esperados.

Como estamos frente a un problema de bifurcación simétrica (estable), adoptaremos como parámetro de perturbación alguno de los Q; , y nunca p (2)

Adoptando: $\mathcal{E} = \mathbb{Q}_1$

resulta: $Q_{4,4} = 1$ $Q_{4,5} = 0$ s>1

De (3.41) para el camino distinto del trivial se tiene: $12+K_1-\frac{3}{40}P_{10}Q_{2,1}=0$

$$-\frac{3}{20}P_{10} + (\frac{1}{3}C + 4C_1 + K_2)Q_{2,1} = 0$$

con $P_{,0} = Pc$ de (3.37) resulta

$$Q_{21} = \sqrt{\frac{12 + K_1}{\frac{1}{3}C + \frac{1}{4}C_1 + K_2}}$$
 (3.44)

de (3.42) resulta: con $Q_{1,2} = 0$ y $Q_{2,1}$ de (3.44)

$$\begin{vmatrix}
-\frac{3}{10}P_{10} & -\frac{3}{10}Q_{2,1} & Q_{2,2} \\
\frac{4}{3}C + 4C_1 + K_2 & -\frac{3}{10} & P_{11} & 0
\end{vmatrix}$$

de donde
$$Q_{2,2} = P_{14} = 0$$
 (3.45)

de (3.43) resulta:

$$\begin{vmatrix} -\frac{3}{4}P_{10} & -\frac{3}{4}Q_{2,1} \\ \frac{4}{3}C + \frac{4}{4}C_{4} + K_{2} & -\frac{3}{40} \end{vmatrix} P_{12} = \begin{vmatrix} -\frac{3888}{7} \\ 0 \end{vmatrix}$$

resolviendo el sistema resulta:

$$Q_{2,3} = 277. \frac{1}{\sqrt{(12+K_1)(\frac{11}{3}C+4C_1+K_2)}}$$
(3.46)

$$P_{12} = 923.3\sqrt{\frac{(\frac{4}{3}C + \frac{1}{4}C_{1} + \frac{1}{4})}{(12 + \frac{1}{4})}} = P_{c}.277\frac{1}{(12 + \frac{1}{4})}$$
 (3.47)

De (3.18) y (3.19), con (3.44) a (3.47) se obtiene

$$Q_1 = U$$

$$Q_2 = \varphi = Q_{2n} \varepsilon + \frac{1}{3!} Q_{2,3} \varepsilon^3$$

$$\varphi = \sqrt{\frac{12 + K_{1}}{\frac{1}{3}C + L_{1}C_{1} + K_{2}}} \left[U + \frac{L_{1}G_{1}3}{(12 + K_{1})} U^{2} \right]$$

$$\bar{P} = P_{10} + \frac{1}{2} P_{12}$$

$$\bar{P} = 1 + \frac{138_{1}8}{(12 + K_{1})} U^{2}$$

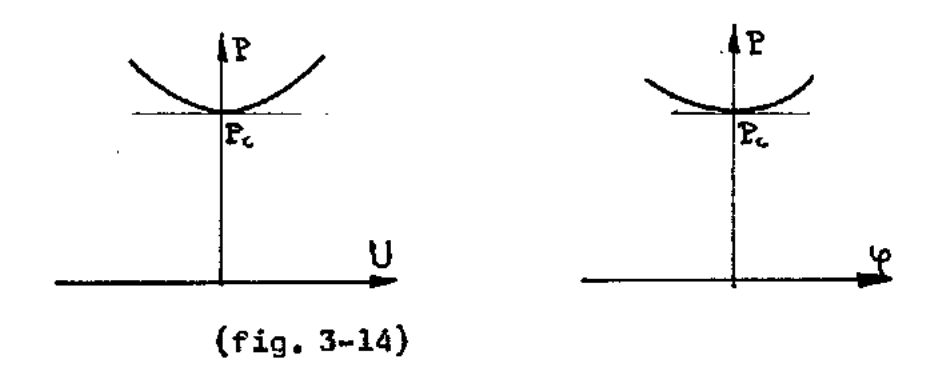
$$U = \sqrt{\frac{(12 + K_{1})}{138_{1}8}} \left(\frac{\bar{P}}{\bar{E}} - 1 \right)$$

$$\varphi = (12 + K_{1}) \sqrt{\frac{(\bar{P} - 1)}{138_{1}8}} \left(\frac{\bar{P}}{\bar{E}} - 1 \right)$$

$$(3.48)$$

Las (3.48) y (3.49) son válidas para valores de P/Pc>1. Es posible trazar gráficos relativos en coordenadas P - U y P - φ , dendo curvas de la forma de la figura 3-14

(3.49)



C A P I T U L O IV DETERMINACION DE LA CARGA CRITICA TEGRICA

4.1.- GENERALIDADES

Se determinará la carga crítica por minimización funcional (2.15) aplicando dos métodos directos del cálculo de varia ciones: Rayleigh - Ritz y Elementos Finitos.-

Método de Rayleigh - Ritz:con él pueden obtenerse so luciones aproximadas de problemas expresados en forma variacional adoptando para la función solución del problema, la seria propues ta por los autores:

$$f(z) = \phi_{a}(z) + \sum_{i=1}^{n} a_{i} \phi_{i}(z)$$
 (4.1)

donde:

 $\phi_{o}(z) \simeq$ función que satisface las condiciones de contorno -- del problema.

8; = coeficiente a determinar.-

- $\phi_i(\vec{x})$ = funciones coordenadas que sastifacen las siguientescondiciones
 - a) Pertenecen el subespacio de dimensión n.-
 - b) Para cualquier n, deben ser linealmente indepen-dientes.-
 - c) La secuencia $\{\phi_n\}$ debe ser completa.Para el problema planteado suponemos que $\phi_n(x)=0$ y los

à; satisfacen las condiciones de contorno del problema.

Para resolver el problema de existencia y convergencia de la respuesta, puede tratarse el tema considerándolo como el problema de autovalores de un operador lineal en el espacio de Hilbert. (20) Se darán aquí sólo algunas definiciones básicas , en lo que respecta al referido espacio:

Un conjunto S de elementos o,v,... es llamado espa-cio Hilbert si se cumplen las siguientes propiedades:

propiedad l

El conjunto S de elementos v, v, w, ... es llamado es pacio lineal, si se cumplen las siguientes propiedades

Con
$$v, v, w, \dots \in S$$
 (\in es pertenece)

Con a,b,c,... $\in R$ (R espacio de nú

meros reales)

- 1) U,VES ;(U+V)ES
- 2) la adición es conmutativa u + v = v + u
- 3) " " asociativa u + (v+w) = (u+v) + w
- 4) existe el elemento nulo DES de modo que

- 5) u + (-1)v = u v
- 6) El producto de elementos avu está definido en S: a.u ∈ S
- 7) la multiplicación escalar es distributiva

$$a.(u+v) = au + av$$

 $(a+b).u = au + bu$

8) la multiplicación escalar es asociativa:

9) Existe el elemento identidad , les tal que

propiedad 2

Para los elementos $u, v, w \in S$ existe un número real llamado producto escalar, designado por (u, v), si pasa a real es:

- 1) (a,u,v) = a(u,v)
- 2) (u+v, w) = (u,w) + (v,w)
- 3) (u,v) = (v,u)
- 4) (u,u) > 0 si $u \neq 0$ $(u,u) = ||u||^2$ es el cuadrado de la 'norma' de u.

La norma de u cumple las siguientes propiedades:

- 1) $\|u\| > 0$ con exerción de u = 0
- 2) ||u||=0 si y sólo si u = 0
- 3) ||a.u|| = |a|.||u||
- 4) ||u+v||| u || + || v || llamada desigualdad del triangulo.

propiedad 3

Si S es de dimensión infinita, existe un conjunto de n elementos linealmente independientes ($u_1,\ u_2,\ \dots u_n$) tal que

$$a_1 u_1 + a_2 u_2 + \dots + a_n u_n = 0$$
 si y sólo si $a_1 = a_2 = \dots + a_n = 0$

propiedad 4

S es completo , de modo que cada secuencia Cauchy en 5 converge a un elemento de S :

$$u_1, u_2, \dots u_n \in S$$
 $u_1, u_2, \dots u_n = \{u_n\}$
 $\lim \|u_m - u_n\| = 0$
 $n, m \to \infty$

entonces existe en S un elemento u tal que

 $\lim \|u - u_n\| = 0$
 $n \to \infty$

propiedad 5

S es separable, lo que significa decir que existe una secuencia de elementos en S de modo que cualquiera sea ella es densa en S, o sea que si existe la secuencia $\{u_n\}$ tal que para algún $v \in S$ y un $\varepsilon > 0$, tendremos que $\|u_n - v\| < \varepsilon$ para alguno de los u_n en la secuencia $\{u_n\}$

Para problemas de autóvalores, es común calcularlospara las secuencias correspondientes a 1,2,...n términos de
las expansiones (4.1) y llevar a cabo una comparación de los mismos para las diversas secuencias:

dando en general la convergencia siguiente:

Llamando con λ a los autovalores, se tiene:

La convergencia del método depende en gran medida de la elección de las funciones coordenadas, porque ocurre que puede -- tenderse hacia una solución que difiere de la correcta, (pudiendo ésta hallarse próxima) por deficiencia en la elección de las funciones

(ver figures 6-1 y 6-2)

Se plantean los métodos de Ritz y E. Finitos en común, ya que el último puede tratarse como una subclase del primero, siendo válido todo lo anterior, restringiendo el número de términos en las expansiones de acuerdo al número de parámetros nodales que se adopten. En éste caso, el número de autovalores obtenido dependerá del número de elementos y la convergencia no puede tratarse en la misma forma esquematizada arriba para el método de ---Ritz.

4.2- PLANTEO COMUN

Bajo un planteamiento común a los métodos de R.Ritz y E. Finitos ,formularemos el problema, utilizando la nomenclatura vectorial y funciones adimensionales : $U = u/l_1$, $Z = z/l_1 don de <math>l_1$ es el largo del dominio (dimensional)

Sea entonces el dominio de definición del problema el intervalo [0-1]

Adoptaremos para U y γ las siguientes expresiones:

$$U(Z) = \mathbf{a}_{\mathsf{H}}^{\mathsf{T}} \mathsf{Y}_{\mathsf{H}}(Z) \tag{4.3}$$

$$\Psi \left(\mathcal{I} \right) = b_{\mathsf{h}}^{\mathsf{T}} \phi_{\mathsf{h}} \left(\mathcal{I} \right) \tag{4.4}$$

Podemos derivar(4.3) y (4.4) las veces que sea neces<u>a</u>
rio, teniendo en cuenta que a_N y b_N son parámetros. La N indica 'nodal'. (Extremo de subdominios)

$$U'(\mathcal{I}) = \mathbf{a}_{\mathsf{N}}^{\mathsf{T}} \mathbf{\chi}_{\mathsf{N}}^{\mathsf{I}}(\mathcal{I}) \tag{4.3}$$

$$U''(\vec{x}) = \tilde{\mathbf{a}}_{\mathbf{h}}^{\mathsf{H}} \chi_{\mathbf{h}}^{\mathsf{H}}(\vec{x}) \tag{4.3"}$$

$$\varphi'(\vec{x}) = \vec{b}_{\mathsf{H}}^{\mathsf{T}} \cdot \vec{\varphi}_{\mathsf{H}}(\vec{x}) \tag{4.4.}$$

$$\varphi^{u}(\mathcal{I}) = \ b_{n}^{\mathsf{T}} \cdot \phi_{n}^{\mathsf{U}}(\mathcal{I}) \tag{4.4"}$$

Reemplazando (4.3,3',3") y (4.4,4',4") en el funcio nal (2.15), se transforma el problema variacional en otro del -cálculo diferencial, que consiste en hallar la combinación lineal de las funciones dados que lleven el problema a ser estacionario:

$$\begin{split} I\left(a,b\right) &= \frac{1}{2}\omega^{2} \int_{b}^{1} \left\{ m \, l_{1}^{3} \, a_{1}^{T} \, \chi_{H} \, \chi_{H}^{T} \, a_{1} + m \, k^{2} \, l_{1} \, b_{1}^{T} \, d_{1} \, d_{1}^{T} \, b_{1}^{T} \, d_{1} + \\ &+ 2 \, m \, y_{3} \, l_{1}^{2} \, a_{1}^{H} \, \chi_{H}^{H} \, d_{1}^{H} \, b_{1}^{H} \, b_{1}^{H} \right\} dI - \frac{1}{2} \int_{0}^{1} \left\{ E_{L_{1}}^{I} \, a_{1}^{T} \, \chi_{H}^{H} \, \chi_{H}^{H} \, \chi_{H}^{H} \, a_{1}^{H} + \\ &+ b_{1} \left[\frac{C}{l_{1}} \, d_{1}^{H} \, d_{1}^{H} + \frac{C_{4}}{l_{1}^{5}} \, d_{1}^{H} \, d_{1}^{H} \, d_{1}^{H} \right] b_{1} \right\} dI + P \, l_{1} \int_{0}^{2\pi} (Z_{1} - I) \, dI + \\ &+ b_{1} \left[\frac{C}{l_{1}} \, d_{1}^{H} \, d_{1}^{H} + \frac{C_{4}}{l_{1}^{5}} \, d_{1}^{H} \, d_{1}^{H} \, d_{1}^{H} \right] b_{1} \right\} dI + P \, l_{1} \int_{0}^{2\pi} (Z_{1} - I) \, dI + \\ &+ b_{1} \left[\frac{C}{l_{1}} \, d_{1}^{H} \, d_{1}^{H} + \frac{C_{4}}{l_{1}^{5}} \, d_{1}^{H} \, d_{1$$

Derivando (4.5) respecto de an y de $b_{\rm M}$, se obtiene el siguiente sistema de ecuaciones:

$$\frac{\partial I(\partial_{n}, b_{n})}{\partial \partial_{n}} = \omega^{2} \int_{0}^{4} m l_{1}^{3} \chi_{n} \chi_{n}^{T} dI \partial_{n} + \omega^{2} \int_{0}^{4} m y_{0} l_{1}^{2} \chi_{n}^{2} \chi_{n}^{T} \chi_{n}^{T} \int_{0}^{2} dI \partial_{n} dI \partial_{n}^{T} dI \partial_{n}^{T} dI \partial_{n}^{T} dI \partial_{n}^{T} \partial_$$

$$\frac{\partial I(a_{1},b_{1})}{\partial b_{1}} = \omega^{2} \int_{b}^{b} m y_{s} l_{s}^{2} \phi_{H} \chi_{s}^{T} dI a_{H} + \omega^{2} \int_{a_{1}}^{b} m k^{2} l_{s}^{2} \phi_{H} \phi_{H}^{T} dI b_{H} - + P l_{s} \int_{b}^{2} (Z_{s} - I) \phi_{H} \chi_{H}^{UT} dI a_{H} + \omega^{2} \int_{a_{1}}^{b} m k^{2} l_{s}^{2} \phi_{H} \phi_{H}^{T} + C_{s} \phi_{H}^{0} \phi_{H}^{0} dI + + k_{2} \phi_{H} \phi_{H}^{T} + k_{H} \phi_{H}^{1} \phi_{H}^{1} dI a_{H} - P \phi_{H} \phi_{H}^{T} + C_{s} \phi_{H}^{0} \phi_{H}^{0} dI + k_{2} \phi_{H} \phi_{H}^{0} + k_{2} \phi_{H}^{0} \phi_{H}^{0} dI - P \phi_{H} \phi_{H}^{0} dI - P \phi_{H}^{0} d$$

Reduciremos (4.6) y (4.7) a la forma matricial.

$$\begin{bmatrix} \tilde{K}_{11} & \tilde{K}_{12} \\ \tilde{K}_{21} & \tilde{K}_{22} \end{bmatrix} \begin{bmatrix} a_n \\ b_n \end{bmatrix} = \omega^2 \begin{bmatrix} \tilde{m}_{11} & \tilde{m}_{12} \\ \tilde{m}_{21} & \tilde{m}_{22} \end{bmatrix} \begin{bmatrix} a_n \\ b_n \end{bmatrix}$$

$$(4.8)$$

$$\tilde{K}.\tilde{g} = \omega^2.\tilde{R}.\tilde{g}$$

$$\tilde{g}^T = \left\{a_n^T b_n^T\right\}$$

Que es la ecuación del sistema generalizado de autova lores ya anunciada en capitulo l

4.3- METODO DE RITZ

El dominio de definición es el largo total de la viga y en éste caso N=1 y $l_{\rm t}=1$

A partir de las ecuaciones anteriores podemos dedu-cir los términos genéricos de las matrices kij y mij, adoptando para X y b la expansión polinómica que satisface la
condición de contorno de empotramiento en el origen.

$$\chi_{n}^{\mathsf{T}} = \left\{ \mathcal{I}^{\mathsf{L}} \quad \mathcal{I}^{\mathsf{S}} \quad \ldots \quad \mathcal{I}^{\mathsf{n}} \right\} \tag{4.10}$$

$$\oint_{\Gamma} = \left\{ \mathcal{I}^{2} \quad \mathcal{I}^{3} \dots \quad \mathcal{I}^{m} \right\} \tag{4.11}$$

Podemos tomar n ≠ m para aproximar mejor a la~solución.-

Los términos genéricos serán.

$$k_{ij}^{n} = \int_{0}^{4} E_{ij} \chi_{i}^{n} \chi_{j}^{n} dI + k_{1} l^{2} \chi_{i}^{2} \chi_{j|z_{1}} + k_{3} \chi_{i}^{2} \chi_{j|z_{3}}^{2}; i,j=1,2,...n \quad (4.12)$$

$$k_{ji}^{21} = k_{ij}^{12} = -P \int_{0}^{Z_{p}} (Z_{p} - Z) \chi_{i}^{11} \phi_{j} dZ$$
; $i=1,2,...n$; $j=1,2,...m$ (4.13)

$$k_{ij}^{22} = \int_{0}^{1} \left(\frac{C}{i} \phi_{i}^{1} \phi_{j}^{1} + \frac{C_{i}}{i^{2}} \phi_{i}^{1} \phi_{j}^{1} \right) dz + k_{2} \phi_{i} \phi_{j|_{Z_{z}}} +$$

$$+ k_4 \phi'_i \phi'_j \Big|_{Z_p} - P \phi_i \phi_j \Big|_{Z_p} \qquad i,j=1,2,...m \qquad (4.14)$$

$$m_{ij}^{n} = \int_{0}^{1} m \, l^{3} \, \chi_{i} \, \chi_{j} \, dI$$
 $i, j = 1, 2, ..., n$ (4.15)

$$m_{ji}^{21} = m_{ij}^{22} = \int_{0}^{1} m y_{o} l^{2} \chi_{i} + j d l^{2}$$
; $i = 1, 2, ... n$; $j = 1, 2, ... m$ (4.16)

$$m_{ij}^{22} = \int_{0}^{1} m k^{2} l \phi_{i} \phi_{j} d\vec{t}$$
; $i,j=1,2,...m$ (4.17)

Para condiciones de contorno diferentes de las plantea das, sería necesario adoptar expansiones del tipo (4.10) y (4.11) de modo que satisfagan las nuevas condiciones, o bien formular - el método en una forma más general, ya sea relajando las condi-- ciones de contorno (11) o formulando el problema de modo de poder- imponer tales condiciones (12).

En caso de discontinuidad en el interior del dominio (
diferentes materiales, diferentes expesores, etc) se impone la formulación del funcional relajado en las condiciones de contorno, de modo se satisfagan las condiciones de Wiertrass - Erdmann
(11)

4.4- METODO DE ELEMENTOS FINITOS

El dominio de definición en la formulación común es el largo del elemento, $l_j = l_1$ y en este caso N=2 Hipótesis de partida. (7):

- a) Se divide el dominio de definición (total) en subdominios.
- b) Se supone que los extremos de los elementos puedeninterconectarse, tomando los desplazamientos genera lizados en los extremos como incognitas del problema, en el grado que sea necesario en el funcional.
- c) Se admite que el desplazamiento generalizado en el interior de un elemento puede definirse univocamente función de las incógnitas nodales.

Para este problema, interesa asegurar la continuidad en las funciones y en sus derivadas primeras (un grado menor de la que aparece en el funcional) con el objeto de poder interconectar elementos.-

Entonces las expansiones (4.10) y (4.11) están limitadas, y las incógnitas pasan a ser ahora las siguientes:

$$\mathbf{a}_{\mathsf{N}}^{\mathsf{T}} = \{ \mathsf{U}_{\mathsf{N}} \; \mathsf{U}_{\mathsf{N}}^{\mathsf{T}} \} \tag{4.18}$$

$$b_n^T = \{ \psi_n \ \psi_n^I \} \tag{4.19}$$

entonces:

$$U(Z) = U_{N}^{sT} X_{N}^{s} = \{ U_{1} U_{1}^{s} U_{2} U_{2}^{s} \} \begin{bmatrix} y_{1}^{s} \\ y_{1}^{s} \\ y_{2}^{s} \\ y_{2}^{s} \end{bmatrix}$$
(4.20)

$$\varphi(\vec{z}) = \varphi_{N}^{ST} \cdot \varphi_{N}^{S} = \left\{ \varphi_{i} \quad \varphi_{i}^{i} \quad \varphi_{z} \quad \varphi_{z}^{i} \right\} \cdot \begin{bmatrix} \varphi_{i}^{o} \\ \varphi_{i}^{o} \\ \varphi_{z}^{o} \\ \varphi_{z}^{o} \end{bmatrix}$$
(4.21)

Las funciones χ_N^s y ϕ_N^r se designan funciones de interpolación , y pueden ser determinadas a partir de (4.20) y (4.21) admitiendo un polinomio de 3^{er} grado para las funciones U y φ , que adquieren los valores nodales para Z=0 ó 1 .

Llevando a cabo tal proceso se llega a los polinomios de Hermite de 3 $^{\rm er}$ grado para U y $\phi_{\rm c}$

$$\chi_{H} = \phi_{H} = M_{N} = \begin{bmatrix} \chi_{1}^{\circ} \\ \chi_{1}^{\circ} \\ \chi_{2}^{\circ} \\ \chi_{2}^{\circ} \end{bmatrix} = \begin{bmatrix} \phi_{1}^{\circ} \\ \phi_{1}^{\circ} \\ \phi_{2}^{\circ} \\ \phi_{2}^{\circ} \end{bmatrix} = \begin{bmatrix} N_{1}^{\circ} \\ N_{1}^{\circ} \\ N_{2}^{\circ} \\ N_{2}^{\circ} \end{bmatrix} = \begin{bmatrix} 1 - 3Z^{2} + 2Z^{3} \\ Z - 2Z^{2} + Z^{3} \\ 3Z^{2} - 2Z^{3} \end{bmatrix}$$

$$(4.22)$$

De las (4.6) y (4.7) observamos que son necesarios formar los productos N_n , $N_n^{r \, au}$, donde s,r indican derivada.

Genéricamente se pueden formar las matrices \widetilde{K} ij $_{i}$ y \widetilde{M} ij con el siguiente producto: (i,j=1,2)

Obtenidas las K y M, se procede al reordenamiento de términos de acuerdo a la disposición de las incógnitas por nudos, con el objeto de llevar a cabo el ensamble de elementos.

Por último es necesario imponer condiciones de contorno al problema, anulando términos en filas y columnas de las
matrices, K y M colocando luego el valor l en la diagonal principal de la matriz K, en las filas y columnas que correspondan a
las imposiciones.-

C A P I T U L O V ESTUDIO EXPERIMENTAL

5.1- RESEÑA

Como se expuso en cap. III, de acuerdo al tipo de fenómeno que se tenga para el problema particular, (fig.3-9 a 3-12)
la influencia de las imperfecciones impide obtener la curva delos caminos de equilibrio de la extructura perfecta y por lo -tanto, la carga crítica.-

Existen dos alternativas para la obtención de la misma por vía experimental:

- a).Mediante el trazado de los gráficos mostrados en fig.(3-9) a (3-12)
- b).Mediante el gráfico de Southwell (2),(3)
- El (a) permite además obtener el comportamiento postcrítico real de la pieza, para las imperfecciones de la misma.

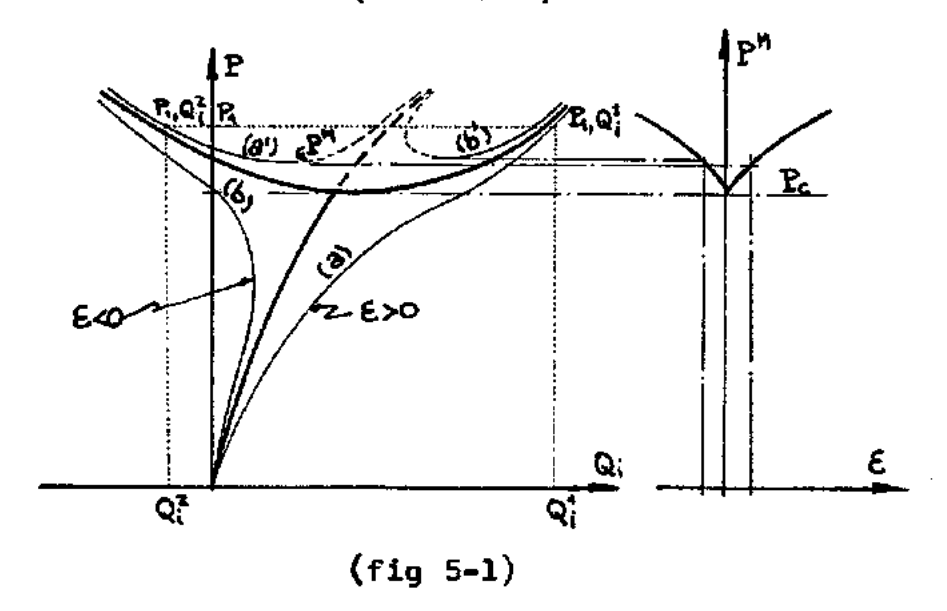
Para el caso en estudio de acuerdo a la fig. (3-11), es necesario utilizar el concepto de camino complementario del camino de equilibrio, que sería el de equilibrio estable para ciertos valores de carga y deformaciones que la estructura sigue en el caso que el experimentador fuerce la estructura a pasar a tal estado.-

5.2- METODOS UTILIZADOS

a. Camino complementario

Supongamos tener una estructura imperfecta, con parámetro de imperfección definido por E, que puede provenir de imperfecciones geométricas, defectos de material, error en el centrado de cargas, etc.

La estructura al ser cargada recorre el camino (a) (fig 51) del caso en estudio (caso $\xi>0$)



Si a un cierto estado (P_1, Q_i^*) se fuerza a la estructura a pasar tal estado curva (a) al estado (P_1, Q_i^2) curva (a^i) que es estable a ese nivel de cargas, cuando se produce la descarga se recorre la curva a' (camino complementario) que es estable hasta un determinado nivel de carga (P^N) correspondiente a la imperfección actual.

Si se descarga aún más, la estructura salta de la curva (a') a la (a) que es estable, recorriendo ésta por el mismo camino que al cargar.-

Tomando varias imperfecciones y determinando para cada una de ellas el P^M correspondiente, se puede trazae el gráfico - P^M - $\mathcal E$ (fig5-1) cuyo vértice agudo define la carga crítica.

El comportamiento postcrítico se pone de manifiesto de acuerdo a la familia de curvas genéricas (a) y (b) obtenidas para diversos valores de &.

La influencia de las imperfecciones produce efectos similares (curvas del mismo tipo) cuando ellas actúan individual-mente (2) siendo válido entonces observar el comportamiento postcrítico para las imperfecciones combinadas.

Un parámetro & de imperfección conveniente puede ser - la exentricidad en la carga.-

b. Gráfico de Southwell.

Un método para determinar la carga crítica de una es-tructura que tiene imperfecciones fué sugerido por Southwell.

Suponiendo que \mathcal{E} englobe todas las imperfecciones, y estando en el rango de deformaciones lineales, se puede observar que se cumple la ecuación aproximada $\delta = \mathcal{E}/(1-p)$ (5.1)

Donde δ es un parametro de deformación de la estructura perfecta; y $\rho = P/P_c$

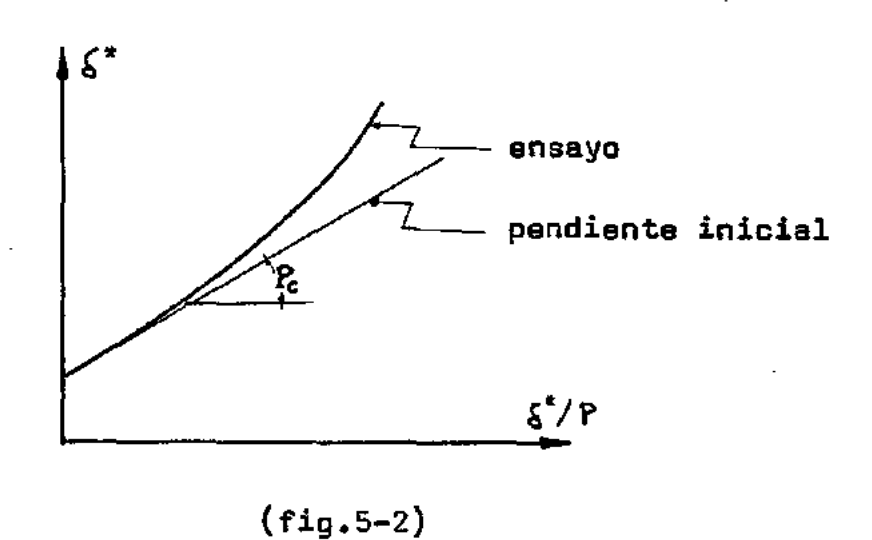
Designando por δ^* al parámetro de deformación que se m<u>i</u> de a partir del estado descargado imperfecto:

esta curva puede determinarse teoricamente, ver referencias (2), (8)

$$\delta = \delta^{*} + E$$

 $\delta^{*} + E = E/(1-p)$.: $\delta^{*} = E.p/(1-p)$
 $(1-p)\delta^{*} = E.p$
 $\delta^{*} = p.\delta^{*} + E.p$
 $\delta^{*} = p.\delta^{*} - E$; con $p = P/P_{c}$
 $\delta^{*} = P_{c}(\frac{\delta^{*}}{p}) - E$ (5.2)

La (5.2) resulta ser la ecuación de una recta de pendiente igual a Pc, y que puede obtenerse a partir de los resultados de los ensayos, con el S medido para el correspondiente P, resultando la recta de pendiente inicial en el gráfico no lineal S S P .- El valor de la ordenada donde ella corta al eje S (fig. 5-2) será el valor de la imperfeccióm equivalente combinada E .-



Para la estructura estudiada, debido a su poca deformabilidad al inicio del ensayo e impresición en los dispositi-vos de lectura para tales deformaciones, se hace difícil obtermer valores exactos de 6º al comienzo del mismo (zona lineal) - por lo que el presente método no es aplicable, dando valores en general mayores que los de P_C, siendo mas aplicablesen ensayosen que la pieza es más deformable.-

5.3- ENSAYOS

Se llevaron a cabo ensayos sobre vigas de acero de sección rectangular, dispuestas en forma aislada ó vinculadas entre ellas tal como se indica a continuación en 'casos ensayados', obteniéndose resultados de deflección del eje de la viga y de rotación para la sección extrema. En todos los casos se aplicó una - carga concentrada en el extremo de una de las vigas.-

Material usado: acero Características: módulo de elasticidad $E=2,1 \cdot 10^5 \cdot tn/dm^2$ " "Poisson J=0,3 densidad $S=0,795 \cdot 10^{-4} \cdot tn.seg^2$ dm4

Dimensiones de las vigas.

Viga Nº	longitud l (dm)	altura h.(dm)	espesor t (dm)	I _y (dm ⁴ .18 ⁻⁶)
1	5,42	0,810	0,0157	0,2760
2	5,42	0,810	0,0155	0,2559
3	5,42	0,795	0,0157	0,2709
4	5,25	1,250	0,0152	0,3658

Denominaciones:

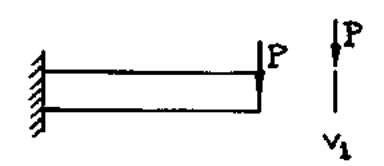
h₁: desplazamiento en vertical del punto de aplicación de P respecto al centro de cizallamiento.-

z_o : posición de P

z; : posición de los resortes k;

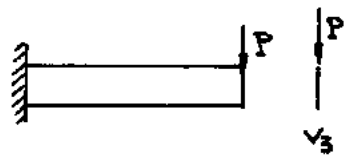
Casos ensayados

Ensayo Nº 1: Viga aislada, con carga casi centrada



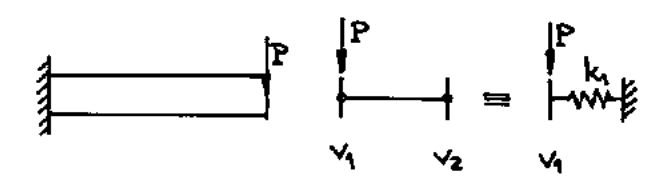
$$h_1 = 0.07dm$$

Ensayo Nº 2: Viga aislada, con carga desplazada hacía arriba del centro de cizallamiento.-



$$h_1 = 0,37dm$$

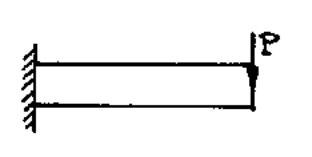
Ensayo Nº 3: Dos vigas vinculadas al centro con elemento total-mente articulado, efecto único de k, carga casi cen treda.-



$$h_{1} = 0.07dm$$

$$k_1 = 0,969 \cdot 10^{-3} \frac{1}{4m}$$

Ensayo Nº 4: idem ensayo Nº 3, con tres vigas vinculadas.-

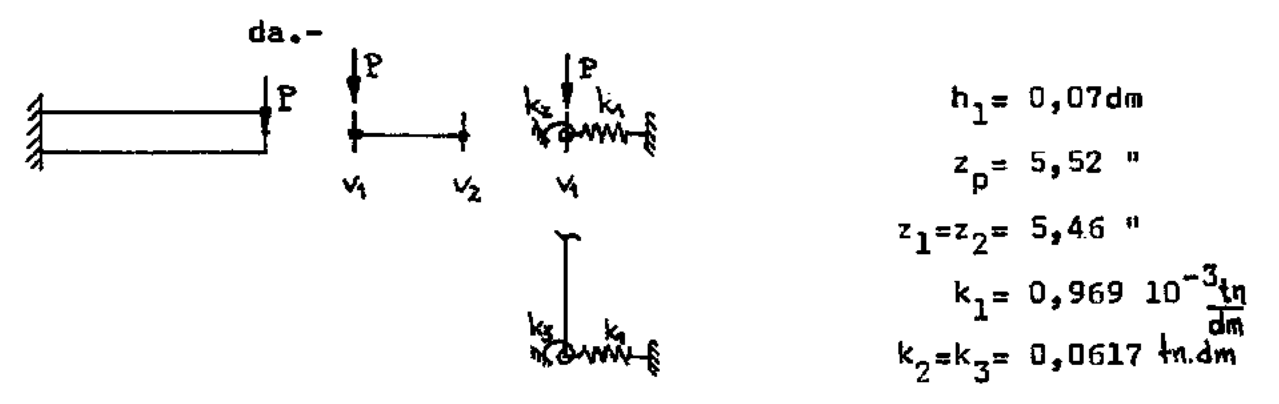


$$h_1 = 0.07dm$$

$$k_1 = 2,039 \cdot 10^{-3} \frac{\text{lm}}{\text{dm}}$$

Ensayo Nº 5: Dos vigas vinculadas al centro con elemento de empo tramiento elástico total en un extremo y articulado

en el otro, efectos de k_1, k_2 y k_3 , carga casi centr<u>a</u>



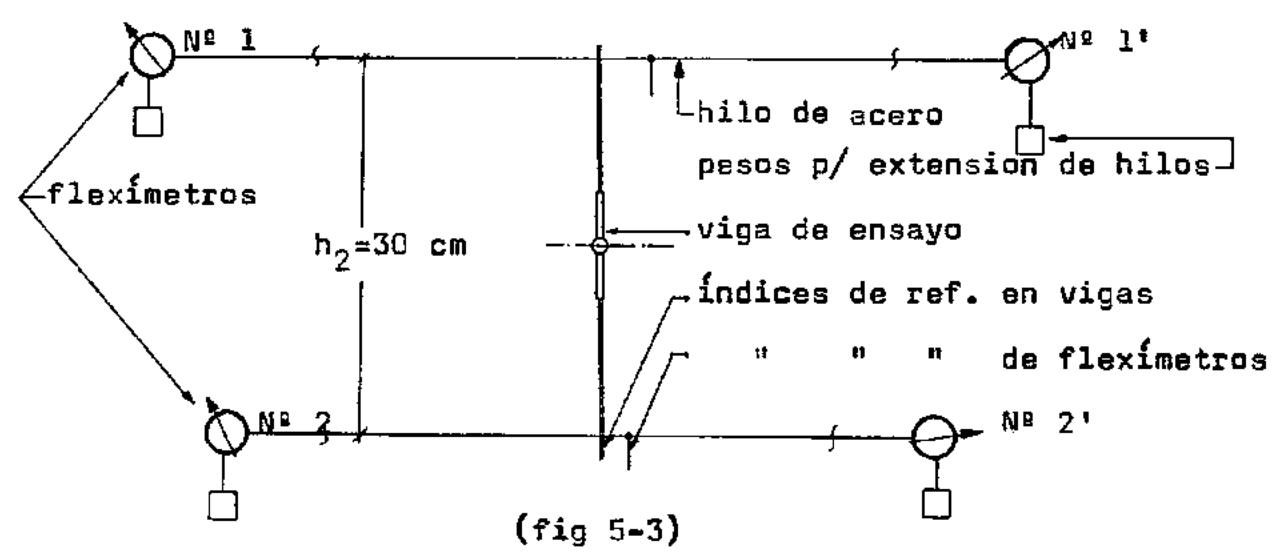
Ensayo Nº6: Idem ensayo Nº1 realizado sobre viga Nº4,que inicia<u>l</u> mente tenía imperfecciones notables en la geometría.

Las fórmulas utilizadas para el cálculo de las k_i son

las siguientes⁽²⁴⁾ $P=k_1 \qquad | \qquad \qquad | \qquad \qquad |$ $| \qquad \qquad | \qquad \qquad | \qquad \qquad | \qquad \qquad |$ $| \qquad \qquad | \qquad \qquad | \qquad \qquad |$ $k_1 = 3EI_v /1^3$ $k_2' = GJ /1$ $k_2 = k_3 = 3EI_v / 1$

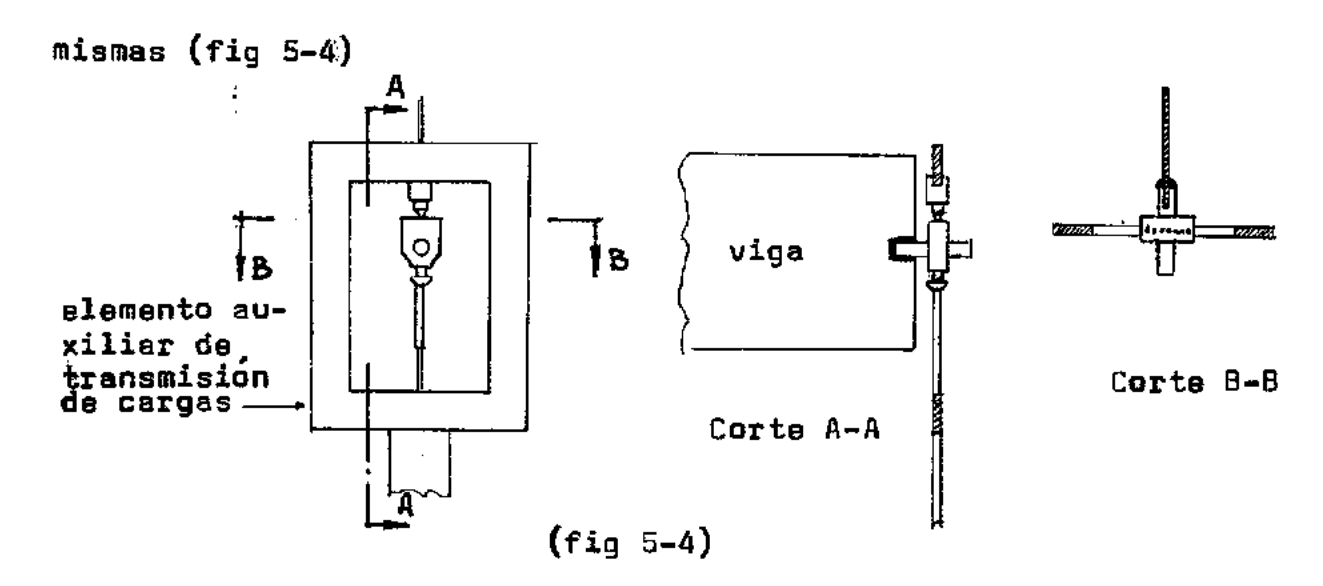
Descripción de los aparatos:

Con los materiales y casos previstos en hoja anterior se llevaron a cabo los ensayos de inestabilidad, empotrando las - vigas en un cuadro de perfiles especialmente diseñado (fotografía Nº 1). En el mismo, se amarraron brazos de fijación de flexímetros con los que se tomaron lecturas de desplazamientos horizontales. Se utilizaron flexímetros de polea, de presición de 0,1mm la quese vió aumentada en las lecturas por la extensión de las referencias de las vigas (fig 5-3), (fotografías).



Se independizó el dispositivo de lectura al de ensayo "(vigas). Para lograr mejor presición en la medida de los desplazamientos, se utilizó un catetómetro (óptico) para ajustar los índices de referencia (flexímetros) con los índices de referencia delas vigas, asegurando por lo menos la presición mencionada.

Para las cargas se utilizaron pesos conocidos, logram do que las mismas fuesen concentradas, mediante un dispositivo có nico que asienta en una pieza que disponía de puntos (o marcas)-- que permite además variar la exentricidad en la aplicación de las



En las fotografías se muestran los dispositivos, disposición de las mismas y figuras que adoptan las vigas al ser ensayadas (ensyos Nº2y5)

Descripción del ensayo: se aplican pesos conocidos y se miden deformaciones horizontales en flexímetros Nº 1 y Nº2(fig 5-3), pudiendo en base a las diferencias de lecturas respecto de la inicial, conocer los desplazamientos (L¹) de los índices de las vigas (encima y debajo). Para el extremo de la viga entoncesse calcula

$$u(1) = [L^{(1)} + L^{(2)}]/2$$

 $\Psi(1) = \text{arc.tg} (L^{(1)} - L^{(2)}) /h_2$

para los diversos ensayos se trazaron únicamente los gráficos de u(l) pues es indicativo del fenómeno de inestabilidad.- $h_{2}= \text{ distancia (vertical) entre índices.}$

Fotografía Nº1. muestra el cuadro de perfiles que sirve de sostén a vigas y brazos de fijación de flexímetros, con la
disposición de éstos (dos de ellos se utilizarosn para tomar medidas, mientras los otros dos sólo complementan con el objeto de lograr un desplazamiento correcto de los índices de flexímetros).

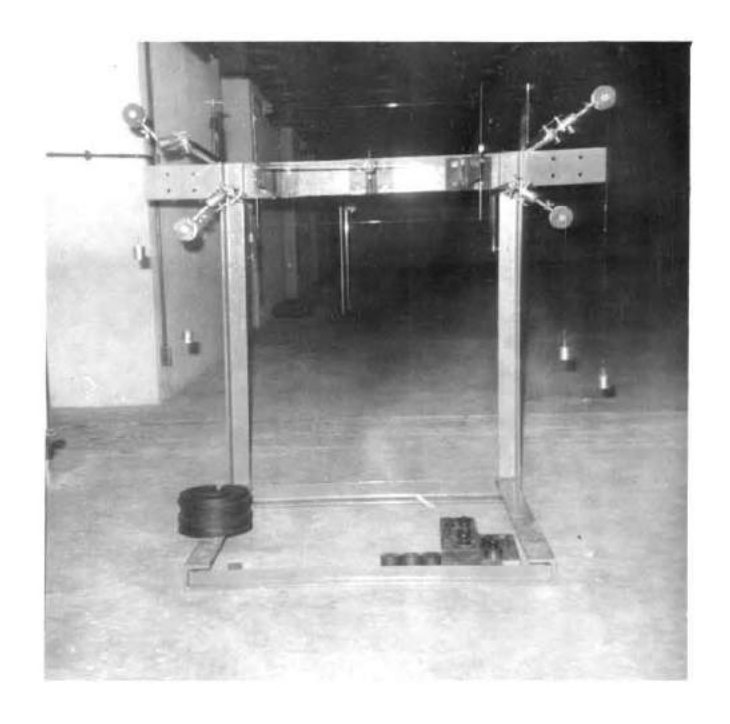
Se observan los pesos utilizados en el ensayo.-

Fotografía Nº2. muestra el elemento auxiliar de tras-misión de carga (a través del cono de asiento) y la figura de deformación del ensayo Nº2. Atrás, el catetómetro óptico utilizado.-

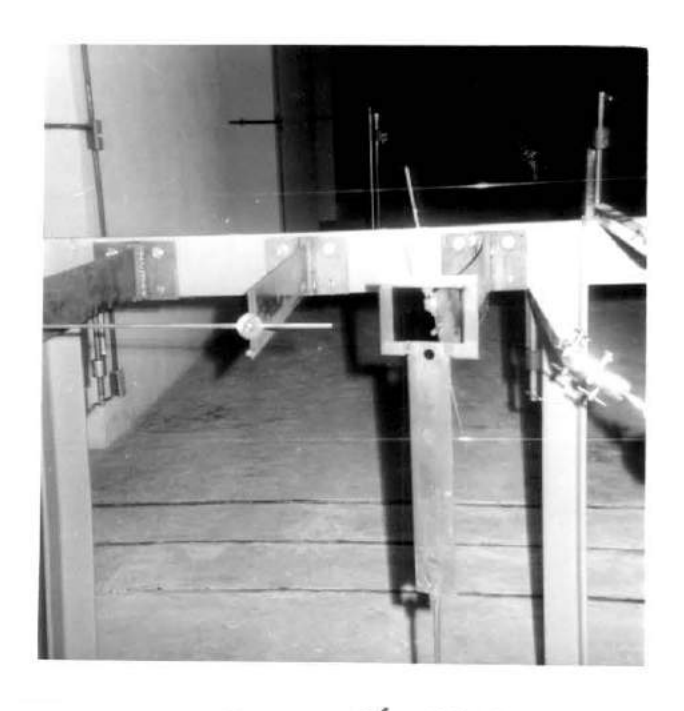
Fotografía Nº3. otra vista del ensayo Nº2, mostrando - el frente de flexímetros, y el plato de carças.

Fotografía Nº44 muestra los Índices de referencias de flexímetros y la figura de deformación del ensayo Nº5

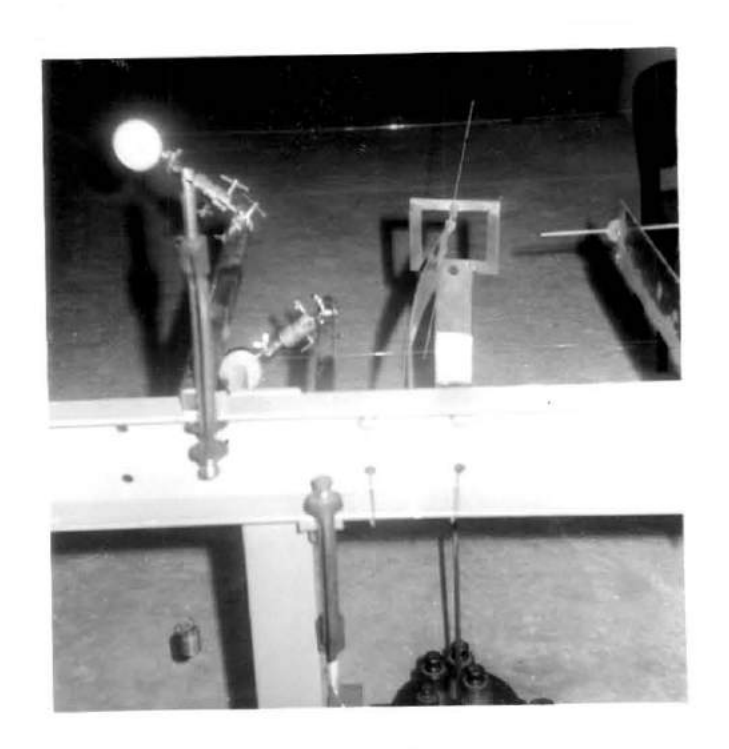
Fotografía Nº5. se vé en ella la figura de deformación del ensayo Nº4, flexímetros, catetómetro, pesos.-



fotografía Nº l



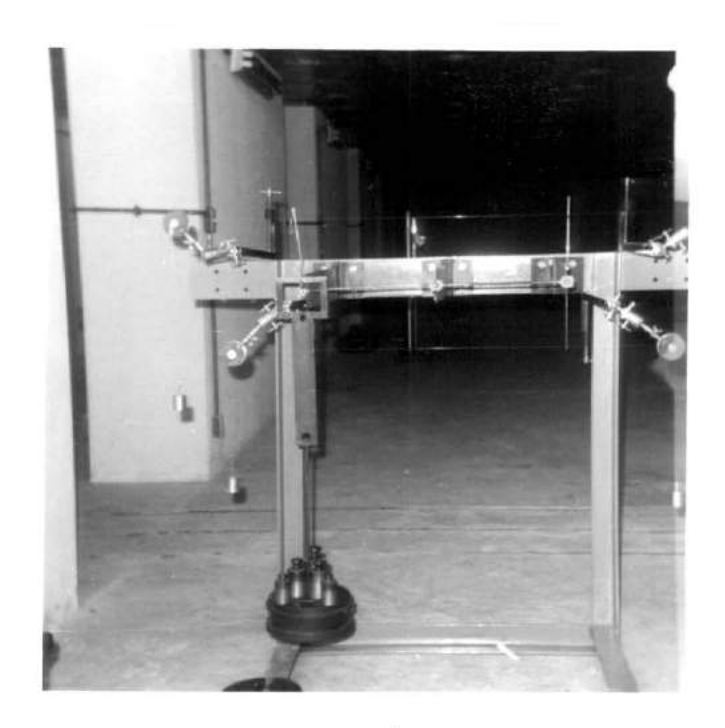
fotografía Nº 2



fotografía Nº 3



fotografía Nº 4



fotografía Nº 5

ANALISIS DE RESULTADOS

6.1.- COMPARACION DE RESULTADOS

Se utilizan los métodos de Ritz y de E. Finitos al caso de una viga de. solución teórica conocida, analizando con ám
bos métodos la convergencia con respecto al valor teórico exacto.

En figura 6-1 se dan resultados de la aplicación del primero al caso de la viga en voladizo (3), graficando: Carga crítica y error versus número total de términos en las expansiones - (n+m). Se trazaron las curvas de variación de P_C para n>m, n=m y n< m y también cuando se mantiene constante el número de términos- en las expansiones para u (n) y se varía el para ψ (m), notando - que es necesario expandir ψ con un número de términos mayor que - para u, siendo que pára éste último es suficiente utilizar n=4 ó 5, con las que para (n+m)>15 se tiene se tiene un error menor que el 1,5%, siempre por valores superiores al exacto.-

El mismo caso fué analizado utilizando el método de-E. Finitos, mostrándose resultados en figura 6-3 en el gráfico : carga crítica-número de elementos. Se limitó el número de elementos a 15, notando que para tal límite se difiere del valor exacto en un 1,57%

Se puede decir que los resultados fueron exelentes para ambos métodos, aunque se esperaba convergencia con menor número de divisiones para el método de E. Finitos.

En figura 6-2 se dan resultados de la aplicación del

Método de Ritz para el caso de la viga en voladizo y restricción lateral, dada por un resorte equivalente a una unión articulada- a otra viga de iguales características, con resultados similares a las de figura 6-1.-

En figuras 6-4 a 6-9 se muestran los resultados experimentales obtenidos de los 6 casos básicos propuestos (5.3) y que se comparan con la teoría aquí desarrollada. En ellos se trazaron las curvas de carga- deformación del extremo (a) y menor carga de salto-exentricidad (b), contentándonos con los gráficos respecto de sólo uno de los parámetros de deformación: u(1), sien do que para el otro: $\psi(1)$ son completamente similares, sobre todo que el valor de $\rho_{\rm C}$ se obtiene independientemente del parámetro de deformación utilizado.-

En las figuras se observa el comportamiento postcrítico para cada caso, notando que la situación más desfavorable - se obtiene al desplazar verticalmente la cargaprespecto al centro de cizallamiento (fig 6-5), siguiendo el de la viga aislada- (fig 6-4); las vinculaciones a otras vigas producen mejoría en - el comportamiento postcrítico, mayor cuanto mayores sean los valores de la rigidez de los resortes, además que el valor de la-carga crítica aumenta.-

La figura 6-9 muestra el caso de la viga aislada - que contaba con deformaciones notables, también con resultados - exelentes.

La asimetría que se observa en fig 6-8 se debe a que aún siendo el esquema inicial (descargado) simétrico, al cargar -

la viga el punto de aplicacióm de la carga baja, y siendo que existe una restricción en le torsión de la viga, induce a uma rota ción de la misma en el extremo tanto mayor cuanto mayoresacarga - (mayor descenso de la carga) que actúa siempre en el mismo sentido, aún de producirse deformaciones transversales grandes (fig 6-10), con $|\psi_o^+|<|\psi_o^-|$, donde ψ_o^+ significa el ángulo de rotación del extremo, inducido para cargas correspondientes a +e ó -e

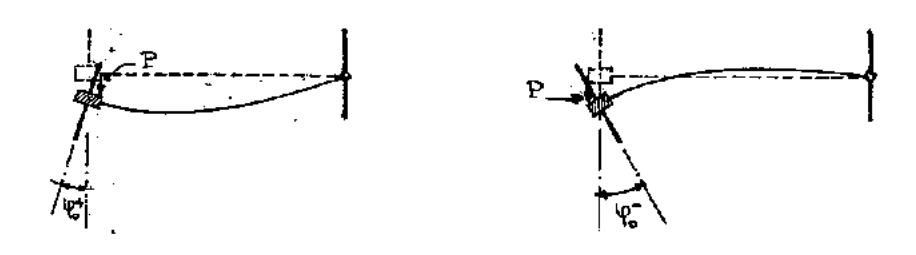


fig 6-10

A pesar de la asimetría, los resultados obtenidos (
teórico y experimental) son coincidentes

Se da a continuación una tabla de comparación de resultados de los métodos de Ritz y experimental, en cuanto que para E. Finitos se dá sólo para el l^{er} caso ensayado. Se refirió el error al valor obtenido en los ensayos.

siendo: PC = cerga crítica teórica según método. PE = n según ensayo.

Método	ah	Ritz
	U 0	11464

Ensayo Nº	D i	m.	PC	₽Ē	Error(%)
1	4	16	9,04	9,00	0,44
11	5	15	11	Ħ	n
2	4	16	8,42	8,30	1,45
n	5	15	8,48	**	2,17
3	4	16	11,00	11,00	G., OO'
19	5	15	11,05	W ₂	0,45
4	4.	16	11,94	11,83	0,93
11	5	15	11,91	11:	0,68
5	5	10	19,87	20,00	0,65
Ħ	5	15	19,86	TI-	0,70
6	4	16	14,46	14,20	1,84
ti	5	15	14,45	u	1,76

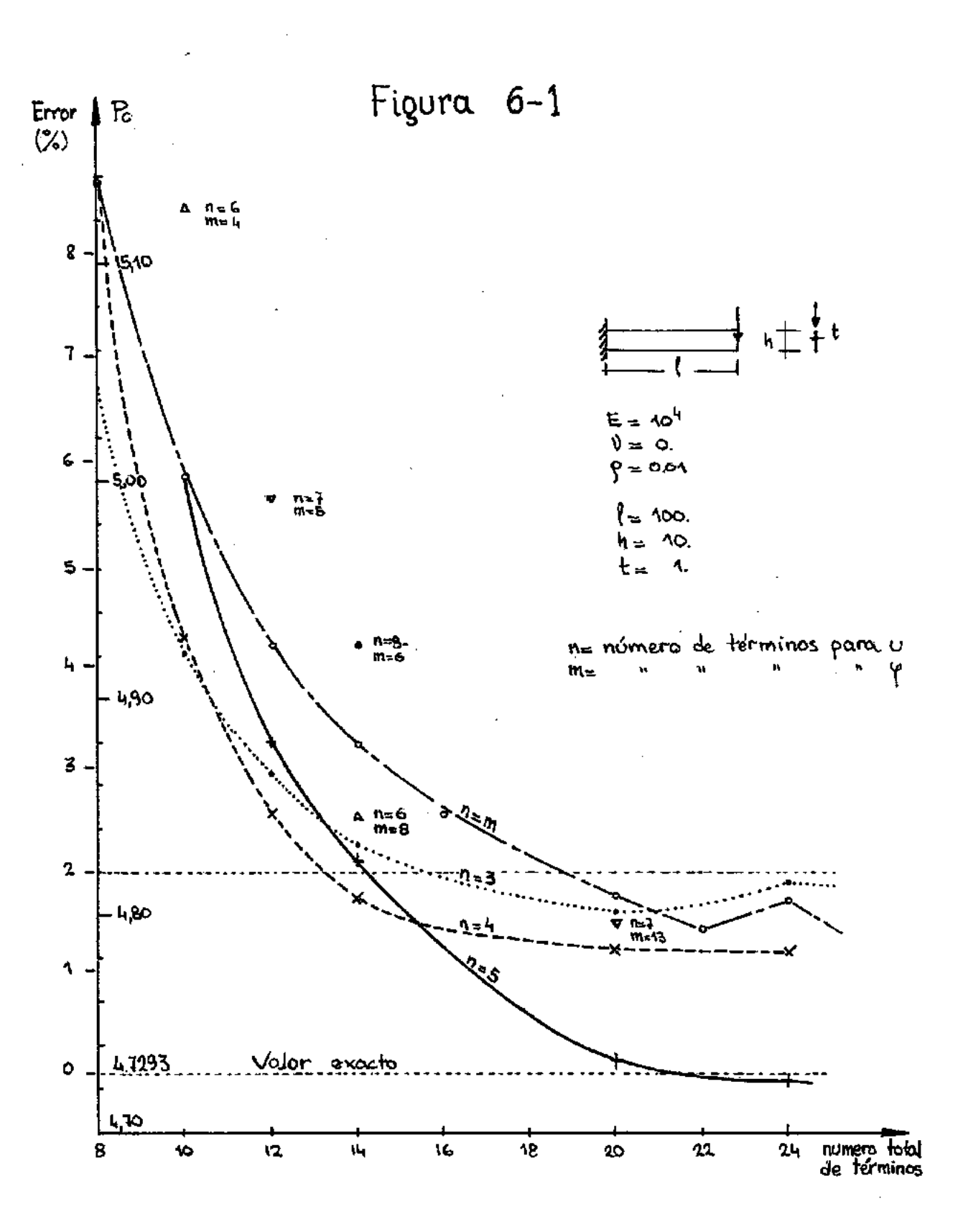
<u>Método de Elementos Finitos</u>

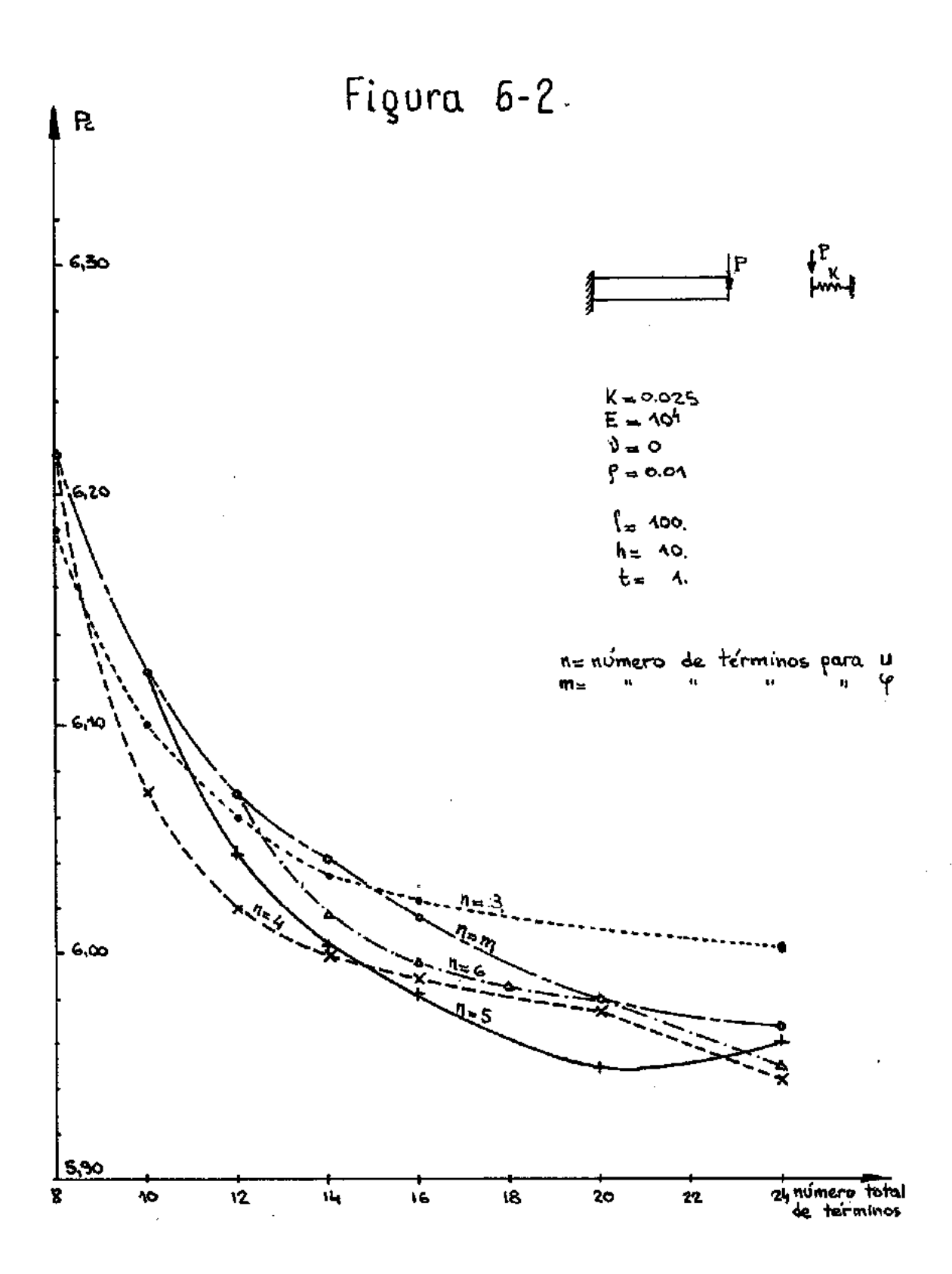
Ensayo Nº	Nº de elemen;	®ą PŪ	řΕ	Error(%)
1	10	9,13	9,00	1,44
11	15	9.07	11	0.78

6.2.- CONCLUSIONES

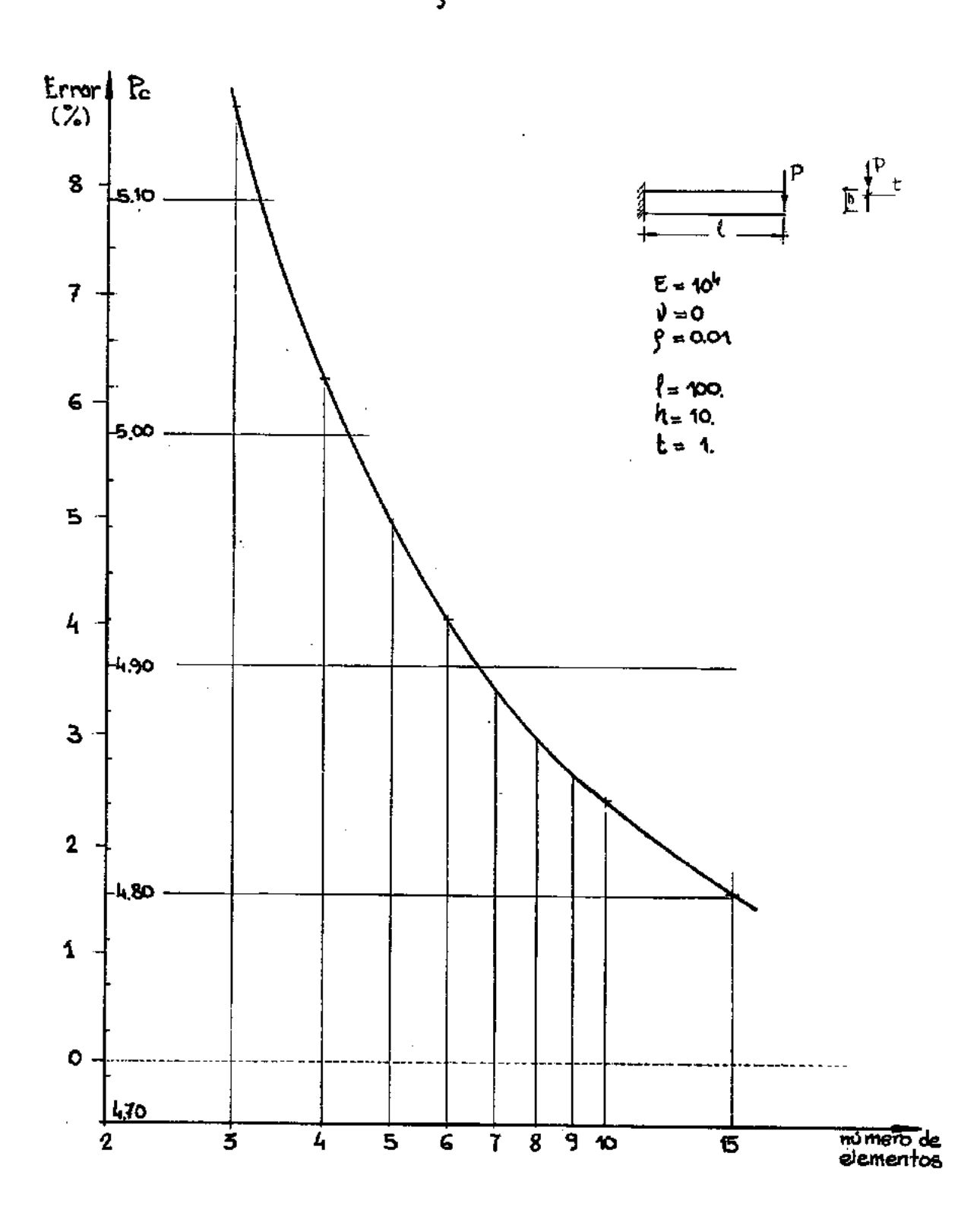
A partir de la tabla dada en 6.1, se observa la coin cidencia de resultados teóricos y experimentales, con lo que se deduce que la teoría es aplicable, y pueden así estudiarse con los métodos propuestos casos más complicados de vinculación de vigas en voladizo ó de otras formas de restricciones (Apéndice 4). Bastará simular los efectos de vinculación por resortes a flexión torsión y desplazamiento. También se aplica a casos en que más de una viga está cargada y cargamentos proporcionales en la misma viga.

A pesar que el método dinámico aquí utilizado no es el ideal a aplicar al problema propuesto (para el caso conservativo es w=0 para la condición de P_c , pudiendo entonces resolver elproblema de autovalores y autovectores con respecto de P_c ecuación (4.5) con $w^2=0$, siendo el menor autovalor el P_c), se desarrolló el mismo con miras a la aplicación a casos no conservativos, bastando modificar las matrices K, \tilde{M} y la corrección de K debido a efectos de P_c

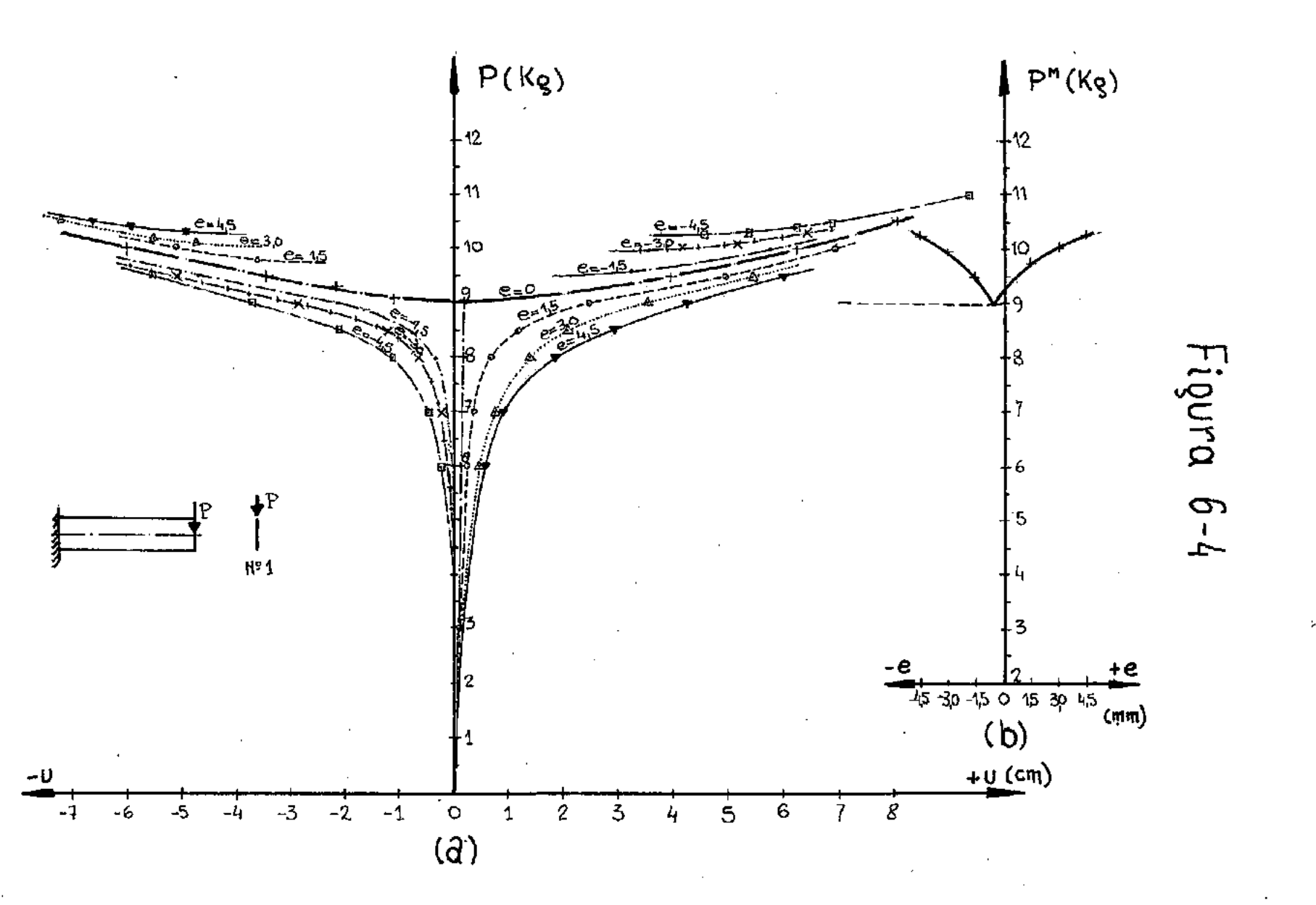


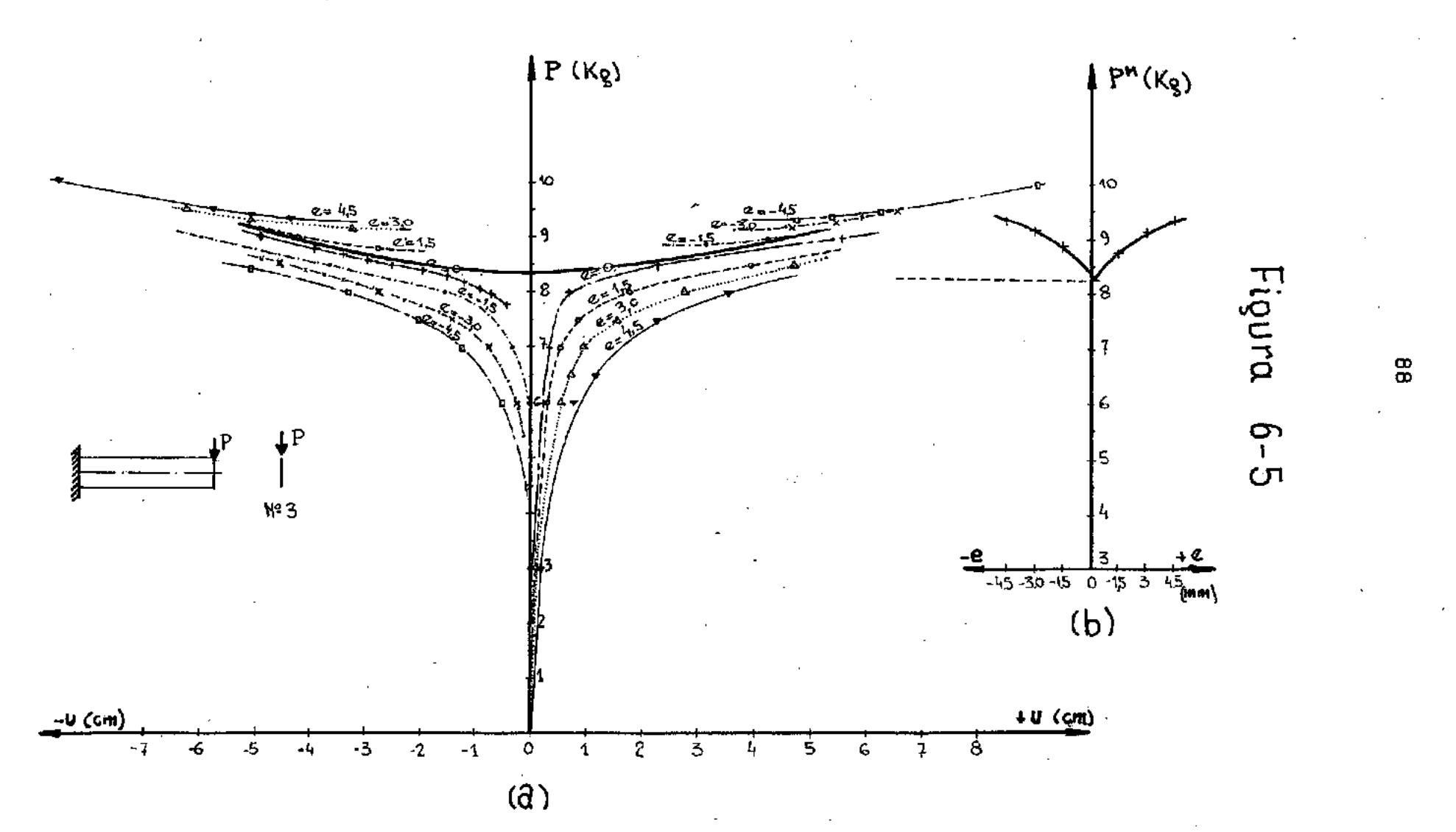


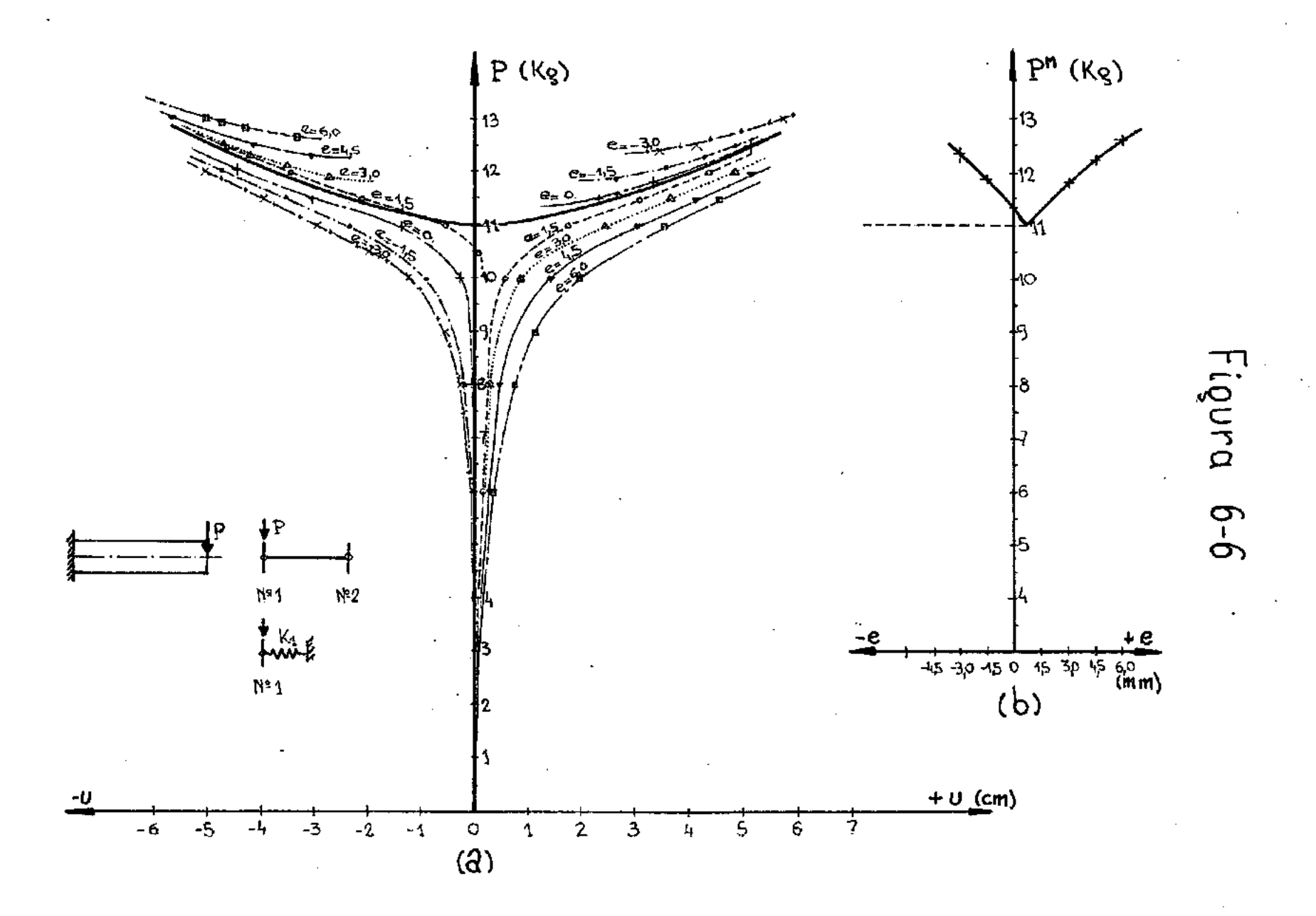
METODO DE ELEMENTOS FINITOS CURVA: CARGA CRITICA - Nº DE ELEMENTOS Figura 6-3

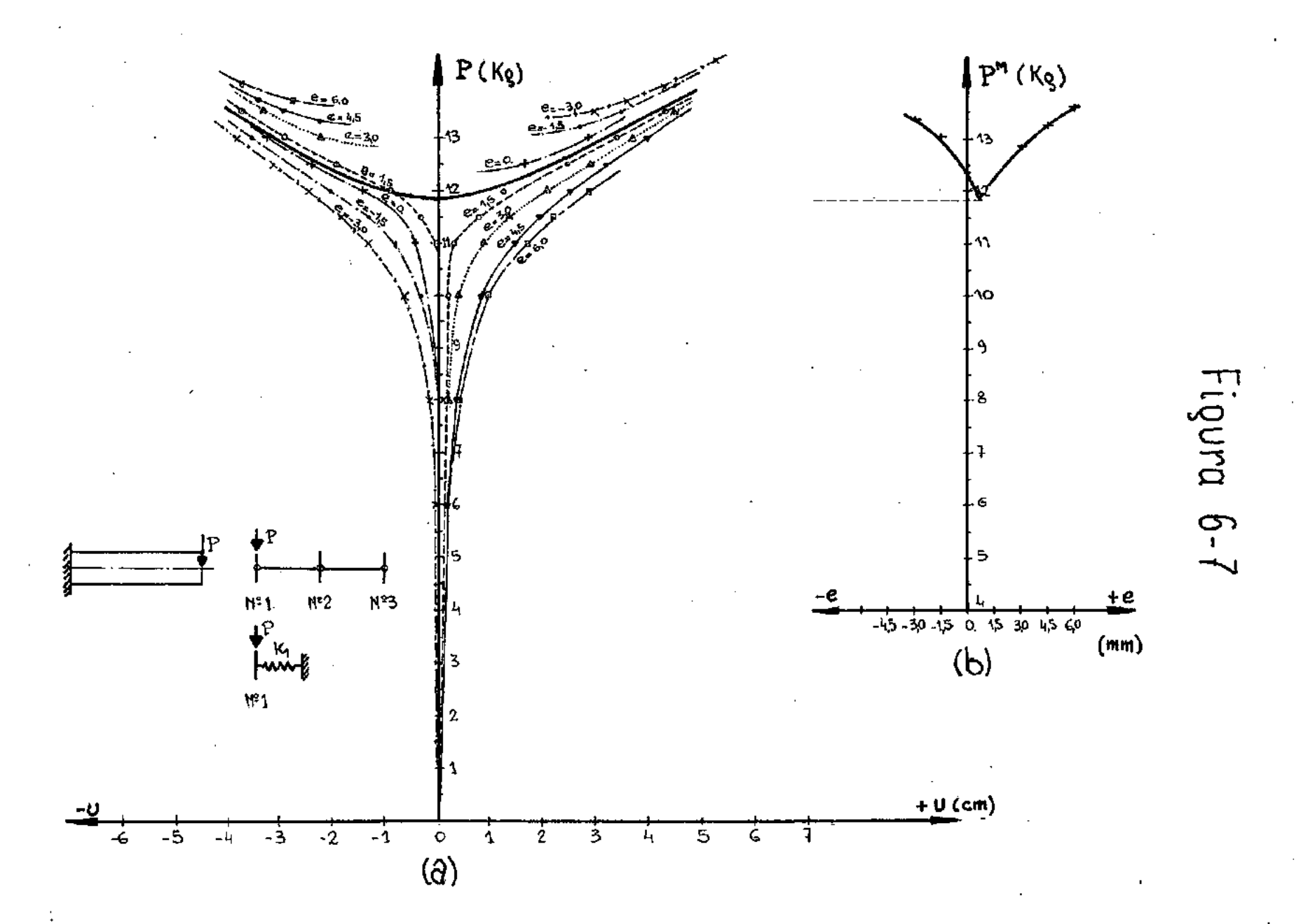




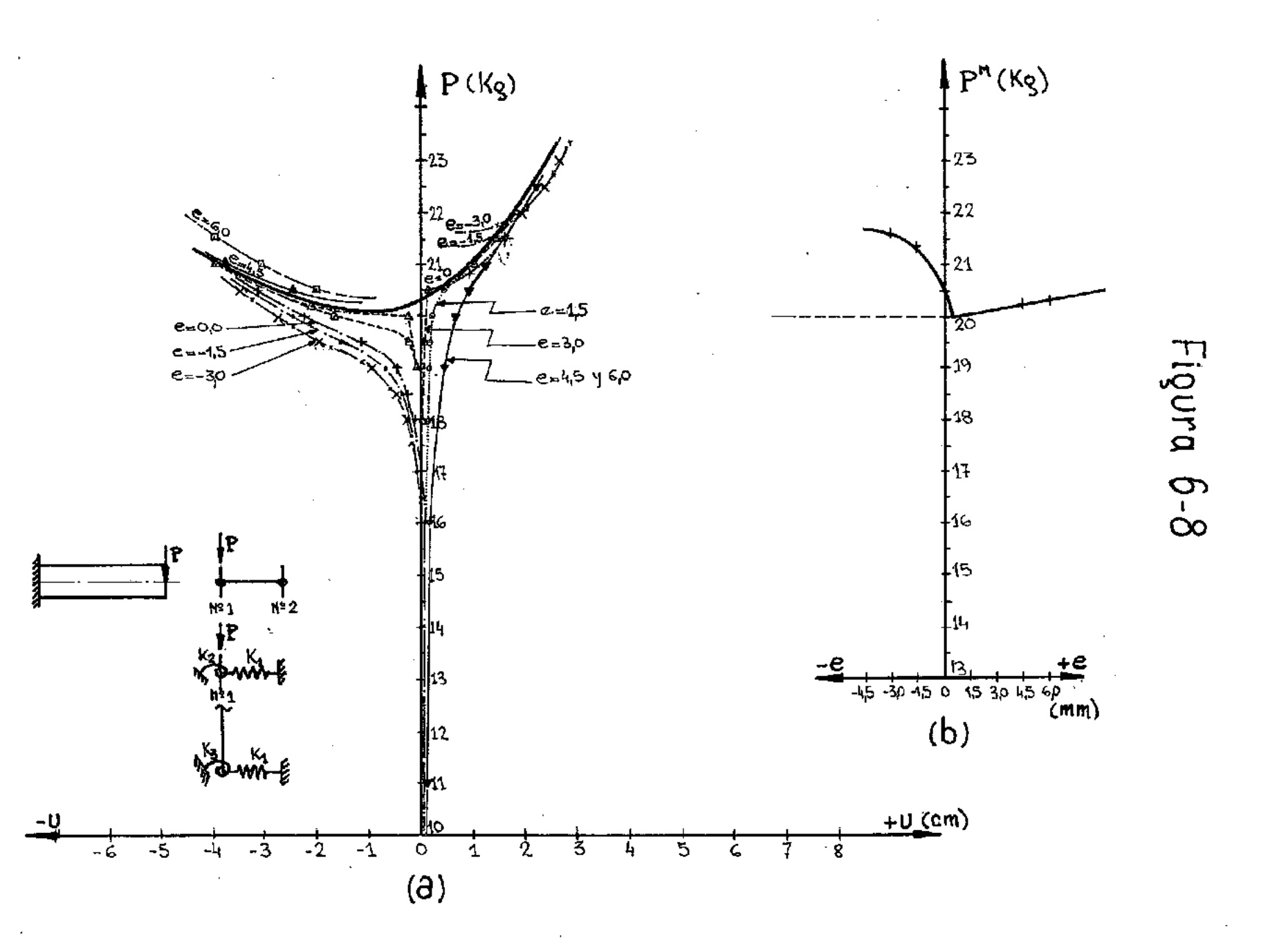


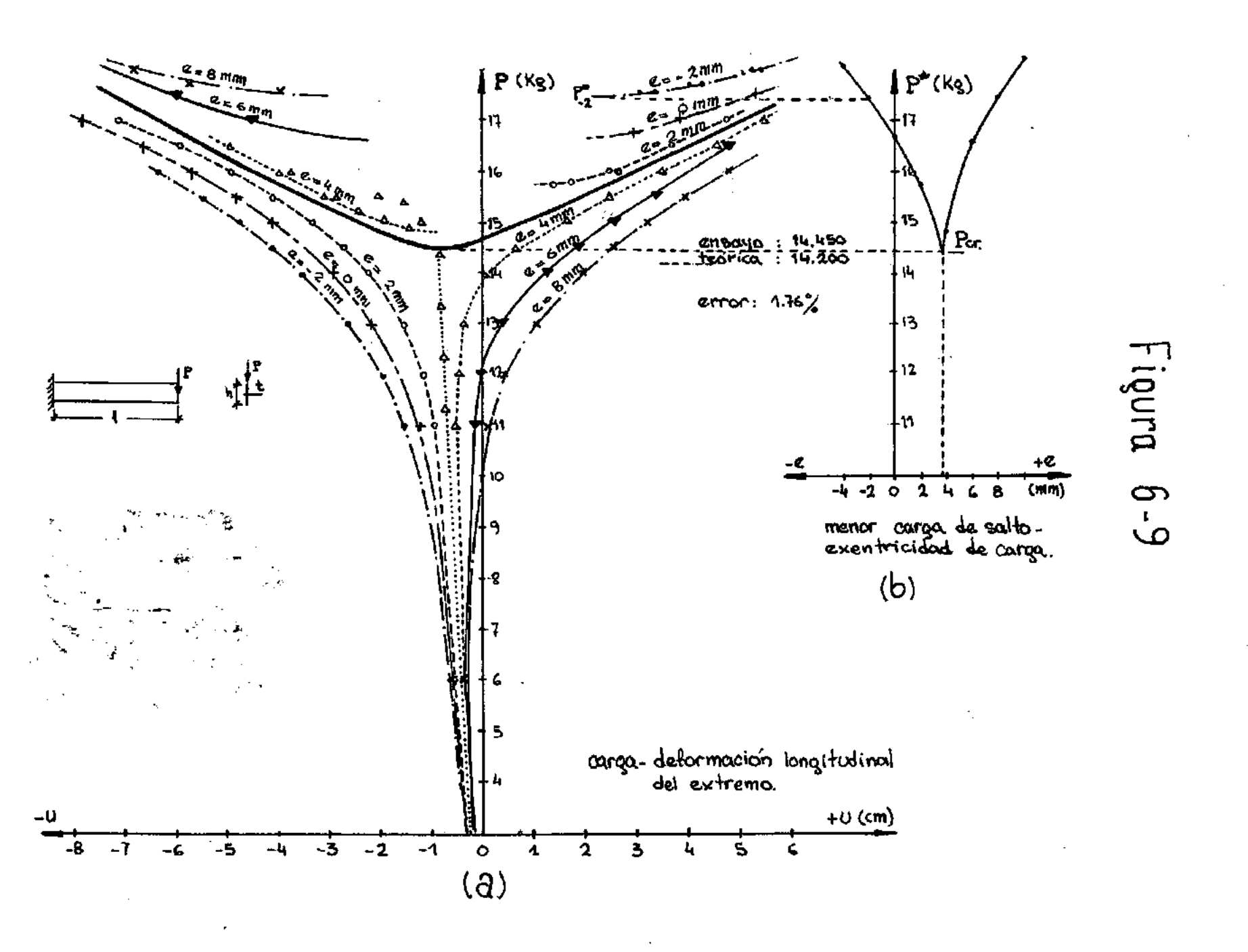












APENDICE 1

PROPIEDADES DEL PROBLEMA DE AUTOVALORES;-

Al problema generalizado de autovalores $^{(5),(13)}$, der<u>i</u> vado en la ecuación (4.9), puede asociarse al de operadores lineales en un espacio de Hilbert (H); designando con A y B a tales operadores y por u un elemento en tal espacio; $u \in H$.

$$\tilde{K}_{\mathbf{g}} = \omega^{2} \tilde{\mathbf{m}}_{\mathbf{g}} = 0 \qquad \text{Au} = \lambda \, \mathbf{Bu} = 0 \qquad \qquad (1)$$

Suponemos que los operadores A,B son autoadjuntos y B positivo definido, $^{(20)}$ y el dominio de definición de B es un subdominio abierto del de A. Además A- λ B es autoadjunto para todo λ real.

Propiedad 1: Los autovalores de la ecuación (1) son positivos.

Si λ y u son un autowalor y su correspondiente autovector de (1), con A,B positivos definidos tomando el producto escater de (1) con u se tiene:

$$\lambda = \frac{(Au, u)}{(Bu, u)} > 0$$
(2)

por definición de producto escalar.

<u>Propiedad 2</u>: Los autovectores correspondientes a diferentes autovalores de (1) son ortogonales en H_A y H_B . Con H_A y H_B designamos el espacio Hilbert en la energía y proviene de considerar lo si -

guiente:

Sea el operador B definido en el subespacio S, que es denso en un espacio de Hilbert completo H, y sea B positivo - definido en S, esto es, existe una constante $\chi > 0$ tal que :

$$(Bu,u) \geqslant \chi^2 \|u\|^2$$
 ; $u \in 5$ (3)

Definiendo un auevo producto escalar en S:

$$(Bu,v) = (u,v)_B \qquad u,v \in S \qquad (4)$$

Con ésta definición, S pasa a ser um nuevo espacio - Hilbert, denotado por H_B, y cuya norma(∥u ∥) será:

Sean entonces λ_1, λ_2 dos autovalores y u_1 , u_2 sus correspondientes autovectores de (1)

A $u_1 = \lambda_1 B u_1$ y $A u_2 = \lambda_2 B u_2$ tomando el producto escalar siguiente:

$$(Au_1, u_2) = \lambda_1(Bu_1, u_2)$$

 $(Au_2, u_1) = \lambda_2(Bu_2, u_1)$

restando miembro a miembro, y por ser los operadores autoadjuntos se tiene

$$(Au_1, u_2) = (Au_2, u_1)$$
 y $(Bu_1, u_2) = (Bu_2, u_1)$
 $(\lambda_1 - \lambda_2) \cdot (Bu_1, u_2) = 0$ (5)

por ser
$$\lambda_1 \neq \lambda_2$$
 es:
 $(Bu_1, u_2) = (Au_1, u_2) = 0$ (6)

Propiedad 3: Suponiendo que A y 8 son operadores autoadjuntos, y que B es positivo definido, cualquier conjunto de funciones u no - nulas que son mutuamente ortogonales a traves de 8 es un conjunto linealmente independiente.-

Propiedad 4: Los autovalores de(1) son reales.

Supongamos que u sea un valor complejo y u su conjugado correspondiente.

$$Au_1 = \lambda_1 Bu_1 \tag{7}$$

Supongamos que λ_{I} fuese un valor complejo; basándo--nos en la propiedad de que el conjugado de un producto es igual al producto de los conjugados

$$A.\overline{u}_1 = \overline{\lambda}_1 B.\overline{u}_1 \tag{8}$$

formando el producto escalar en (?) con 🏣 y (8) con

$$(Au_1, \overline{u}_1) = \lambda_1(Bu_1, \overline{u}_1)$$

 $(A\overline{u}_1, u_1) = \overline{\lambda}_1(B\overline{u}_1, u_1)$

u,

restando m.a m. y debido al caracter autoadjunto de A y B :

$$(\lambda_1 - \bar{\lambda}_1)(\mathbf{B}u_1, \bar{\mathbf{u}}_1) = 0 \tag{9}$$

mas (Bu $_1, oldsymbol{ar{u}}_1$), no es nula por ser 8 positivo definido $\therefore \lambda_1 - ar{\lambda}_1 = 0$

$$\lambda_1=a+bi$$
 $\overline{\lambda}_1=a-bi$ $\lambda_1-\overline{\lambda}_1=2bi$, que es nulo para $b=0$

Se concluye afirmando que los autovalores del problema serán reales.-

<u>Propiedad 5.3 A un autovalor de multiplicidad 5, corresponden s au</u> tovectores linealmente independientes.

Pasando a notación matricial, tenemos que:

Si los vectores ç cumplen la propiedad de ser ortonormales a traves de la matriz M ; ∴ç-ç

La matriz asociada a los vectores ortonormales se deesigna como matriz model asociada a (1)

$$\vec{Q} = \begin{bmatrix} \vec{e}_1 & \vec{e}_2 & \cdots & \vec{e}_n \\ \vec{v} & \vec{v} & \vec{v} \end{bmatrix}$$

$$\vec{Q}^T \vec{m} \vec{Q} = \vec{I}$$
(11)

El problema (1) puede plantearse considerando todos--los autovalores y autovectores:

K.
$$C = M$$
. C . $M = \begin{bmatrix} \omega_1^2 \\ \end{bmatrix}$

C as la matriz modal

Planteando el problema asociado:

$$\tilde{X} = \tilde{Z} - \tilde{X}$$

$$\tilde{X} = \tilde{Z} - \tilde{X}$$

$$(14)$$

Z es la matriz ortonormal

 $\tilde{\mathbf{y}}$ es una matriz diagonal de autovalores asociada a (14)

$$\vec{Z} \cdot \vec{Z}^{\mathsf{T}} = \vec{Z}^{\mathsf{T}} \cdot \vec{Z} = \vec{I}$$

$$\vec{Z}^{\mathsf{T}} = \vec{Z}^{-1}$$

$$de (14)$$

$$\vec{M} = \vec{Z} \cdot \vec{X} \cdot \vec{Z}^{\mathsf{T}}$$

propiedad: si $\tilde{\delta}$ es una matriz diagonal, y \tilde{Z} es ortonormal se verifica que $\tilde{\Pi}^{cc} = \tilde{Z} . \tilde{S}^{cc} . \tilde{Z}^{T}$

en particular:

$$\tilde{\mathbb{M}}^{\frac{1}{2}} = \tilde{Z}_{1} \tilde{X}^{\frac{1}{2}} \tilde{Z}^{\mathsf{T}} \tag{15}$$

$$\tilde{M}^{-\frac{1}{2}} = \tilde{Z} \cdot \tilde{X}^{-\frac{1}{2}} \cdot \tilde{Z}^{T}$$
 (16)

$$\mathbf{m}^{-1}, \mathbf{m}^{\frac{1}{2}} = \mathbf{Z}, \mathbf{X}^{-\frac{1}{2}}, \mathbf{Z}^{\mathsf{T}}, \mathbf{Z}, \mathbf{X}^{\frac{1}{2}}, \mathbf{Z}^{\mathsf{T}} = \mathbf{I}$$

De (13)

premultiplicando por $\tilde{M}^{-1}_{2} = (\tilde{M}^{-1}_{2})^{T}$

se transformó el problema (13) en otro del tipo (14)

con M de (15) , (16)

Se resuelve en \tilde{C} y \tilde{V} , resultando \tilde{C} ser una matriz orto

normal

APENDICE 2

CONDENSACION DE PROBLEMAS DE AUTOVALORES

El problema generalizado de autovalores a que se llega con la formulación del presente trabajo u otros similarespuede ser demasiado grande, pudiendo considerar mediante el recurso del análisis modal (23) uno menor, en el que se consideren
los p menores autovalores y sus correspondientes autovectores.-

Para el problema de la Estabilidad Elástica, basta con siderar los dos menores autovalores para casos de inestabilidad-dinámica, o sólo uno para el caso de inestabilidad estática.-

La condensación del problema puede llevarse a cabo mediante la técnica de iteración en subespacios, para grandes problemas (21),(22) y puede resumirse con los siguientes pasos intemperantes de un esquema iterativo que puede ser interpretado comouna combinación del cociente de Rayleigh con el método de Ritz

La ecuación de partida es:

$$\tilde{K}_{\mathcal{L}} = \omega^2 \tilde{\mathbb{R}}_{\mathcal{L}} \tag{1}$$

donde las matrices \tilde{K} , \tilde{M} son de orden $n_{\times}n$ simétricas, a coeficientes reales. \tilde{M} positive definida.

Tomando la matriz modal
$$\tilde{C}$$
 y la de autovalores $\tilde{\mathbb{U}} = \begin{bmatrix} \omega_i^2 \\ \tilde{C} \end{bmatrix}$ $\tilde{K} \cdot \tilde{C} = \tilde{M} \tilde{C} \tilde{\mathbb{U}}$ (2)

Se quiere reducir el problema de resolver n autovalores y sus autovectores a otro en el que es necesario resolver p; p < n, en un esquema de iteración simultánea.

En una iteración genérica j a j + l , se tendrá que resolver una ecuación del tipo:

$$\bar{K} \; \bar{\bar{\varphi}}_{j+1} = \bar{M} \; \bar{\bar{\varphi}}_{j,2} \tag{3}$$

con \overline{V}_{i+1} es posible encontrar las proyecciones de \overline{K} M en el espacio Ep.

$$\tilde{K}_{j+1} = \tilde{P}_{j+1}^{T} \tilde{K} \tilde{P}_{j+1}^{T} \tag{4}$$

$$\tilde{M}_{j\uparrow\gamma} = \tilde{\vec{q}}_{j\uparrow\gamma}^T \; \tilde{M} \; \tilde{\vec{q}}_{j\uparrow\gamma} \tag{5}$$

Se recae en el sistema de autovalores.

$$\tilde{K}_{jm}$$
 $\tilde{\beta}_{jm} = \tilde{M}_{jm}$ $\tilde{\beta}_{jm}$ $\tilde{\alpha}_{jm}$ (6)

luego, los autovectores de (2) pueden hallarse por la fórmula:

$$\vec{\varphi}_{j+1} = \vec{\tilde{\varphi}}_{j+1} \quad \tilde{\beta}_{j+1} \tag{7}$$

 $\tilde{\zeta} \rightarrow \infty$, se tiene que $\tilde{\zeta}_{jil} \rightarrow \tilde{\mathbb{W}}$

Para las $\widehat{\mathbf{r}}$ iteraciones se debe proceder en la siguie $\underline{\mathbf{n}}$ te forma:

formar
$$\tilde{R} = \tilde{M}\tilde{\varphi}$$
 (8)

resolver
$$\tilde{K}\tilde{\varphi}_{i+1}=\tilde{R}$$
 (9)

calcular
$$\tilde{K}_{jm} = \tilde{\vec{\varphi}}_{jm}^T \tilde{K} \tilde{\vec{\varphi}}_{jm} = \tilde{\vec{\varphi}}_{jm}^T \tilde{K}$$
 (10)

calcular
$$\tilde{M}_{jh} = \bar{\varphi}_{jh}^T \tilde{M} \bar{\varphi}_{jh}$$
 (11)

resolver
$$\tilde{K}_{jn}$$
 $\tilde{\beta}_{jn} = \tilde{M}_{jn}$ $\tilde{\beta}_{jn}$ $\tilde{\alpha}_{jn}$ (12)

calcular
$$\tilde{Y}_{j+1} = \tilde{\tilde{Y}}_{j+1} \cdot \tilde{\tilde{\beta}}_{j+1}$$
 (13)

orden de las matrices

K, M orden n. n Fin, F, R n n. p Bin, Kin, Min n p. p

Para lograr una convergencia más rápida, para el $1\frac{\text{er}}{2}$ paso (j=1) se aconseja que \tilde{R} sea construído por:

- a) la primer columna contendrá los elementos de la diago nel de $\widetilde{\mathbb{M}}$.-
- b)las demas columnas deberán ser vectores unitarios, con todas sus componentes nulas exepto colocar un + 1 en las mayores relaciones de $m_{ii} \times k_{ii}$

A P E N D I C E 3 PROGRAMA PARA EL CALCULO DE LA CARGA CRITICA

Se desarrolló un programa que calcula el cuadrado. de frecuencias de vibración (ω^2) para un determinado nivel de cargasdel problema (4.9)

El esquema es válido para los métodos de Ritz y de El \underline{e} mentos Finitos, siendo que las subrutinas DATOC (Lee datos) ,CAMAT (forma matrices \tilde{K} y \tilde{M}) y parte de ITEN (itera en el número de ciclos de carga pedidos) en lo que respecta a la modificación de \tilde{K} , son diferentes para ambos métodos.

Tal como está preparado, el programa permite la obtención de hasta 12 valores de ω^2 por cálculo sin condensar, pudiéndose emplear el mismo para problemas mayores(hasta un límite de órden de las matrices de 30 x 30) utilizando la técnica de condensameción (Apéndice 2), siendo suficiente calcular únicamente el menorautovalor para el caso de inestabilidad estática. Para éste caso, se busca determinar la carga (P) que produce que la menor frecuenciade vibración sea nula (ω = 0).

Para casos de inestabilidad dinámica, habrá que calcular al menos los dos menores autovalores $(\omega_1^2 \ y \ \omega_1^2)$

Diagrama de flujo

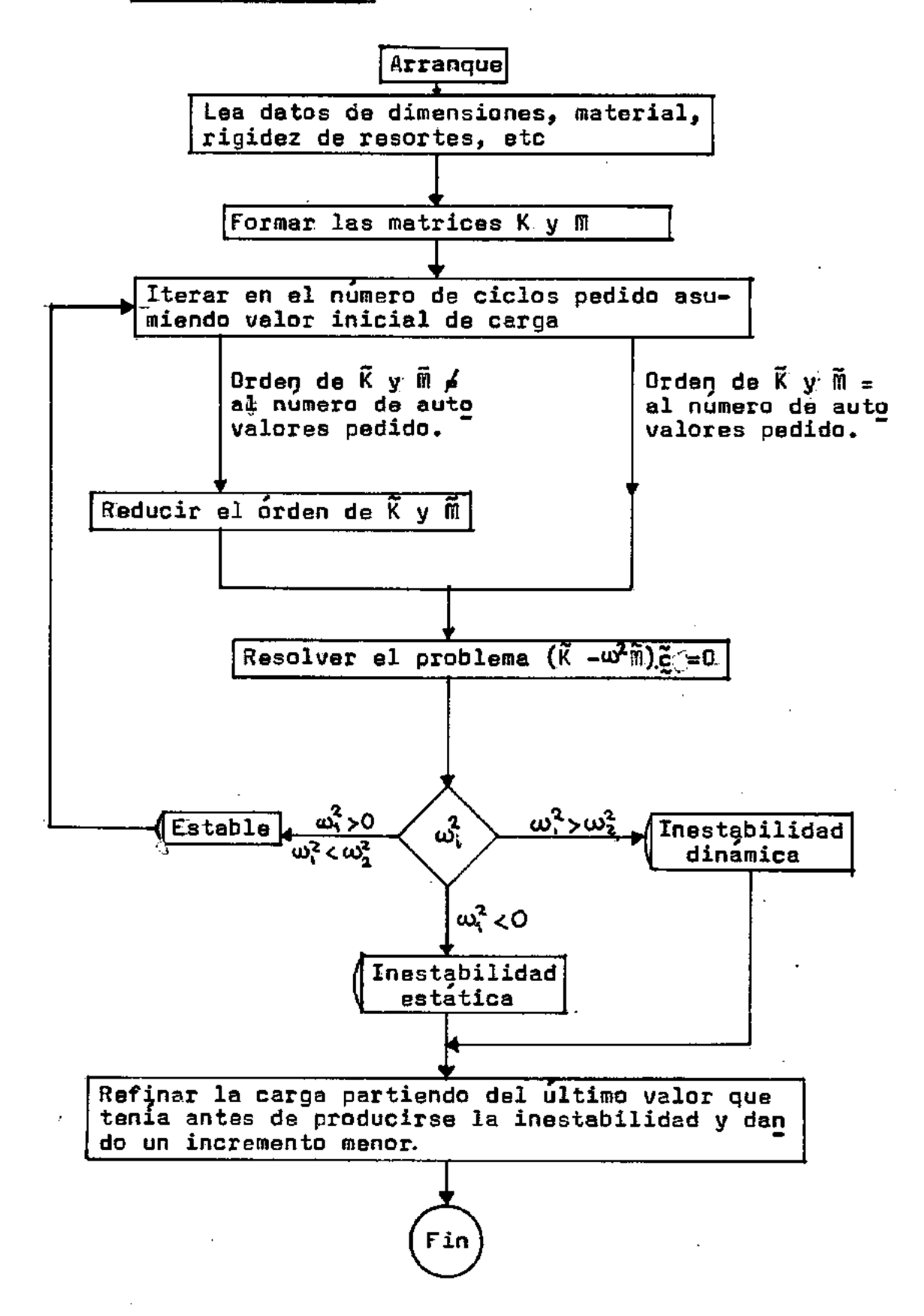
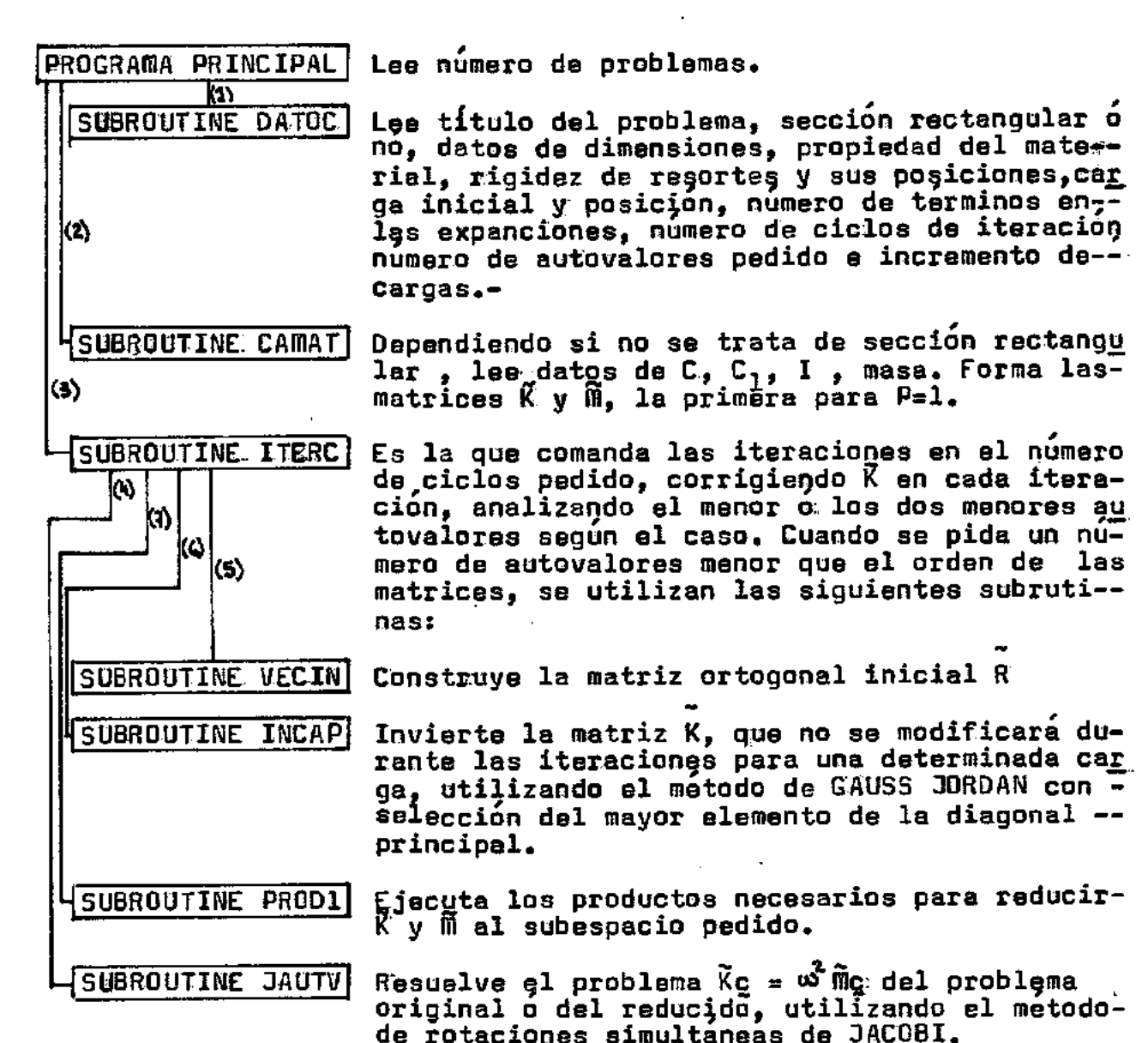


Diagrama de blocos



Manual de entrada al programa

PROGRAMA PRINCIPAL

READ(5,3)NCASO

3 FORMAT(I5)

NCASO = número de problemas

SUBROUTINE DATOC

READ(5,25)TITUL

25 FORMAT (1244)

READ(5,1)ACHE, TE, ELE

1 FORMAT(2F10.2,F10.1)
 READ(5,3)EL,DENSI,POIS

3 FORMAT(F10.1,2F10.4)
READ(5.8)CRIG.CALA.YO

8 FORMAT (8F10.4)

READ(5,8)RIGL,COFK1,RIGM,COFK2,RIGL1,COF11,RIGM1,COF21
READ(5,100)P1.H1.COEF

100 FORMAT(3F10.3) READ(5,12)N.M

12 FORMAT(215)

READ(5.6) NP. ITERP. DELP

6 FORMAT (215,F10.2)

SUBROUTINE CAMAT

Si no se tiene sección rectangular se debe leer:

READ(5,43)CMASA,CINER,CPOLA,CRIG

43 FORMAT(4F15.7)

El significado de las variables en las subrutinas anteriores es el siguiente:

TITUL= título del problema

ACHE = altura de la sección transversal

TE= espesor de la sección transversal

ELE= longitud de la viga

EL= módulo de elasticidad del material.

DENSI = densidad del material

POIS= coeficiente de Poisson.

CRIG= coeficiente que indica si es sección rectangular (CRIG=0) o nó (CRIG=1)

CALA= rigidez de alabec.-

¥0= diferencia entre los centros de gravedad y de ci_zallamiento.-

RIGL= rigidez de resorte a traslación

RIGM= " " " rotación

RIGLl= " " " variación de traslación.-

RIGMl= " " " " rotación.-

COFK1,COFK2,COF11,COF21= coeficientes de posición de RIGL a RIGM1 (iguales a 1, para posición en 1)

Pl= carga inicial

Hl= distancia en la vertical entre el centro de cizallamiento y el punto de aplicación de la
carga.

COEF= coeficiente de posición de la carga (COEF=1.es posición en L)

N,M= número de terminos en las expansiones de u y φ respectivamente.-

NP= número de autovalores pedido

ITERP= " iteraciones en las cargas.-

DELP= incremento en la carga.-

CMASA= masa por unidad de longitud.

CINER= momento de inercia respecto al eje y-y.

CPOLA= momento de inercia polar.

CRIG = rigidez a torsión

```
//
      EXEC FORTGOLG
//FORT.SYSIN DD #
      IMPLICIT REAL #8(A-H,C-Z)
      CCMMON COEF, COFK1, CCFK2, COF11, CCF21, RIGL1, RIGM1, YC
      COMMON ACHE TE ELE EL DENSI POIS CRIG CALA RIGL RIGM P1.H1.DELP.P
      COMMON RMASP(24,24),RITP(24,24),PH1(24,4),PR0D(24,4)
      COMMON RIT(24,25), RMAS(24,24), EIGV(12), D(12), X(12,12)
      COMMON LR.LW.INDR.IADM.N .M .NP.NAUT.ITERP
      DEFINE FILE 1(24,48,U,INDR),2(24,48,U,INDM)
      LR=5
      LW=6
      READ (LR.3)NCASC
      WRITE(LW.3)NCASO
3
      FORMAT(15)
      DC & INI=1.NCASC
      CALL DATEC
      P=1.
      CALL CAMAT
      CALL ITERC
      CONTINUE
```

CALL EXIT.

END

```
IMPLICIT REAL *8(A-H.O-Z)
COMMON COEF, COFK1, COFK2, COF11, COF21, RIGL1, RIGM1, YO
COMMON ACHE TE ELE EL DENSI, POIS, CRIG CALA RIGI RIGM, P1. H1. DELP. P
COMMON RMASP(24,24),RITP(24,24),PHI(24,4),PROD(24,4)
COMMON RIT(24.25).RMAS(24.24).EIGV(12).D(12).X(12.12)
COMMON LR.LW.INDR.INDM.N .M .NP.NAUT.ITERP
     LEER TITULO
READ(LR, 25) TITUL
FORMAT(1244)
WRITE(LW, 26)TITUL
FORMAT(1H1,12A4)
READ (LR,1) ACHE, TE, ELE
FORMAT(2F10.2,F10.1)
WRITE(LW.2) ACHE.TE .ELE
FQRMAT(//5x, 'ALTURA = ', F8.3,10x, 'ESPESOR = ', F8.4,10x, 'LONGITUD = 1
1,F7.3/1
READ (LR.3) EL. DENSI, POIS
FORMAT(F10.1,2F10.4)
WRITE(LW,4)EL.DENSI,POIS
FORMATI//5x, MOD. DE ELAST. =',F10.1, 6x, DENSIDAD =',F15.10.6x,
1MOD. DE POISSON =1.F10.4/)
     SI ES SECCION RECTANGULAR PONER CRIG = C = 0.
READ(LR.8) CRIG, CALA, YO
WRITE(LW.16)CRIG.CALA.YO
FORMAT(5X, 'IND. SECCION RECT. 0 0 1. = ', Flo.4, lox, 'RIGIDEZ DE ALAB
1EO =',F10.4//5X,'DIST. ENTRE EL CG Y EL CENTRO DE CIZALLAMIENTO ='
2.F10.3/)
READ(LR, 8)RIGL, COFK1, RIGM, COFK2, RIGL1, COF11, RIGM1, COF21
WRITE(LW,9)RIGL,COFK1,RIGM,COFK2,RIGL1,COF11,RIGM1,COF21
```

SUBROUTINE DATOC

```
FORMAT(8F10.4)
      FORMAT(//5x, K1, F15, 8, 5x, POS, COF, K1 = F15, 3, 5x, K2 = F15, 8, 5
     2X, PGS, CCF, K2 = ', F15.3//5X, 'K11 = ', F12.3, 5X, POS. COF. K11 = ',
     3F14.3.5X, 'K21 = '.F14.8.5X, 'POS CCF. K21 = '.F15.3/)
      READ(LR.100) PI.HI.COEF
100
       FORMAT (3F10.3)
      WRITE(LW.10 )P1.H1.COEF
10
       FORMAT(//5x, CARGA INICIAL = 1, F10.6, 10x, DIST, AL BARICENTRO = 1
     1.F10.4.10X.*COEF. POSICION PARA CARGA = '.F10.4/)
      READ(LR.12)N.M
       FORMAT(215)
12
      WRITE(LW.13)N.M
      FORMAT(//5x, 'N. DE TERM, PARA DESPL. = ', I3, 10x, 'N. DE TERM. PARA
13
     1ROTACION ='.13/)
      READ (LR.6)NP.ITERP.DELP
      FORMAT(215,F10,2)
      WRITE(LW.5)NP.ITERP.DELP
      FORMAT(5%, 'NUM. DE AUTOVALORES REQUERIDO = 1, 15//5%, 'NUM. DE PASOS
     1DE CARGAS = 1,111//5X, 1NCREMENTO EN LAS CARGAS = 1,F8.6//)
      RETURN
```

END

```
SUBROUTINE CAMAT
      IMPLICIT REAL *8(A-H,O-Z)
      COMMON COEF.COFK1.COFK2.COF11.COF21.RIGL1.RIGM1.YO
      COMMON ACHE, TE, ELE, EL, DENSI, POIS, CRIG, CALA, RIGL, RIGM, P1, H1, DELP, P
      COMMON RMASP(24,24), RITP(24,24), PHI(24,4), PROD(24,4)
      COMMON RIT(24.25), RMAS(24.24), EIGV(12), D(12), X(12,12)
      COMMON LR.LW. INDR. INDM. N . M . NP. NAUT, ITERP
      NM = N + M
C
        SI ES SECCION RECTANGULAR CALCULE C.M.I.IO
C
        SI NO ES SECCION RECTANGULAR LEA C.M.I.IO
      IF (DABS(CRIG))40,40,41
40
      CRIG=EL*ACHE*TE**3/(6.*(1.+PDIS))
      CMASA=DENSI*ACHE*TE
      CINER=ACHE*TE**3/12.
      CPOLA=ACHE**2/12.
      GO TO 42
41
      READ(LR, 43) CMASA, CINER, CPOLA, CRIG
43
      FORMAT(4F15.7)
      WRITE(LW, 1691CMASA, CINER, CPOLA, CRIG
42
      FORMAT(// MASA=*, E21.4, 2X, M. INER.= ", E15.4//" MOM. POLAR= ".
169
     1E15.4.7X. C = 1.E17.4/1
      DO 1 I=1.NM
      DO 1 J=I+NM
      RIT(I,J)=0.
   1 RMAS(1.J)=0.
      DO 10 I=1.N
          MATRIZ RITZ Y MASA REFERIDAS AL DESPLAZAMIENTO
С
         MATRIZ DE MASAS REF. AL DESPLAZAMIENTO
C
      DO 11 J=I.N
```

```
R1T(I,J)=EL*CINER/ELE*I*(I+1)*3*(J+1)/(I+J-1)+R1GL*ELE**2*COFK1**(
     1I+J+2)+RIGL1*(I+1)*(J+1)*COF11**(I+J)
      RMAS(I.J)=CMASA*ELE**3/(I+J+3)
11
C
        MATRIZ RITZ Y MASAS REF. AL DESPL. Y ROTACION
C
     DO 10 J=1.M
      JN = J + N
     RMAS(I,JN)=CMASA*ELE**2*YD/(I+J+3)
10
     RIT(I.JN)=P*ELE*I*(I+1)/((I+J+1)*(I+J+2))*COEF**([+J+2)
C
        MATRIZ RITZ Y MASAS REFERIDAS A LA ROTACION
     DO 20 I=1.M
     IM = I + N
     DO 20 J=I.M
     RIT(IM_{\bullet}JM)=CRIG/ELE*(I+1)*(J+1)/(I+J+1)+CALA/(ELE**3)*I*(I+1)*J*
    1(J+1)/(I+J-1)-P*H1*COEF**(I+J+2)+RIGM*COFK2**(I+J+2)
     2+RIGM1/(ELE**2)*(I+1)*(J+1)*COF21**(I+J)
2C RMAS(IM.JM)=CPOLA*ELE/(I+J+3)*CMASA
     DO 3C I=1.NM
     DO 30 J#1,NM
     RIT(J,I)=RIT(I,J)
   30 RMAS(J,I)=RMAS(I,J)
      INDM=1
      INDR=1
     DO 115 I=1.NM
     WRITE(1'INDR)(RIT(I,J),J=1,NM)
115
    WRITE(2'INDM)(RMAS(I.J).J=1.NM)
     RETURN
      END
```

```
SUBROUTINE VECIN
      IMPLICIT REAL #8(A-H,O-Z)
      DIMENSION LL(24)
      COMMON COEF, COFK1, COFK2, COF11, COF21, RIGL1, RIGM1, YO
      COMMON ACHE, TE, ELE, EL, DENSI, POIS, CRIG, CALA, RIGL, RIGM, P1, H1, DELP, P
      COMMON RMASP(24,24), RITP(24,24), PHI(24,4), PROD(24,4)
      COMMON RIT(24,25), RMAS(24,24), EIGV(12), D(12), X(12,12)
      COMMON LR.LW.INDR.INDM.N .M .NP.NAUT, ITERP
      NM = N + M
      DG 35 I=1.NM
      LL(I)=0
      00 35 J=1.NP
      PHI(I,J)=0.
35
      DO 11 I=1,NM
      PROD(I,4)=RMAS(I,I)/RIT(I,I)
11
      DO 10 1=1.NM
10
      PHI[[,1]=RMAS([,I]
      IF(NP-1)40,40,41
 41
      DO 15 NC=2.NP
      DO 2 [=1.NM
      IF(LL(I))2.3.2
      K = I
3
      GC TC 5
2
      CONTINUE
5
      KL=K
      KL=KL+1
      IF(NM-KL)14,23,23
23 ·
      IF(1L(KL))8,16,8
      IF(DABS(D(K))-DABS(D(KL)))19.8.8
16
19
      K=KŁ
      GO TO 8
      PHI(K,NC)=1.
14
      LL(K)=1
15
      CONTINUE
      RETURN
40
```

```
SUBROUTINE INCAPINTS
      IMPLICIT REAL *8(A-H,O-Z)
      DIMENSION L(24), F(24, 25)
      COMMON COEF.COFK1,COFK2,COF11,COF21.RIGL1.RIGM1,YO
      COMMON ACHE, TE, ELE, EL, DENSI, POIS, CRIG, CALA, RIGL, RIGM, P1, H1, DELP, P
      COMMON RMASP(24,24), RITP(24,24), PHI(24,4), PROD(24,4)
      COMMON RIT(24,25), RMAS(24,24), EIGV(12), D(12), X(12,12)
      COMMON LR, LW, INDR, INDM, N , M , NP, NAUT, ITERP
      EQUIVALENCE(F(1,1),RIT(1,1))
      NPI=NT+1
      00 10 I=1.NT
   10 L(I)=0
      DO 150 NCICL=1,NT
      DO 2 I=1.NT
      IF (L(I))2,3,2
    3 K=I
      GO TO 5
    2 CONTINUE
    5 KL=K
    8 KL=KL+1
      IF(NT-KL)14,23,23
   23 IF(L(KL))8,16,8
16
      IF(CABS(F(K,K))-DABS(F(KL,KL)))19,8,8
   19 K=KL
      GO TO 8
   14 L(K)=1
      DO 15 IK=1.NT
   15 F(IK, NP1)=0.
      F(K, NP1)=1.
      DO 21 JL=1,NP1
      IF(JL-K)20,21,20
   20 F(K,JL)=F(K,JL)/F(K,K)
   21 CONTINUE
      DO 25 IK=1.NT
```

```
114
```

IF(K-IK)30,25,30

IF(K-JL)35,25,35

CO 40 II=1,NT 40 F(II,K)=F(II,NP1)

35 F(IK, JL)=F(IK, JL)-F(IK, K)*F(K, JL)

30 DO 25 JL=1.NP1

25 CONTINUE

150 CONTINUE RETURN END

```
USUBROUTINE JAUTY
       IMPLICIT REAL #8(A-H.C-Z)
       DIMENSION A(24.24).B(24.24)
       COMMON COEF.COFK1.COFK2.COF11.COF21.RIGL1.RIGM1.YO
       COMMON ACHE, TE, ELE, EL, DENSI, POIS, CRIG, CALA, RIGL, RIGM, P1, H1, DELP, P
       COMMON RMASP(24,24), RITP(24,24), PHI(24,4), PROD(24,4)
       COMMON RIT(24,25), RMAS(24,24), EIGV(12), D(12), X(12,12)
       COMMON LR, LW, INDR, INDM, NZ, MZ, NP, NAUT, ITERP
       EQUIVALENCE(A(1,1),RITP(1,1)),(B(1,1),RMASP(1,1))
       NAUV=NAUT
       N=NAUV
        NSMAX=15
       ERROR=0.0001
        DO 10 I=1, NAUV
       D(I) = A(I,I) / B(I,I)
      EIGV(I)=C(I)
10
       IF(N-1) 4.5.4
   CONTINUE
       WRITE(LW.750) EIGV(1)
       FORMAT(//5X.'AUTOVALOR LNICO='.F15.6/)
750
       RETURN
       DO 3C [=1.N
        CO 20 J=1.N
20
        X(I,J)=0.
         X(I,I)=1.
 30
       NSWEP=0
       NR = N - 1
         INICIO DE LAS ITERACIONES
        WRITE(LW-1605)
       FORMAT(//10x, ITERACION EN JACAU NO. 1.10x. LOS AUTOVALORES EN ESTA
 1005
      1 ITERACION SON*)
        NSWEP=NSWEP+1
40
        WRITE(LW.1000) NSWEP
```

```
TT=B(J,K)*B(J,K)
     TB=8(J.J.)*B(K.K)
     ETOLB=TT/TB
     IF(ETCLA-EPS) 6,7,7
      IF(ETOLB-EPS) 50,7,7
      AKK=A(K,K)*B(J,K)-B(K,K)*A(J,K)
      \Delta JJ = A(J,J) * B(J,K) - B(J,J) * A(J,K)
      AB=A(J,J)*B(K,K)-A(K,K)*B(J,J)
     CHECK=(AB*AB+4.0*AKK*AJJ)/4.0
     IF(CHECK) 60,70,70
     WRITE(LW.1004) CHECK
1004 FORMATI//10X. EN JAUTY SE SACARA RAIZ CUADRADA DE UN NUMERO
```

1000

60

70

8

80

90

C C FORMAT(/[21]

DO 50 J=1.NR

DO 50 K=JJ.N TT=A(J.K)*A(J.K) $TB=A(J,J) \neq A(K,K)$ ETOLA=DABS(TT/TB)

1NEGATIVO', E20.7)

SQCH=DSCRT(CHECK) D1=AB/2.+SQCH · D2=AB/2.-SQCH

IF(DEN) 90,80,90

CG = -A(J,K)/A(K,K)

IF(DABS(D2)-DABS(D1))8,8,9

ROTACIONES GENERALIZADAS

STOP

DEN=01

CA=O-

DEN=D2

GO TC 100

CA=AKK/DEN CG=-AJJ/BEN

JJ=J+1

EPS=(0.05**NSWEP)**2

```
117
```

```
С
100
        IF(N-2) 95,180,95
95
       JP1=J+1
       JM1=J-1
      KP1=K+1
      KM1=K-1
       IF(JM1-1) 120,110,110
       00 105 [=1.JM1
110
      AJ=A(I,J)
      BJ=B(I,J)
      AK=A(I,K)
      BK=8(I,K)
       A(I,J)=AJ+CG*AK
      B(1,J)=BJ+CG*BK
      A(I,K)=AK+CA*AJ
        B(I,K)=BK+CA*BJ
105
        IF(KP1-N) 130,130,140
120
130
       DO 125 I=KP1,N
      (I, L) A=LA
      BJ=B(J,I)
      AK=A(K,I)
      BK=B(K,I)
      \Delta(J,I) = \Delta J + CG \neq AK
      B(J,[)=BJ+CG.*BK
      A(K.1)=AK+CA*AJ
125
       B(K,I)=BK+CA+BJ
140
         IF(JP1-KM1) 150,150,180
       DO 160 I=JP1.KM1
150
      \Delta J = \Delta \{ J, I \}
      8J=8(J,I)
      AK=A(I,K)
         BK=8(1,K)
      A(J,I)=AJ+CG*AK
      B(J.I)=BJ+CG*BK
      ALI.KI=AK+CA*AJ
       B(I,K)=8K+CA+8J
160
```

```
1
```

```
180
       \Delta K = \Delta (K,K)
      BK=B(K,K)
       A(K,K)=AK+2.*CA*A(J,K)+CA*CA*A(J,J)
      B(K,K)=BK+2.*CA*B(J,K)+CA*CA*B(J,J)
      A(J,J)=A(J,J)+2.*CG*A(J,K)+CG*CG*AK
      B(J,J)=B(J,J)+2.*CG*B(J,K)+CG*CG*BK
      A(J+K)=0
      B(J.K)=0.
      AUTOVECTORES
      DO 190 I=1.N
      (L,I)X=LX
    \cdot XK = X(1,K)
      X(I.J)=XJ+CG*XK
190
       X(I,K)=XK+CA*XJ
5 C
       CONTINUE
      DO 220 I=1.N
220
        EIGV(I) = A(I,I)/B(I,I)
      WRIJE(Lb.1002) (EIGV(L).I=L.N) _____
1002
       FORMAT(/40X,6E13.6) -
С
¢
       ESTUDIO DE LA CONVERGENÇIA
      DO 240 I=1.N
      TOL=DABS(ERROR +D(I))
      DIF=DABS(EIGV(I)-D(I))
      IF(DIF-TOL) 240,240,300
240
       CONTINUE
000
       ESTUDIO DE LOS ELEMENTOS FUERA DE LA DIAGONAL
      EPS=ERROR**2
      DO 260 J=1.NR
      JJ=J+1
      DO 260 K=JJ.N
```

```
TB=A(J,J)*A(K,K)
       EPSA=DABS(TT/TB)
       TT=B(J,K)*B(J,K)
       TB=B(J,J)*B(K,K)
       EPSB=TT/TE
       IF(EPSA-EPS) 11,300,300
 11
       IF(EPSB-EPS) 260,300,300
 260
       CONTINUE
       DO 310 I=1.N
       DO 31C J=I.N
       B(J,I) = B(I,J)
 310
       A(J,I)=A(I,J)
       GO TO 21
       DO 320 I=1,N
 300
 320
        D(I)=EIGV(I)
       IF (NSWEP-NSMAX) 40,13,13
 13
       DO 330 T=1.N
       DO 330 J=I•N
       B(J,I)=B(I,J)
       A\{J,I\}=A\{I,J\}
. 330
 21
         CONTINUE
       WRITE(LW, 499)
        FORMAT(//lox, 'AUTOVECTORES'//)
499
       00 501 J=1.NAUV
        WRITE(LW,500)(X(I,J),I=1,NAUV)
 501
 500
        FORMAT(/8E15.7)
       RETURN
       END
```

 $TT=\Delta(J_*K)*\Delta(J_*K)$

```
SUBROUTINE PRODICEL)
       IMPLICIT REAL *8(A-H.O-Z)
      COMMON COEF.COFK1,COFK2,COF11,COF21,RIGL1,RIGM1,YO
      COMMON ACHE, TE, ELE, EL, DENSI, POIS, CRIG, CALA, RIGL, RIGM, P1, H1, DELP, P
       COMMON RMASP(24,24), RITP(24,24), PHI(24,4), PROD(24,4)
       COMMON RIT(24,25), RNAS(24,24), EIGV(12), D(12), X(12,12)
       COMMON LR.LW.INDR.INDM.N .M .NP.NAUT, ITERP
       NM = N + M
       IF(LL-1)5,5,6
       DC 8 I=1.NM
       DO 8 J=1.NP
       PROE(I,J)=PHI(I,J)
8
       GO TO 9
       DO 12 I=1.NM
6
       DG 12 J=1.NP
       AUX=0.
       DO 11 K=1.NM
11
       AUX=AUX+RMAS(1,K)*PHI(K,J)
12
       PROD(I.J)=AUX
       DO 22 1=1.NM
g
       DO 22 J=1,NP
       AUX=0.
       DO 21 K=1.NM
21
       AUX=AUX+RIT(I,K)*PROD(K,J)
22
       PHI(I.J)=AUX
       DG 32 I=1.NP
       DO 32 J=1.NP
       AUX=0.
       DO 31 K=1.NM
       AUX=AUX+PHI(K,I) *PROD(K,J)
31
32
       RITP(I,J)=AUX
       INDM=1
       DO 100 I=1.NM
       REAC(2'INDM) (RMAS(I,J),J=1.NM)
100
       00 42 I=1.NM
```

```
00 42 J=1,NP
      AUX=0.
      DO 41 K=1.NM
41 '
      AUX=AUX+RMAS(1,K)*PHI(K,J)
42
      PROD(I,J)=AUX
      DO 52 I=1.NP
      DO 52 J=1.NP
      AUX=0.
      DO 51 K=1,NM
      AUX=AUX+PHI(K,I)*PROD(K,J)
51
      RMASP(I,J)=AUX
52
      RETURN
      END
```

```
SUBRCHTINE ITERC
      IMPLICIT REAL *8(A-H.O-Z)
      DIMENSION COMP(24), L(24), IND(24)
     COMMEN COEF.COFK1,COFK2,COF11,COF21.RIGL1.RIGM1.YO
     COMMON ACHE-TE-ELE-EL-DENSI-POIS-CRIG-CALA-RIGH-RIGM-PI-H1-DELP-P
     COMMON RMASP(24,24), RITP(24,24), PHI(24,4), PROD(24,4)
     COMMON RIT(24,25), RMAS(24,24), EIGV(12), D(12), X(12,12)
      COMMON LR.LW.INDR.INDM.N .M .NP.NAUT.ITERP
      IND(1)=1
      ERROR=0.001
      INDCO=0
     NM=N+M
      N11=N+1
     AUX=Pl
     DO 10 LI=1.ITERP
     P=AUX
      INDR=1
      INDM=1
      DO 3C I=1.NM
     READ(2^{1}INDM)(RMAS(I,J),J=1.NM)
30
     READ(1'INDR)(RIT(I,J),J=1,NM)
     DO 35 I=1.N
```

IN=I+N
DO 37 J=1,M
JN=J+N
37 RIT(IN,JN)+(H1-P*H1)*COEF**(I+J+2)
DO 39 I=1.NM

DO 35 J=1.M

DG 37 I=1.M

DO 39 J=1.NM

RIT(J,I)=RIT(I,J)

RIT(I,JN)=RIT(I,JN)*P

N+L=NL

35

39

WRITE(Lh, 366)LI,P

366 FORMAT(//// 'ITERACION N. = ', 15, 10X, 'CARGA CORRESP. = ', F10.7//)

```
IF(NM-NP)5,5,6
 5
       NAUT=NM
       00 1 I=1, NAUT
       DO 1 J=1, NAUT
       RMASP(I,J)=RMAS(I,J)
 1
       RITP(I,J)=RIT(I,J)
       CALL JAUTY
       GO TO 100
6
       NAUT=NP
       NITER=10
       CALL VECIN
       IND X = C
       CALL INCAP(NM)
       DO 61 LL =1, NITER
       INDM=1
       DO 31 I=1.NM
31
C
C
        READ(2'INDM)(RMAS(I,J),J=1,NM)
      REDUCCION DE RIT Y RMAS
       CALL PRODICEL)
       CALL JAUTY
       IF(NAUT-1)233,233,234
233
       X(1,1)=1.
234
      IF(LL-1)86,86,70
70
       INDX=C
       DG 75 K=1.NP
       IF(DABS(EIGV(K))-DABS(COMP(K))-ERROR)80,80,75
 80
       INDX=INDX+1
 75
       CONTINUE
 86
       CONTINUE
       DO 68 I=1.NP
       COMP(I)=EIGV(I)
 68
        IF(NP-INDX)85,85,63
 63
       DD 3122 I=1,NM
       DO 3122 J=1.NP
```

```
CUX=C.
      DO 3121 K=1.NP
3121
    CUX=CUX+PHI(I,K)*X(K,J)
3122 PROD(I,J)=CUX
      DO 28 I=1.NM
      DO 28 J=1.NP
      PHI(I,J)=PROD(I,J)
28
61
      CONTINUE
85
      LFIN=LL
      WRITE(LW, 1233)
     FORMAT(//lox, 'AUTOVECTORES DE MATRIZ REDUCIDA"/)
1233
      DO 1234 J=1.NP
      WRITE(LW, 1068)(PHI(I, J), I=1, NM)
1234
1068 FORMAT(/8E15.7)
      WRITE(LW.90)LFIN
      FORMAT(//10X, CONVERGENCIA EN LA CONDENS, A LA ITERAC. N. = 1.14/)
90
100
      DO 165 I=1.NAUT
165
      L(I)=0
      DO 15C ICI=1, NAUT
      DO 152 I=1.NAUT
      IF(L(I))152,153,152
153
       K = I
       GO TO 155
152
      CONTINUE
155
       KL=K
158
       KL=KL+1
      IF(NAUT-KL)164,163,163
      IF(L(KL))158,166,158
163
166
       IF(EIGV(K)-EIGV(KL))158,158,169
169
       K≖KL
      GC TC 158
164
       L(K)=1
150
      IND(ICI)=K
      WRITE(LW.185)(ING(I).I=1.NAUT)
       FORMAT(//' LUGARES DE LOS AUTOV.='.1015//)
185
      KKK=IND(1)
```

```
IF(EIGV(KKK))15,15,18
  18 IF (INDCO)16,16,191
191
     IF(INDCO-IND(1 ))15,16,15
16
     AUX=AUX+DELP
     GO TO 195
15
     AUX=P-DELP+DELP/5.
     DELP=DELP/5.
     GO TO 10
195
     INDCO=IND(1)
10
     CONTINUE
     RETURN
     END
/#
//GO.FT01F001 DC DSN=&&AGUSTIN,DISP=(NEW,DELETE),UNIT=SYSDA,
    SPACE=(192, (24,1), RLSE)
//GO.FTO2FCO1 DD DSN=&&AGUSTI_,DISP=(NEW,DELETE),UNIT=SYSDA,
   SPACE=(192,(24,1),RLSE)
//GO.SYSIN CD *
```

A P E N.D I C E 4 EXTENSION A PROBLEMAS MAS GENERALES

Se planteó el método dinámico y se resolvió el problema en estudio en forma numérica, utilizando los métodos directos - de R. Ritz y de E. Finitos, siendo que pueden imponerse condiciones de contorno diferentes de las ya utilizadas, tales como pararesolver problemas de inestabilidad de vigas con vinculaciones a otras en cualquier punto interno y cargas en cualquier posición para los casos siguientes:

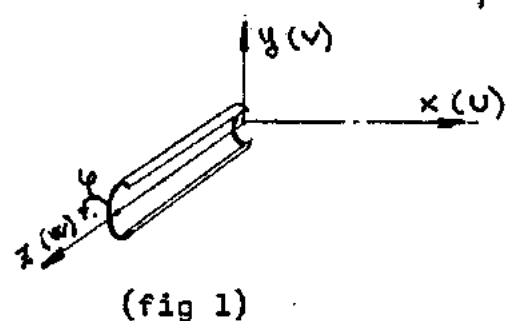
- a) vigas completamente restringidas en ambos extremos
- b) " " un extremo y par cialmente restringidas en el otro.
- c) vigas idem casos: en estudio, a y b con restricciones entre 0 y 1.-

tal como se planteó el problema, el método de E.Fini-tos también puede utilizarse para:

- d) vigas con los extremos parcialmente restringidos
- e) idem d, con restricciones internas.

Para los casos (a) a (c) en el M.de Ritz habría que in crementar el número de resortes y de cargas(proporcionales a P)has ta que sea necesario. Con el mencionado, las condiciones de restricción total de desplazamientos generalizados son efectuadas con resortes de rigidez suficientemente grande, mientras que ello no courre con E. Finitos, siendo conveniente dividir en elementos sinresortes internos

Para generalizar el problema es necesario admitir más grados de libertad, suponiendo que se producirán, por ejemplo 4des plazamientos generalizados (fig l): u, v, w, v



En el método de E. Finitos se asignan significado a las incógnitas nodales y éstas pueden adoptarse en un número mayor que 4; se formulan las siguientes incógnitas por nudo:

a)
$$U_{H,j} V_{H,j} W_{H,j} \left(V_{H,j} \frac{\partial U}{\partial z} \right)_{H,j} \frac{\partial V}{\partial z} \Big|_{H,j} \frac{\partial \psi}{\partial z} \Big|_{H,j}$$
 (7 incognitas)

en éste caso, pueden relacionarse las incógnitas por medio de los polinomios de Hermite de 3^{er} grado, igual que en el
presente trabajo (4.18) a (4.22)

para
$$W_H$$
, $\frac{\partial U}{\partial \vec{x}|_H}$; V_H , $\frac{\partial V}{\partial \vec{x}|_H}$; V_H , $\frac{\partial V}{\partial \vec{x}|_H}$; V_H , $\frac{\partial V}{\partial \vec{x}|_H}$; para W_H se utiliza: $W = (1-\vec{x})W_1 + \vec{x}W_2$

b) además de las incógnitas nodales del caso (a) se tie-nen las siguientes:

$$\frac{\partial^2 V}{\partial \vec{x}^2|_{H}}$$
 , $\frac{\partial^2 V}{\partial \vec{x}^2|_{H}}$, $\frac{\partial^2 V}{\partial \vec{x}^2|_{H}}$ (10 incógnitas) para los cuales sería necesario el empleo de los polinomios de Hermita de 5^{to} grado, cuyas expresiones pueden consultarse en Barsoum (9), y gratado en forma completamente similar al ya planteado.-

A partir de (2.3) es posible considerar el trabajo de las cargas aplicadas a la estructura, incluyendo la parte no cone servativa de ellas. Aquí el sistema pierde la propiedad de ser au to-adjunto, notándose ello en la no simetría de la matriz proveniente de la parte no conservativa de las cargas aplicadas.

Para éste tipo de problemas, debe plantearse tal ma-triz para cada caso particular y observar que tipo de restricciones adicionales es necesario imponer sobre el sistema.

Por ejemplo, para el problema de Beck, en el caso que el desplazamiento generalizado es u: (fig 2)

$$T = \frac{1}{2} \int_{0}^{l} m \omega^{2} v^{2} dz$$

$$V = \frac{1}{2} \int_{0}^{l} E I_{y} U_{zz}^{2} dz$$

$$W^{c} = \frac{1}{2} \int_{0}^{l} P U_{z}^{2} dz$$

$$SW^{c} = -P U_{z}(l).SU(l)$$
(1)

se puede transformar en:

$$SW^{NC} = S[-Pv_{I}(l)v(l)]$$
; $Sv_{I}(l) = 0$

o sea, se debe imponer condición de contorno en uz (1)

Con el método de E. Finitos puede efectuarse ensamble entre elementos, siempre que se tenga compatibilidad de deforma--ciones a nivel de nudos, rotando los elementos respecto a un sis--

tema global de referencia y con ello pueden analizarse casos de estructuras con vinculación más compleja y casos de cargamentosno conservativos útilizando el método dinámico (único posible para el último caso) utilizándo el criterio dinámico de estabilidad
(Capítulo II).-

Por último debe llamarse la atención que para casos e de cargamentos no conservativos con análisis linealizado no deben resolverse sin tener en cuenta el monto del amortiguamiento estructural, siempre presente en las estructuras reales y que causa un efecto 'desestabilizante', siendo la carga crítica calculada - sin llevar en cuenta tal efecto, un límite superior de la real (14) otra forma de obtener la carga crítica real sería efectuando un análisis no lineal, siendo que para casos de estructuras someti-das a cargamentos conservativos, pueden ser estudiadas como aquíses hizo (análisis linealizado y sin llevar en cuenta el amortigua miento)

BIBLIOGRAFIA

- 1.- V. V. Bolotin: "Nonconservative Problems of the Theory of Elastic Stability", The Mc Millam Company, N. Y. 1963.
- 2.- J. G. A. Croll A. C. Walker: "Elements of Structural Stability", The Mc Millan Press Ltd, 1973.
- 3.- Timoshenko & Gere: "Theory of Elastic Stability", Mc Graw Hill Kogakusha, 1961.
- 4.- L. Mairovitch: "Analitical Methods in Vibrations", The Mc Millan Company, London, 1967.
- 5.- Francis 8. Hildebrand: "Methods of Applied Mathematics", Prentice Hall, Inc., New Jersey, 1965.
- 6.- V. V. Novozilov: "Foundations of the Non Linear Theory of Elag ticity", Graylock Press, 1953.
- 7.- 0. C. Zienkiewics: "The Finite Element Method in Engineering Science", Mc Graw Hill London, 1971.
- 8.- John M. T. Thompson: "A General Theory for the Equilibrium and Stability of a Discrete Conservative System", ZAMP, Vol. 20, 1969.
- 9.- Roshdy S. Barsoum: "Finite Element Method Applied to the Pro-blem of Stability of a non-conservative System", Int.

 Journal for Numerical Methods Vol. 3, 1971.
- 10.- Thompson Walker: "The non Linear Perturbation Analysis of Discrete Conservative Systems", Int. Journal of Solids
 and Structures, Perg. Press Vol 4, 1968.
- 11.- Feijóo, Raúl A.: "Funcionales relajados en Campos Discontínuos de Funciones Admisibles", Seminario requisito p/ D.Sc. COPPE, Mayo de 1974

- 12.- Feijóo, Raúl A.: "Formulación General del Método de Ritz. Método de Elementos Finitos como un Caso Particular",

 Seminario requisito p/ D.Sc. COPPE, Mayo de 1974.
- 13.- Mikhin, S. G.: "The Problem of the Minimum of a Quadratic -Functional", Holden Day, Series in Math. Physics, -1965.
- 14.- S Nemat Nasser John Roorda: "On the Energy Concepts in the Theory of Elastic Stability", Acta Mechanica IV/3, 1967.
- 15.- A. J. Hartmann: "Inelastic Flexural-Torsional Buckling", Journal of the Eng. Mech. Div. August 1971 EM4.
- 16.- John Roorda: "Stability of Structures with small Imperfection s", Journal of the Eng. Mech. Div., February 1965 EM1.
- 17.- John Roorda: "The Buckling Behavior of Imperfect Structural Systems", J. Wech. Phys. Solids 1965 Vol. 13.
- 18.- Sydney M. G. dos Santos: "Flambage Latéral des Poutres avec Liaison Simple", Mémoires, Ass. Int. des Ponts et Char pentes, Zurich, 1957
- 19.- S. J. Britvec A. H. Chilver: "Elastic Buckling of Rigidly Jointed Braced Frames", Journal of the Eng. Mech. Div.
 Div ASCE 89 Nº EM6.-
- 20.- S. H. Gould: "Variational Methods for Eigenvalue: Problems", Univ. of Toronto Press, 1966.
- 21.- Luis F. Rojas Raúl A. Feijóo: "Solucion de Problemas de autovalor en grandes Estructuras", Comite Tecnico Nº 6

- A ser publicado por COPPE.
- 22.- Bathe Klaus-Jurgen: "Solution Methods for Large Generalized

 Eigenvalue Problems in Structural Engineering", Structural Engineering Laboratory, Univ. of California,

 1971.
- 23.- J. S. Przemieniecki: "Theory of Matrix Structural Analysis",
 Mc Graw Hill 1968.
- 24.- R. K. Livesley: "Métodos Matriciales para Cálculo de Estructuras", Editorial Blume, 1970